

# PRÉFACE

C'est probablement le dernier travail sur la nature et la géométrie du monde Evidionnic que j'ai proposé comme descripteur de la réalité virtuelle.

Dans cet article, je souligne combien les constantes universelles telles que Pi Greco, Gold Section, Nepero sont intimement liées et avec des nombres représentant les fréquences auxquelles vibre l'univers de l'évolution de l'univers.

Ces vibrations apparaissent non seulement en fonction des constantes physiques principales telles que la constante de Planck ou la température absolue absolue, mais sont liées aux fréquences musicales de l'échelle tempérée à 432 Hz ou liées à la fréquence de Schumann.

Ces fréquences relient tous les aspects de l'univers et expliquent comment l'univers est fraternel, holographique, où, même dans le mythe, nous trouvons les données pour mieux comprendre les aspects qui présentent probablement l'humanité, oublier, oublier un autre temps. Ainsi, ces corrélations numériques peuvent mettre en évidence des problèmes classiques tels que le problème de particule dans la boîte, les nombres dimensionnels de la réalité Evidionnic, se référant à des angles simples qui sont les seuls descripteurs réels de l'hologramme complet.

De tels angles peuvent être liés aux valeurs numériques des fréquences de toutes les notes de l'échelle tempérée à 432 Hz et l'ensemble de l'univers évideque semble réagir en harmonie avec cette fréquence qui ne résulte pas d'une nouvelle idée vide de ageane, mais de l'analyse des la complexité de l'evidionnic fractale

Cela servira à concevoir un dispositif qui produit un Zero Point Energy (ZPE) capable d'expliquer certains phénomènes encore inconnus qui vont du mouvement UFO à l'information décalant le temps, l'utilisation de fréquences binaurales, des phénomènes paranormaux définis à tort, ce qui semble normal.

Plus précisément, le fonctionnement d'un tel dispositif ne peut être remis en question parce qu'il repose sur des principes bien connus de la physique, même s'il n'est pas définitivement clarifié. Au lieu de cela, vous pouvez discuter de la meilleure façon de construire cette proposition de *device*, mais il n'est pas logique de remettre en question l'opération et le principe de la chose.

Je me limitais à faire des remarques faites par d'autres qui ne se sont pas rendu compte qu'ils avaient déjà traité la résolution du problème.

Je dis cela parce que je n'ai pas encore eu le plaisir de trouver quelqu'un qui a eu la bonté de signaler des erreurs ou des incohérences à l'égard des travaux antérieurs, mais certains ont simplement été limités à dire que ce sont des choses absolument incorrectes qui font remarquer les contributions scientifiquement, ce qui ne va pas. Donc, pour ceux qui sont sur le point de lire ce travail, je tiens à souligner comment il a été écrit pour être compris par des gens ordinaires et je n'accepterai pas la critique du format que j'ai utilisé ou le fait que j'ai combiné la physique quantique, le mythe, les mathématiques, la géométrie et la philosophie depuis Je crois que la vraie science n'a pas de compartiments préférentiels, et je crois que les divisions et la création de tels compartiments n'ont que réduit l'homme à se spécialiser et à ne pas acquérir la conscience de soi, selon les canons dictées par le second principe de la thermodynamique

Je sais bien qu'il ne suffit pas de lire, mais il faut comprendre, et je sais aussi que s'il n'y a pas de conscience, on ne peut pas comprendre, alors je conclus en disant que pour les lecteurs qui mettent en doute le contenu réel des choses que je expose, regardez les réponses manquantes en effectuant de savoir si le *Triad Flash Dynamic Flash Test*, qui les amènera à acquérir la conscience nécessaire pour se demander où est Virtuality et ne pas chercher des réponses préqualifiées sur les livres scolaires parce qu'ils se blessent souvent en prenant de grands cantons qui, en tout cas, devrait être corrigé, souvent avec une douleur.

# L'Evideon est syntonisé à 432 Hz.

*"Every vibration in this universe has colour and sound. Every particular idea, and hence each idea has a vibrational sound"*

*Shrii P.R. Sarkar*

## Introduction.

Dans mes articles précédents décrivant le monde de l'évolution, quel modèle de l'Univers holographique, fraternel et Adimensionnel, nous avons pu constater à quel point les relations solides existent entre les figures qui composent les chiffres décrivant Evideon et certains chiffres que nous trouvons dans la tradition mythologique de cette planète. Dans le mythe, il faut s'en souvenir, il y a l'image intemporelle de l'Univers lui-même et inconsciemment, l'homme qui est le créateur inconscient de l'univers lui-même, à travers la description du mythe, dit d'une manière ou d'une autre comment il a créé

Donc, dans les nombres des mythes, il y aurait des nombres sur lesquels seraient basés les mathématiques, la physique et la géométrie universelles. En d'autres termes, si cette approche de la réalité était correcte, nous pourrions demander l'interprétation correcte du mythe pour comprendre la physique moderne ce qu'elle ne pourrait pas décrire aujourd'hui.

Nous avons déjà montré comment, dans les traditions mythologiques de la Création universelle, des cultures différentes, des concepts de la physique moderne qui nous ont été imposés, en croyant que de tels concepts sont issus de passages mathématiques très difficiles issus de l'étude approfondie de la matière. Je crois essentiellement que l'étude approfondie sert uniquement à l'obtention de ces prérequis généraux qui aideront notre esprit à comprendre et à se souvenir de ce que nous avons déjà créé inconsciemment, ce qui a permis de prendre conscience de ce que nous avons toujours été: les créateurs de l'univers tout.

Nous pourrions donc essayer d'aller à la découverte des nombres "magiques" qui sont déjà dans le mythe, mais apparaissent également dans les formules de la physique moderne.

## Le problème de la particule dans la boîte.

L'un des problèmes majeurs de la physique quantique qui peut être considéré à nos fins est le soi-disant *Particle In Box (PIB)* ou le comportement d'une particule élémentaire enfermée dans une boîte à partir de laquelle elle ne peut pas sortir.

Ce problème a fourni des solutions complexes pour pouvoir être résolu, bien que la banalité et la simplicité du modèle utilisé soient déconcertantes.

C'était pour vérifier si l'on pouvait comprendre que l'énergie avait une particule dans une boîte, comme un électron ou un photon, avec un potentiel infini, c'est-à-dire avec des murs si hauts que cela empêcherait la possibilité que la particule puisse jaillir de la boîte elle-même.

Le problème était important parce qu'une boîte pourrait être un orbite moléculaire ou atomique, mais aussi l'ensemble de l'univers et un modèle disponible qui nous permettrait de prévoir que les valeurs des énergies impliquées dans le niveau quantique seraient extrêmement utiles.

Le problème mathématique était tellement compliqué qu'il n'était initialement souhaitable de décrire une boîte monodimensionnelle L dimensionnelle hypothétique contenant une particule de masse dont les valeurs énergétiques E étaient données par la résolution d'un hamiltonien dont les valeurs propres répondent à une formule générale du type:

$$E = n^2 h^2 / 8mL^2$$

où n valeurs sont des entiers positifs, y compris zéro, ce qui peut prendre le nombre quantique principal n.

A partir de l'observation consciente de cette formule, il est immédiatement évident qu'une telle formule n'a pas de grand sens car il n'est pas possible de confiner une seule masse dans une seule dimension, puisque le concept même de masse affirme qu'il doit occuper un espace-temps tridimensionnel. Le fait que le problème du problème des particules dans la boîte nous donne des résultats fiables, bien que les approximations de la réalité nous permettent de comprendre comment le problème de la masse confinée n'est pas important et cela nous ramène à une seule conclusion. La masse, même si elle apparaît dans les formules, n'est pas nécessaire car elle n'existe pas dans la réalité universelle.

Il convient également de noter que l'univers evideonic est dimensionnel.

Fondamentalement, nous pourrions faire des remplacements triviaux dans cette première formule et la rendre encore plus générique, où des masses de sorte n'apparaissent pas et tout était strictement non dimensionnel.

$$\begin{aligned}
 E &= n^2 h^2 / 8mL^2 & E &= mc^2 \\
 E^2 &= n^2 h^2 c^2 / 8L^2 \\
 E &= hc / \lambda; \\
 E^2 &= h^2 c^2 / \lambda^2 & E^2 &= n^2 E^2 \lambda^2 / 8L^2 \\
 1 &= n^2 \lambda^2 / 8L^2 \quad (\text{facteur de conversion adimensionnelle})
 \end{aligned}$$

L'expression peut être considérée comme la définition de l'unité de la fractale holographique éverse, exprimée en termes de nombres purs (angles). À 13,5, les unités d'evidéon quantifiées (voir Evidéon, par le même auteur) correspondraient à une expression du type

$$13.5 \times 8 = 108 = n^2 \lambda^2 / L^2$$

Il ne devrait pas sembler qu'un cas où le problème de particules dans la boîte apparaît le numéro 108. En fait, il a beaucoup de sens dans la tradition mythologique. 108 est considéré comme un «nombre sacré» dans de nombreuses religions, y compris l'hindouisme, le bouddhisme, le sikhisme, le jainisme, etc. Dans de nombreuses régions indiennes, elle est liée aux pratiques du yoga et du Dharma. Dans le numéro di grani del Mala, il rosario indiano e del Akṣamālā buddhista.

- *Le dieux hindous ont 108 noms. En récitant ces noms, en comptant souvent les 108 graines de Mala, est considéré comme sacré et est souvent répété pendant les cérémonies religieuses.*
- *Dans Śrīmad Bhāgavatam, Krishna est décrite comme dansant avec 108 Gopis (bergers) dans la ville de Vrindavana, puis épouse 16 108 femmes dans la ville de Dvaraka.*
- *À Śivaïsme, Shiva Nataraja est représentée alors qu'elle interprète sa danse cosmique en 108 karana (pose).*
- *C'est le nombre de péchés dans le bouddhisme tibétain.*
- *C'est le nombre d'étoiles considérées comme sacrées dans l'astrologie chinoise.*
- *Au Japon, à la fin de l'année, une cloche a été jouée 108 fois pour saluer la nouvelle année. Chaque saisie représente l'une des 108 tentations matérielles auxquelles une personne doit résister pour atteindre le Nirvana.*
- *C'est le nombre d'al-Kawthar, le plus court parmi la sourate du Coran.*
- *Il y a 108 lignes d'énergie, ou nadi, qui convergent vers la forme qui forment le chakra du cœur.*
- *108 est un numéro «Harshad», ce qui signifie qu'il s'agit d'un nombre divisible pour ses chiffres. Harshad signifie "grande joie" en sanskrit.*
- *Le diamètre du Soleil est 108 fois le diamètre de la Terre.*
- *La distance entre le Soleil et la Terre est de 108 fois le diamètre du Soleil.*
- *La distance moyenne de la Lune à la Terre est de 108 fois le diamètre de la Lune.*

- *En astrologie, on dit que l'argent métallique représente la lune. Le poids atomique de l'argent est de 108.*
- *Le nombre 108 symbolise l'union de Shiva et Shakti: la création du monde.*
- *Il y a 108 grains d'une mala (le chapelet utilisé pour compter la répétition des mantra)*

A première vue, tout cela pourrait être interprété comme un sens non mathématique, ou un cas. Il est tout à fait étrange, cependant, qu'en plaçant  $n$  avec une valeur de 7 (rappelez-vous que selon l'idée de l'univers fractal il a 7 niveaux primaires nettement définissables) le rapport  $\lambda/L$  vaille 1.484615 unité et que se ammetto che il valore di  $L$  sia eguale a 243 unità pari alla lunghezza dell'asse evidoneo dell'energia,  $\lambda$  est de 1.484615 unités et que si je supposais que la valeur de  $L$  est égale à 243 unités égales à la longueur de l'axe de l'énergie d'evidone,  $\lambda$  devient égal à 360,76 (serait exactement 360 si le rapport  $\lambda/L$  était égal à 1. (48)).

Il faut se rappeler que toutes les valeurs évidèques sont la représentation de la seule chose qui existe dans cette représentation: c'est-à-dire des angles.

Une boîte unidimensionnelle du même côté que l'axe d'énergie décrit également un angle rond. Il est également intéressant de noter que si l'univers est représenté comme un sphéroïde, il aurait un rayon moyen de  $1.618033 \times 2 + 1.215 / 3 = 1.484$  unités évidèques.

L'impression principale de ce simple compte était que les nombres de problèmes de particules dans la boîte étaient liés à des angles précis.

Le tableau suivant montre, en fait, ce type de corrélation de fer.

En maintenant la valeur 360 constante en tant que valeur angulaire pour un angle de recouvrement, en changeant la valeur du nombre quantique principal  $n$  de 1 à 12, on remarque que la valeur  $L$  représente la longueur de la boîte unidimensionnelle hypothétique par rapport à ce niveau  $n$  quantique. (énergie corrélative)

Mais cette valeur  $L$  serait en fait liée à 3 contributions le long des axes  $x$ ,  $y$  et  $z$  de l'espace. Le modèle planaire aurait une redevance dans la réalité virtuelle où les 3 composantes sur les 3 axes espace-temps seraient les mêmes. Dans ce contexte, dans la dernière colonne du tableau, il est démontré que le nombre quantique  $n$  est corrélé, de manière angulaire et précise, à des multiples de 60 degrés. Le rapport final serait donc, pour une valeur de  $E = 13,5$  maintenue constante:

$$I = 60n$$

Le plan spatiotemporel de l'univers *evidone* serait décrit comme une boîte cubique dont les côtés seraient des valeurs angulaires dont l'amplitude serait quantitativement proportionnelle au nombre quantique principal  $n$ .

**Tabella valori particella nella scatola evidoneica relativi ad angoli nello spaziotempo.**

	$L^2$	(	$I_{st} =$
	12	1	60
	48	2	120
	10	1	180
	19	1	240
	30	4	300
	43	3	360
	58	2	420
	76	1	480
	97	1	540
	12	1	600
	14	0	660
	17	0	720

°L'analyse des chiffres et des chiffres qui composent ces chiffres nous donnent l'opportunité d'implémenter différentes spéculations:

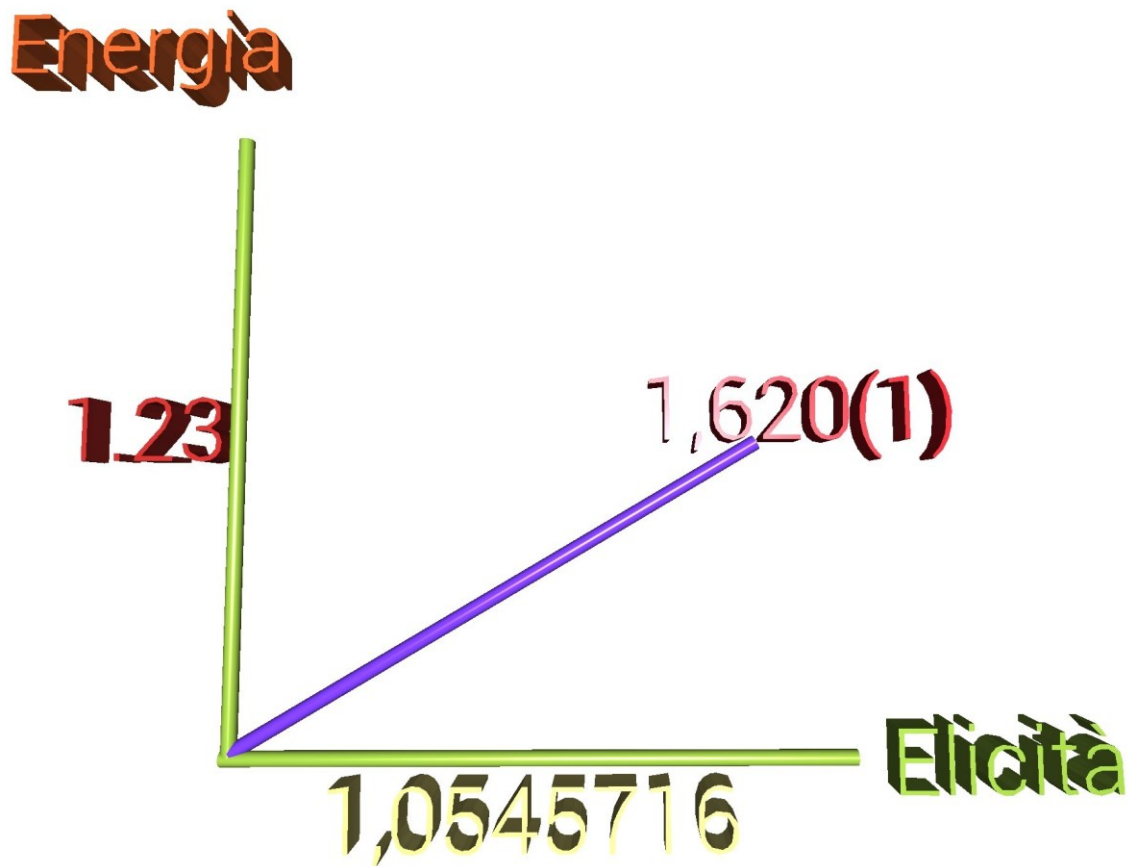
- Tous les nombres sont divisibles par 3 (nombres réels)
- Tous les angles sont des multiples de soixante
- Les valeurs liées à l'énergie sont quantifiées mais exprimables sous forme d'angles.
- Les valeurs de la troisième colonne à partir de la gauche sont importantes dans le monde évideonic et soulignent à nouveau le nombre 108, mais aussi 4.32, que nous verrons en un instant devenir le nombre basique de la complexité de l'univers.
- Le numéro 3 est exactement la valeur de  $\tan(60) \cdot 2$ .
- La valeur de 1.6875 sera observée dans un moment qui est lié au rapport entre les axes d'espacement et l'énergie Evideon étant  $432/256 = 1.6875$ ,  $[2^{1.6875} = 0,75488]$ , où 432 sont les Cinquième Hz et 256 sont les théoriciens Hz du Do Cinquième dans l'échelle musicale de Pythagore, basé sur le fatale 432. Tout cela nous fait penser que l'échelle musicale est une expression de la réalité virtuelle et , s'il existe une controverse derrière la fréquence à utiliser en tant que norme internationale de musique, cet aspect ne doit pas être négligé car, derrière ce problème, il y a un autre que nous aborderons dans un instant.
- Notez également que le numéro 1. (33) montre un inverse de 0.75 précis. Ce nombre en tant qu'exposant de la base 2 fournit la valeur de  $2^{0.75} = 2^{(243/324)} = 1.681792830$  qui est le rapport actuellement utilisé entre La et la référence Do, en tenant compte du fait que douze demi-tons existent entre une octave musicale et la Donc, si le rapport réel entre 432 et 256 détermine que l'échelle musicale se caractérise par le nombre 0,75488, l'univers Evideon se caractériserait à la fracture par un nombre similaire égal à 0,75,000.
- Ces chiffres représentent la valeur d'une balance musicale bien tempérée, et vous constaterez que ce tempérament n'est pas totalement correct en ce qui concerne les valeurs que l'évidonic fractal nous recommandons d'utiliser pour obtenir une musique «en scène» avec les fréquences de nos lobes cérébraux , ils sont aussi clairement liés aux dimensions de l'univers évolutif lui-même

### **Le problème de l'indétermination du spin.**

Dans le problème de la particule dans la boîte, la constante Planck apparaît, qui dans le reste comme valeur numérique apparaît dans pratiquement toutes les formules physiques quantiques majeures. Cette valeur a des significations différentes, et l'une d'entre elles est celle qui représente un moyen de mesurer le spin des particules élémentaires telles que les électrons et les photons. Il s'agit essentiellement d'une unité de mesure de l'hélium photonique. Le Spin est un vecteur qui représenterait sensiblement la rotation dans l'espace de la particule subatomique autour de son axe. Un tel vecteur aurait une inclinaison sur l'axe des énergies placées verticalement par rapport à l'axe de l'espace placé horizontalement. La composante vectorielle de ce vecteur selon l'axe de l'espace serait l'hélice de la particule qui nous donne également une idée de la direction du mouvement de cette dernière.

<https://www.physicsforums.com/threads/photon-helicity.247570/>.

The spin vector is always at an angle to the propagation vector, such that its Component in the direction of propagation is  $\pm\hbar$  and its magnitude magnitude is  $\hbar[\sqrt{s(s+1)}] = \hbar\sqrt{2}$   
<https://www.physicsforums.com/threads/photon-helicity.247570/>



L'EPR PREDIT de que l'Paradoxe On ne peut pas d'informations sur Avoir la rotation Valeurs du axes sur deux simultanément de l'un perpendiculaires de deux Autre enchevêtrées en raison particules du Prince de l'indéfinition de Heisenberg L'inégalité de Bell ([http://xoomer.virgilio.it/paacom/Teorema\\_Bell.htm](http://xoomer.virgilio.it/paacom/Teorema_Bell.htm)) montre

De toute évidence, le fait qu'il ya une incertitude de ce type fournit, comme la seule solution, que l'univers est descriptible par la physique quantique aussi longtemps qu'il décrit un univers strictement non-local, qui est, où l'espace et le temps sont officiellement holographique.

L'univers évideon prend en compte ce fait. Nous pouvons recalculer avec les nombres de Evideon, la constante Planck de deux manières distinctes.

La première façon de calculer la valeur constante de Planck est de placer sur l'axe de l'énergie sa valeur de 1.23 unités évidèques (c'est-à-dire la moitié exacte de la longueur minimale possible de l'axe de l'énergie), compte tenu du fait que sur l'axe de l'espace, il y aura une valeur qui est en fait la projection d'un vecteur placé dans l'espace. Eh bien, si la valeur du vecteur placé à 45 degrés, entre les deux axes de l'énergie et de l'espace, il était exactement la section d'or, d'un montant de 1,62 unités evideoniche, le théorème de Pythagore, l'ordonnée comme une projection de cette valeur, supposons que la valeur  $h/2\pi$  égale à 1,05457, à moins que comme d'habitude par un facteur de  $10^{-34}$  lié à la valeur des unités de mesures imposées par notre perception, mais en réalité inexistante (Voir Evide-on, le même auteur).

Le deuxième mode pour calculer le nombre constant de Planck est fourni par l'équation de Heisenberg où:

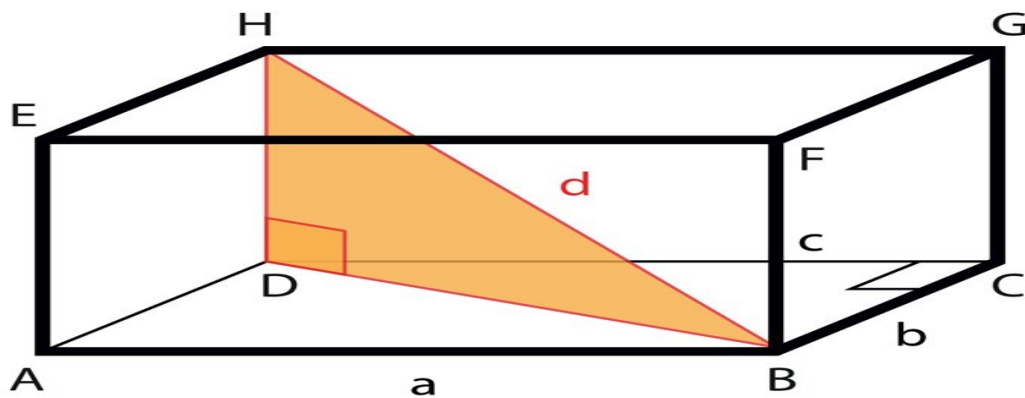
$$\Delta t \Delta E = h$$

où, en introduisant les valeurs du modèle évideonic, c'est-à-dire (29)  $1/2$  pour le temps et 1 230 pour l'énergie, on trouve que la valeur de  $h$  devient la même à 6.6206 multipliée par la constante dimensionnelle habituelle. Rappelons ici que la racine carrée de 29 dérive de la somme des vecteurs 3, 4 et 2, où le vecteur somme est donné par la racine de 29 et mima la valeur du temps de Planck. Il convient également de noter comment la valeur de l'énergie adoptée (1,23) correspond à un axe énergétique de 246 unités évidèques et non à 243 comme dans le modèle basique d'Evideon

L'observation résultante montre que la relation entre l'amplitude de l'espace-temps et la relation d'énergie dans ce cas serait donnée par le ratio  $324/246 = (3) 1/4$  avec une précision de 99,7%. La valeur racine carrée de 3 est liée à la valeur de l'angle de l'angle de 60 degrés, où  $[(\tan(60))]^2 = 3$  et cette valeur semble être fondamentale dans le calcul des différents niveaux d'énergie dans le problème de particules dans la boîte.

Si d'autre part, il est clair à ce stade, que l'égalité parfaite des nombres calculés à partir de la physique, est conforme aux chiffres dictés par evideonic modèle, il ne peut pas échapper aux deux calculs sont totalement indépendants les uns des autres.

Dans l'univers évideonic, par conséquent, le spin serait un vecteur dans le temps spatial et existerait dans ce domaine comme une projection vectorielle réellement avec un composant également sur l'axe des énergies. Le vecteur aurait une composante sur l'axe de l'espace et ce composant devrait se diviser en 3 directions spatiales disposées dans une convention à 90 degrés. C'est comme si vous aviez un parallélépipède et vous devez calculer les valeurs des trois axes en connaissant la diagonale.



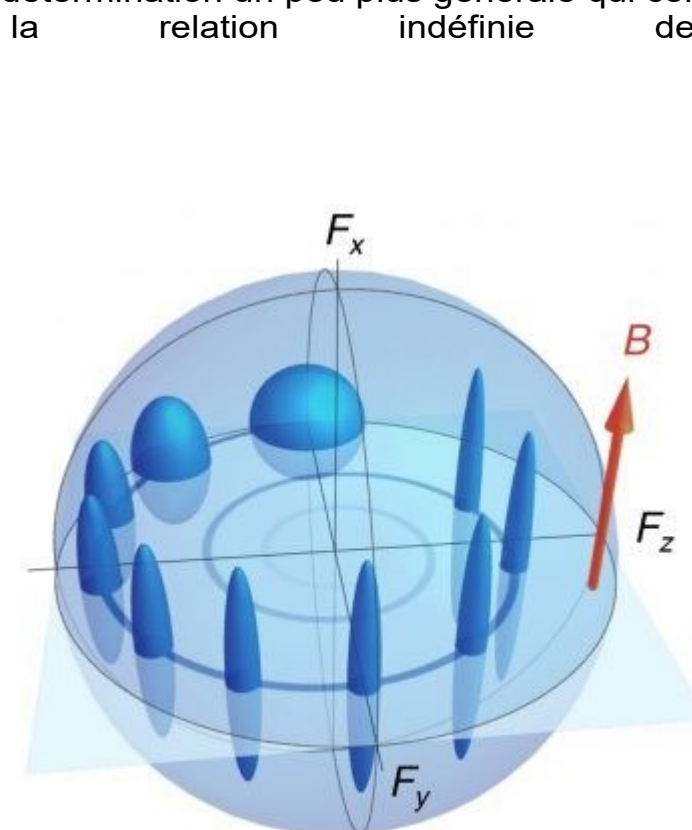
Il est clair que deux directions connues, la valeur de la projection sur le troisième axe, restent indéterminées, mais cela ne signifie pas que le principe d'indétermination existe. Tout cela se rapporte au fait qu'il est nécessaire de considérer le vecteur  $h$ , avec l'espace-temps et les composants énergétiques, alors qu'aujourd'hui il ne doit être vu que dans le domaine spatial.

Conformément à cette vision des choses, les dernières recherches publiées sur la nature apparaissent. L'auteur principal exprime donc:

"Le principe d'indétermination de Heisenberg corréle deux quantités pour décrire complètement un système physique.

Ceci s'applique à la position et à la vitesse d'un atome, mais aussi à l'amplitude et à la phase d'un signal.

En connaissant exactement l'un de ces deux, l'autre devient indéterminé, il est donc impossible de décrire complètement notre système. Cependant, d'autres systèmes physiques, tels que le spin d'un atome, ne sont pas décrits par deux, mais par trois quantités, telles que les trois directions spatiales. Ceux-ci sont décrits par une relation d'indétermination un peu plus générale qui correspond aux trois quantités de spin:





Même dans ce cas, cependant, il est impossible de savoir exactement tout dans le système, c'est-à-dire les orientations du spin, mais ils peuvent connaître presque exactement 2.

Quel est le son asse pour connaître l'amplitude et la phase d'un signal révélée par les atomes avec une extrême précision, ce qui nous intéresse vraiment.

Dans le mot pauvre si le spin a trois composantes directionnelles, mais seulement deux peuvent être vérifiées si elle rétrécit la sphère qui implique l'existence de trois directions et essaie de la transformer en un plan existentiel où seules deux directions existeront, alors qu'on sait que la troisième sera zéro (ou presque zéro)

Voici la représentation schématique de l'évolution (la spirale bleue) d'un spin et son incertitude en orbitant dans un champ magnétique. L'incertitude, initialement égale dans toutes les directions, est écrasée et confinée au seul composant à l'extérieur du plan, rendant les deux composants extrêmement sûrs

<http://www.media.inaf.it/2017/03/22/icfo-indeterminazione-heisenberg/>.

Le concept de ce travail reprend essentiellement l'idée que la réalité virtuelle basée sur trois composantes peut être totalement déterminable en prenant soin de la sensibilisation.

Rappelons-nous à ce moment-là que déjà au niveau des nouvelles découvertes en physique que nous avons

Je souligne que les scientifiques modernes réalisent des expériences dans lesquelles nous dépassons l'indétermination de Heisen-Bengal. (voir Evidéon 3 du même auteur et littérature citée ci-

dessus). <http://www.nature.com/nature/journal/v543/n7646/full/nature21434.html>

### **Certaines relations numériques intéressantes.**

Dans l'univers évolutif, les nombres et les nombres qui composent ces nombres sont presque magiquement liés à eux par des relations imprévisibles. Certains d'entre eux sont résumés ci-dessous:

$$(108)^{1/13,5} = (2)^{1/2} \text{ approximation de } 99.95\% \quad 108/1.62 = 66,6(6)$$

$$(108)^{1/\phi} = 18 \text{ con } \phi = 1.62 \text{ approximation au } 99.98\% \quad 18 = \phi^6 \text{ con } \phi = 1.62$$

$$\text{approximation au } 99,60\% \quad 2^2 \times 1.62 \times 1.08 = 7 \text{ par une approximation de } 99.98\%$$

$$432 \times 90/360 = 108$$

Il est également intéressant de noter que dans l'avant-dernière égalité, les nombres importants qui déterminent la construction de la fractale universelle, c'est-à-dire les 7, les 2 et la Section de l'or, sont corrélés entre eux. Au lieu de cela, dans l'égalité définitive, on a l'idée de l'univers

Evidentonic ne peut être décrit que par des nombres représentant des angles qui peuvent être relayés aux valeurs de fréquence, comme nous le verrons brièvement

### **Le monde évidéon n'est fait que dans des angles .**

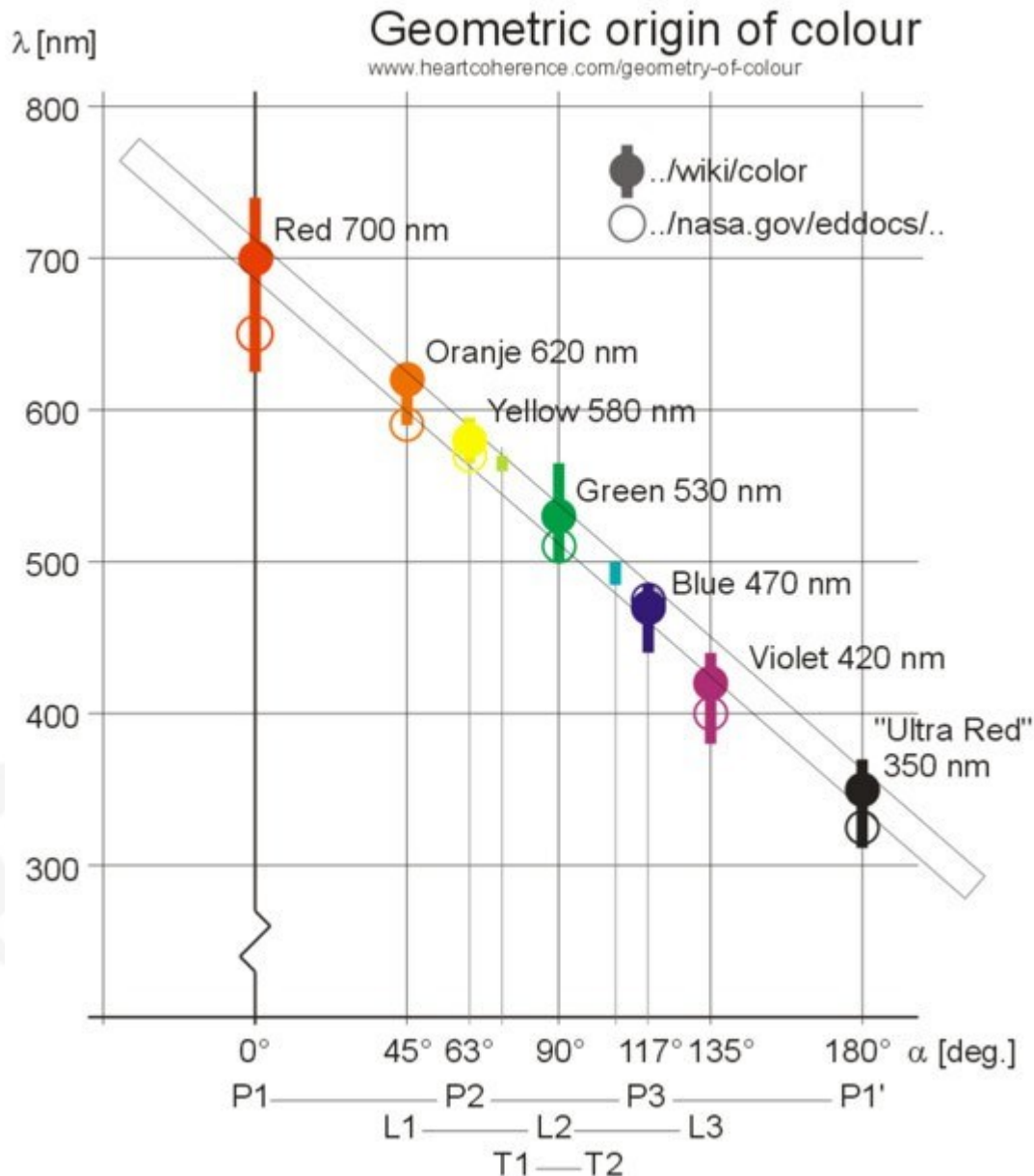
Le monde évidéon est lié à la description des vecteurs géométriques exprimés par des nombres, dont les figures représentent, à leur tour, des vecteurs dans une séquence frattique. Ces nombres peuvent être interprétés de manière double, à la fois comme des fréquences dans le plan espace-temps et comme angles. Le concept de fréquence est lié à l'idée de vibration et tout ce qui existe est décrit par une formule qui exprime une oscillation. De cette oscillation dépend de la forme de notre cerveau, des choses qui l'entourent, c'est ainsi que la réalité virtuelle, non locale, est interprétée par le lobe droit et gauche du cerveau.

Au lieu de cela, le concept d'angle semble plus sophistiqué dans le monde évidéon.

Il faut garder que, dans le passé, quelqu'un s'est rendu compte qu'il existait une relation entre les angles et les fréquences qui pourraient être corrélées entre elles par un droit générique.

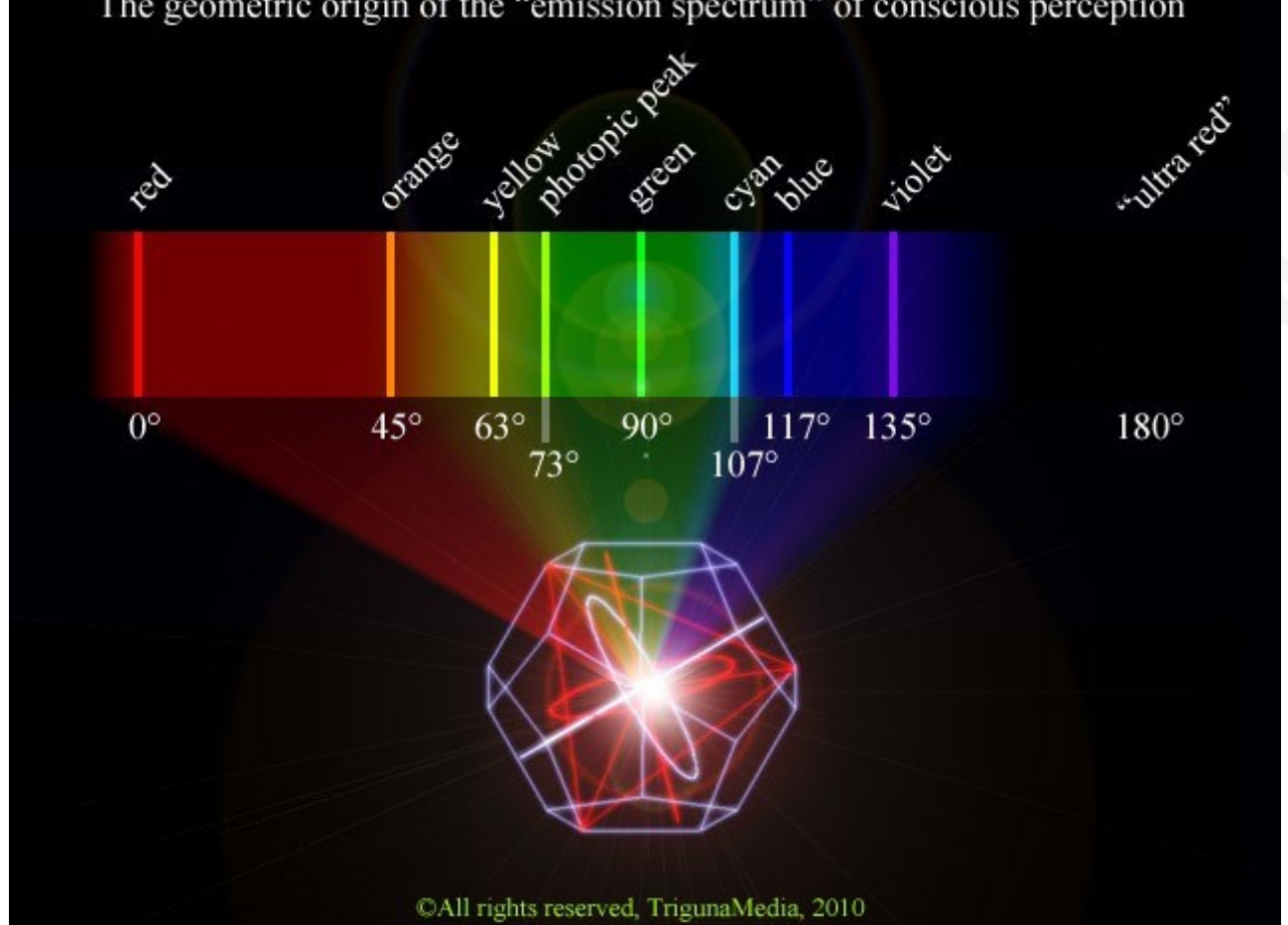
<http://www.trigunamedia.com/science/geocolor/>.

Par exemple, la NASA a étudié le problème et a découvert une relation linéaire entre les couleurs et les fréquences.

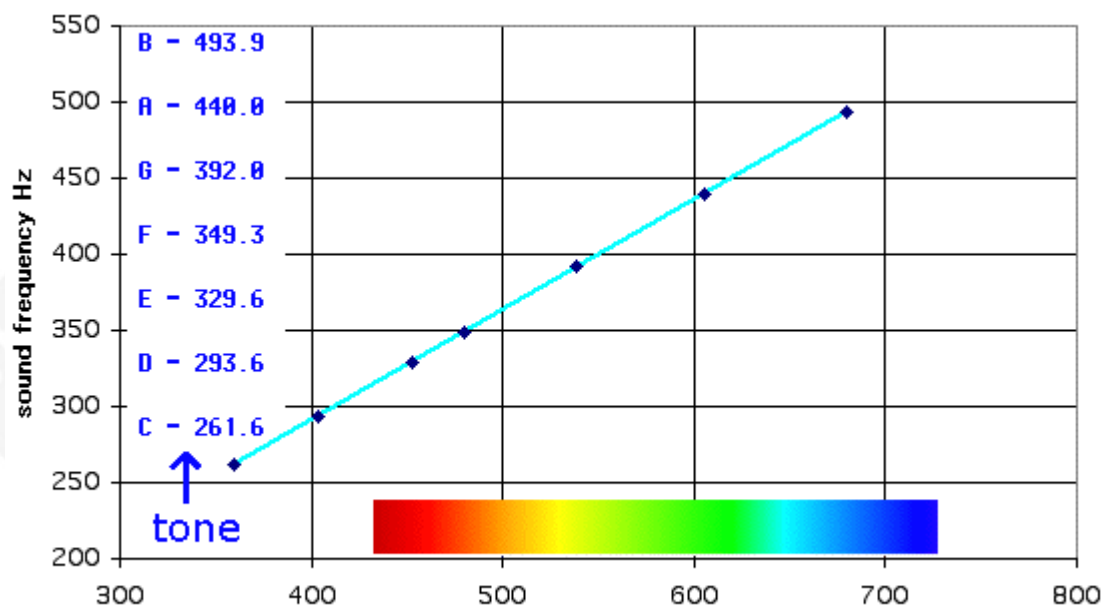


Ce rapport, d'une part, confirme les hypothèses que nous avons faites dans nos travaux antérieurs, il ne fournit pas de données sur la nature de la raison pour laquelle une telle relation existe

On suppose qu'il existe une relation entre la perception de la couleur et la conscience qui permet de décrire les couleurs, comme les perceptions dans l'espace, en tant qu'opérateurs géométriques.



En plus des couleurs visibles, les fréquences acoustiques sonores ont également été corrélées entre elles et attachées aux valeurs angulaires par une équation linéaire



Il devient de plus en plus évident que les nombres n'ont pas de sens en eux-mêmes, sous forme de vecteurs, représentent en quelque sorte des fréquences et des angles.

En ce qui concerne les fréquences sonores, on s'attendait à ce que ce furent les notes

la musique peut être liée l'une à l'autre de différentes façons, par exemple en utilisant la section or, comme indiqué dans le graphique suivant:

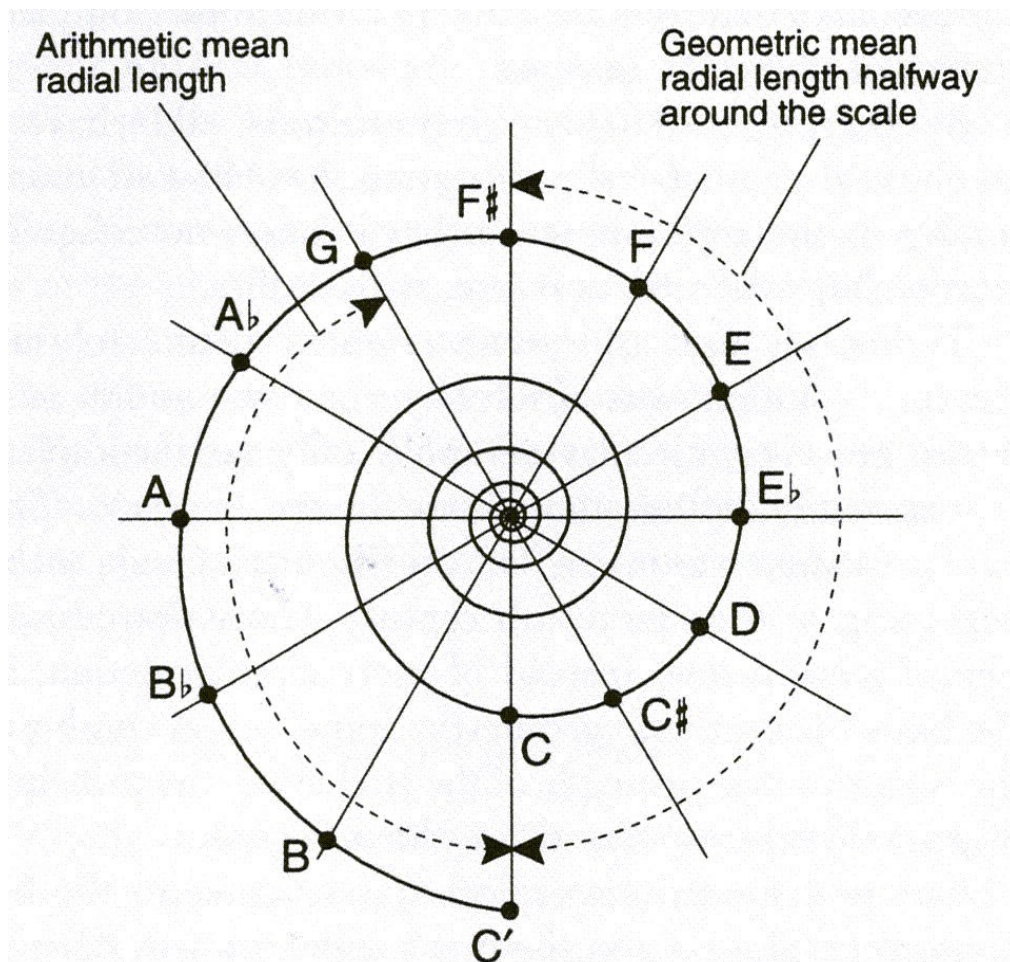


FIGURE 9. *The self-similar conical spiral projected onto a plane, showing the intervals of the equal-tempered scale.*

[http://www.schillerinstitute.org/fid\\_91-96/fid\\_911\\_jbt\\_tune.html?redirect=false](http://www.schillerinstitute.org/fid_91-96/fid_911_jbt_tune.html?redirect=false)

Mais ce qui manque à ce modèle, c'est une véritable équation mathématique. Pour cette raison, nous avons corrélé les nombres liés aux porteurs d'axe d'Evideon aux angles et nous avons trouvé les corrélations fortes suivantes: Les nombres de l'univers évident ont été liés aux angles et le résultat est étonnant

DataAnalysis - Scientific Data Analysis for the iPad  
File Name: colorgraph | Current Function: Linear

\*\*\*\*\* Final Parameter Values

\*\*\*\*\* m b

1.2076 309.6000

SD 6.999E-03 2.453

Pt. X-obs. Y-obs. Y-calc. Per.dev.

1	90.0000	417.0000	418.2857	0.307
2	180.0000	528.0000	526.9714	-0.195
3	270.0000	639.0000	635.6571	-0.526
4	360.0000	741.0000	744.3429	0.449
5	450.0000	852.0000	853.0286	0.121
6	540.0000	963.0000	961.7143	-0.134

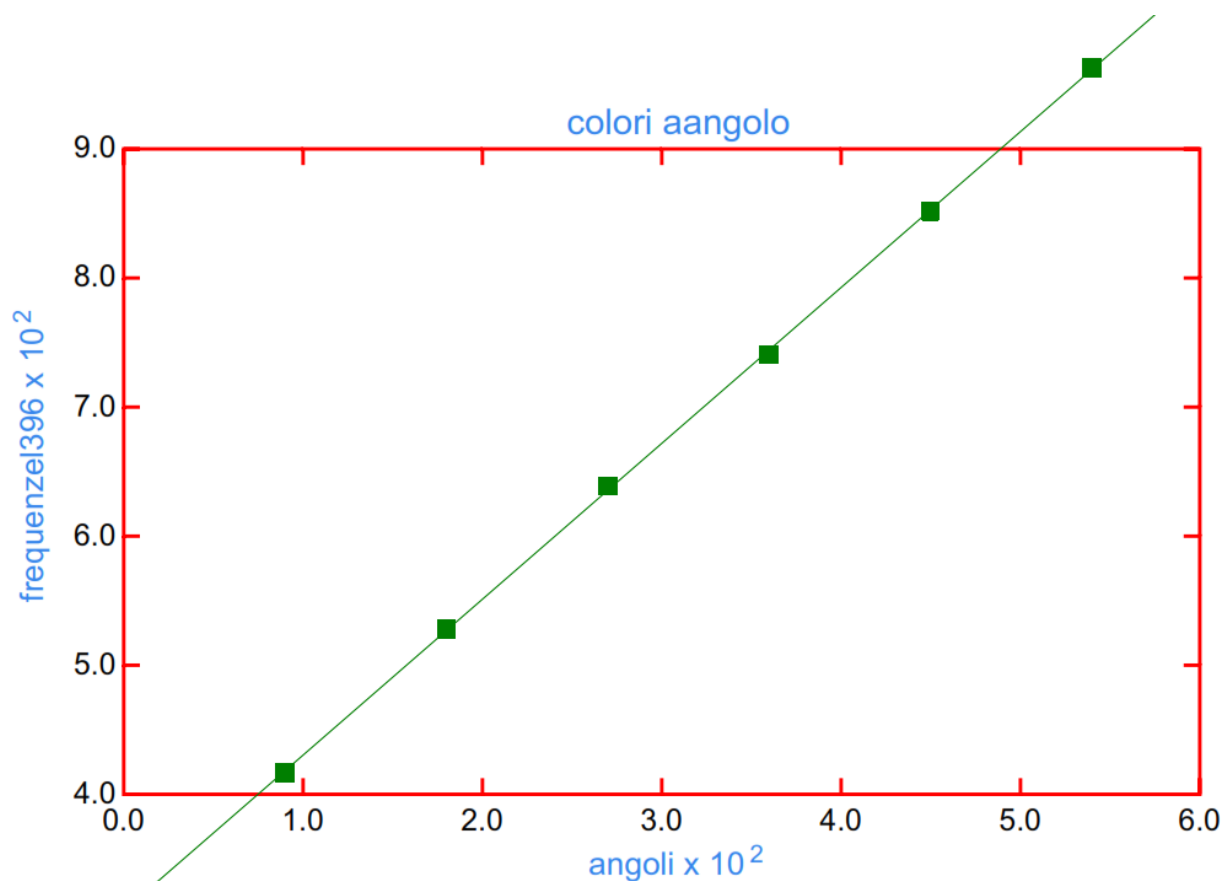
sum of squares =

27.771 variance =

6.943

Coefficient of determination ( $R^2$ ) = 1.000





La corrélation entre les angles et les nombres d'évidéon est parfaite si l'on ne considère pas le premier nombre lié à l'axe de l'énergie et correspondant à la couleur magenta (valeur 396). Compte tenu de ce nombre dans la séquence des nombres, un léger abaissement de l'indice de corrélation diffère de la valeur unitaire de R<sup>2</sup>. Cet écart, comme le montrent les données suivantes:

DataAnalysis - Scientific Data Analysis for the iPad File Name: colorgraph |  
 Current Function: Linear  
 \*\*\*\*\* Final Parameter Values \*\*\*\*\* m b  
 1.1048 349.7146  
 SD 0.060 19.337  
 Pt. X-obs. Y-obs. Y-calc. Per.dev.  
 1 0.0000 396.0000 349.7146 -13.235  
 2 90.0000 417.0000 449.1431 7.157  
 3 180.0000 528.0000 548.5715 3.750  
 4 270.0000 639.0000 648.0000 1.389  
 5 360.0000 741.0000 747.4285 0.860  
 6 450.0000 852.0000 846.8569 -0.607  
 7 540.0000 963.0000 946.2854 -1.766  
 sum of squares = 4026.857 variance = 805.371  
 Coefficient of determination (R<sup>2</sup>) = 0.986

il semble recalculer une distorsion du modèle évidéon principalement lié à l'axe des énergies, comme précédemment mis en évidence lors du calcul de la valeur numérique de la constante de Planck. Il convient également de noter comment l'équation de la meilleure ligne de montage est égale:

$$Y = 1.2076X + 309.6$$

est d'écrire une ligne du type:

$$0.828Y = x + 256$$

car

$$256 \times 1.2076 = 309.15$$

où 256 représente la fréquence en Hz de la Cinquième de l'échelle musicale de Pythagore, correspondant à une Cinquième, égale à 432 Hz. Alors que la tangente de 309,15 est égale à

-1.22830 qui correspond à une valeur de l'interception qui imite la valeur de l'axe d'énergie 1.23 (avec la valeur de -1.22830, la valeur de la section dorée serait calculée comme 1.61890 au lieu de 1.62).

Dans la ligne reliant les nombres d'évideon aux angles formels de 90 degrés suggérés dans notre modèle, la relation forte entre la position dans l'espace évident entre les angles et les vecteurs est claire. Nous pouvons conclure qu'il existe une relation entre les fréquences de couleur et les positions spatiales dans l'univers évideon et en gardant que cet univers est la représentation d'un bande de Moebius, pour une portée totale de 720 degrés, pour revenir au point de départ, nous pouvons comprendre comment La NASA a effectivement mis en évidence cette corrélation même si elle n'avait pas les données pour la géométrie évidéale (chaque demi-ton est espacé de 60 degrés par rapport à la suivante



#79569966

**Donc, la musique ne serait rien d'autre que l'aspect encore apparent d'un hologramme fractale où les fréquences musicales seraient le miroir de la structure évidéon.**

#### **Ordre de complexité de l'univers fractale.**

Il faut se demander pourquoi la réalité est totalement connectée dans tous ses aspects pour rendre possible des relations musicales géométriques avec des niveaux d'énergie subatomiques. Si l'univers est une fractale, il s'agira de briques identiques qui suivront les mêmes règles. La fractale résultante sera caractérisée par

un ordre de complexité appelé D. Cet ordre de complexité sera la clé de lecture de base de tous les phénomènes qui se produisent dans l'univers évolutif.

Déterminer de quoi l'ordre de complexité de l'univers est vivant n'est pas facile. La NASA à travers les images de Hubble aurait établi que l'ordre de complexité de l'Univers avait une valeur d'environ 1,2.

[http://www.scienzaeconoscenza.it/blog/scienza\\_e\\_fisica\\_quantistica/universo-frattale](http://www.scienzaeconoscenza.it/blog/scienza_e_fisica_quantistica/universo-frattale).

Il suffit de penser que si l'on considère un rayon sphérique de rayon R centré dans une galaxie choisie au hasard, la masse qui y est contenue pour une répartition homogène de la matière, c'est-à-dire caractérisée par une densité constante, se développe avec le cube de la dimension linéaire:

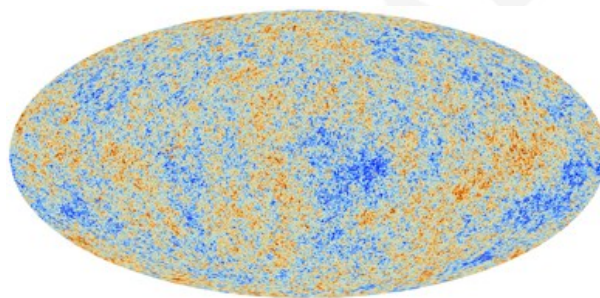
$$M \propto R^3$$

Au lieu de cela, pour les fractales, étant donné qu'il existe de nombreux vides dans le volume qui les contient, la masse devient proportionnelle à une certaine force D du rayon R, appelée «dimension fractale»

$$M \propto R^D$$

pour lequel, en général, c'est  $D < 3$ .

Étonnamment, les résultats des observations sur la distribution des galaxies (avec  $R < 20$  Mpc) et sur les groupes de galaxies (avec  $R < 100$  Mpc), indiquent la même taille fractale  $D \approx 1.2$ .



Modèle Fractale de l'Univers et de l'Énergie Noire, L. allemand, Cagnetta F.M., Univ. Studies of Bari - A.A. 2011-2012;  
La structure fractale de l'univers, P.H. Coleman, L. Pietron

De ce point de vue, il convient de souligner que le nombre D égal à environ 1,2 pourrait également être adopté par l'univers évideon puisque de nombreux nombres évidésiques, si élevés à la valeur moyenne de D, supposent des nombres entiers significatifs

$$\pi^{1.2110} = 4$$

$S^{1.2116} = 40$  con S (entropia) = 21 (vedi Evide On E la virtualità appare, dello stesso autore)

$$\Phi^{1.218} = 1.8$$

$$108^{1.218} = 300$$

$$18^{1.21} = 33$$

Mais en fait, tout cela ne pouvait rien dire, sauf que ces chiffres précis ne se produisent que par hasard.

En outre, la physique moderne, seulement d'un point de vue théorique, exige que la valeur D soit égale à 2.

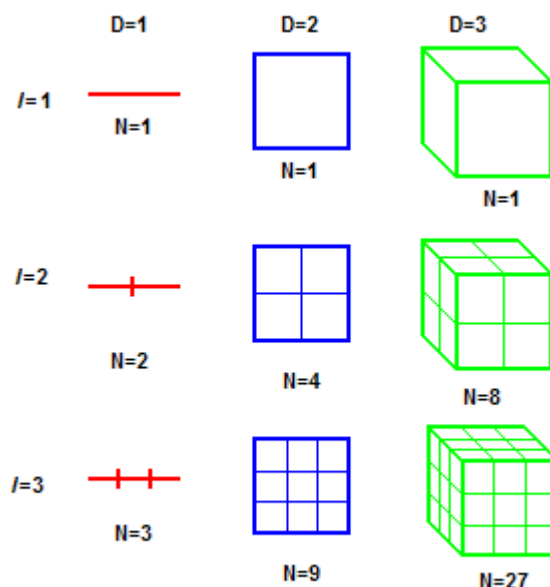
(<https://luth.obspm.fr/~luthier/nottale/arA&A327.pdf>).

(<https://link.springer.com/article/10.1023/B:GERG.0000006692.38179.84>) .

Va però sottolineato come, se da una parte la teoria rimane tale fino a che non si è riscontrata la sua validità sul campo, d'altro lato la NASA mostra un risultato totalmente differente. Inoltre anche il risultato della NASA è sostanzialmente legato alla fotografia dell'Universo come è ora ma non come il frattale si è sviluppato nel tempo. In questo contesto il grado di complessità del frattale sarebbe legato solamente alla complessità spaziotemporale, senza dare indicazioni sull'aspetto energetico del nostro universo.

Il faut toutefois souligner que, d'une part, la théorie reste si jusqu'à ce que sa validité sur le terrain reste vraie, d'autre part, la NASA montre un résultat totalement différent. En outre, le résultat de la NASA est fondamentalement lié à la photographie de l'Univers tel qu'il est maintenant, mais pas à l'évolution de la fractale dans le temps. Dans ce contexte, le degré de complexité de la fractale ne serait lié qu'à la complexité espace-temps sans donner aucune indication de l'aspect énergétique de notre univers.

Dans un sens plus général, un ordre fractal D est calculé en divisant le logarithme du nombre de cellules constituant une unité fractique, pour le logarithme de la longueur d'une cellule. Dans un sens plus général, un ordre fractal D est calculé en divisant le logarithme du nombre de cellules constituant une unité fractale, pour le logarithme de la longueur d'une cellule (<http://zibalsc.blogspot.it/2015/02/178-castel-del-monte-e-frattali.html>)





Dans le cas de l'univers évideonic, nous avons huit, dont 1.62 unités évidéoniques pour lesquelles

$$D = \lg 8 / \lg 1.618033 = 4.32$$

En utilisant les logarithmes doubles ici, nous commençons à comprendre pourquoi le nombre 432 entre dans les mathématiques évidéonique (voir les publications précédentes de la série Evidéon, par le même auteur). Mais nous comprenons également un aspect fondamental de la musique moderne.

En utilisant les logarithmes doubles ici, nous commençons à comprendre pourquoi le nombre 432 entre dans les mathématiques évidéques (voir les publications précédentes de la série Evidéon, par le même auteur). Mais nous comprenons également un aspect fondamental de la musique moderne.

Il existe en fait une forte controverse sur le réglage du cinquième piano au piano, qui sonne à 440Hz, mais qui était à l'origine réglé à 432 Hz.

La musique jouée avec un accord à 432 Hz semble être une musique plus agréable à écouter, et même si 440 à 432 Hz, il n'y a que 8 Hz de différence, pratiquement inouïes de l'oreille humaine, le sentiment pour ceux qui jouent et écoutent il est apparemment très différent.

Il faut garder que notre cerveau semble s'accorder fréquemment avec les fréquences qu'il subit,

(<http://www.marcostefanelli.com/subliminale/mantrasuono.htm>)

construisant une sorte de résonance cérébrale. Si l'univers est construit de manière fractale sur une valeur D de 432, alors notre cerveau aura comme fréquence de base un nombre corrélatif fractale on 4.32 e risuonerà in armonia con una musica "armonicamente in fase" con l'universo stesso.

[http://www.schillerinstitute.org/fid\\_91-96/fid\\_911\\_jbt\\_tune.html?redirect=false](http://www.schillerinstitute.org/fid_91-96/fid_911_jbt_tune.html?redirect=false). (based on a speech given by the author, Director of the European Fusion Energy Foundation, at an April 1988 Schiller Institute conference on scientific tuning held in Milan, Italy. It appears also in the Institute's "Manual on the Rudiments of Tuning and Registration").

Il découvre maintenant pourquoi les notes musicales dépendent essentiellement des mathématiques de Pi Grec et de la Section Aurea, qui sont les nombres fondamentaux sur lesquels repose la géométrie évolutive.

Pas étonnant donc pourquoi:

$$\Phi^{4.32} = 2^3$$

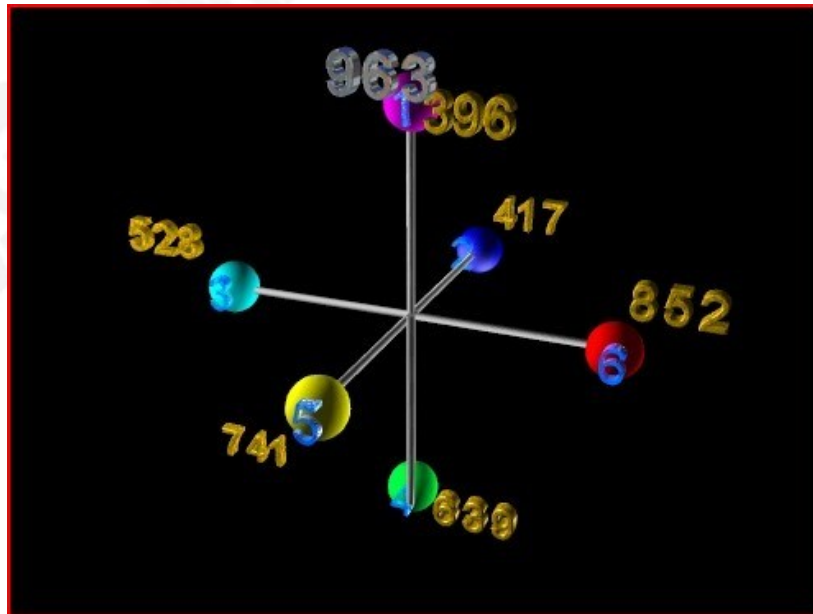
Mais avant cet article, personne n'a formé mathématiquement de telles preuves, nous avons maintenant une clé de lecture universelle composée de la géométrie de l'Evidéon, qui décrit tout ce qui était connu mais qui ne pouvait être démontré en raison de l'absence d'un modèle fractal mondial, de la géométrie et de la symétrie connue

### **Relations entre les fréquences musicales et le monde d'Evidéon.**

L'idée d'étudier le problème de l'accord des escaliers musicaux et de les mettre en relation avec notre univers a été la prochaine étape de notre enquête. Il va sans dire que si l'univers est une fractale et s'il est lié au numéro 4.32, il faut regarder les problèmes avec les escaliers de musique et essayer de comprendre ce qui se cache derrière la diatribe que vous voyez, à l'heure actuelle et à la force et apparemment

sans motif valable, forçant les gens qui ont joué à 432 Hz, pour accorder jusqu'à 440 Hz. de plus, l'analyse des fréquences des notes, étant que l'univers est fractale, pourrait nous donner des informations plus intéressantes sur l'ensemble de notre habitat virtuel .

Comme je suis arrivé à élucider dans un précédent article de la mine (L'espace des sons), note l'origine 6 et non 7 (Si a été introduit plus tard) commencer à une échelle musicale, appelée « *solfeggio* » dans lequel le deuil de façon arbitraire, puisqu'il n'y a aucune preuve qui corrobore cette hypothèse, elle aurait été basée sur Do à 396 Hz. Les tons suivants auraient été, le cas échéant, les chiffres qui caractérisent l'Axe de l'Evolution.



Puis Pythagore a construit une échelle musicale pythagorique basée sur les pouvoirs de 2 qui ont vu le Do 5 à 256, (28) Hz.

Lorsqu'il a été réglé que les demi-tons au total devaient être compris comme si le cinquième était à 432 Hz, les choses reviendraient bien et encore tempérées l'échelle musicale, en essayant d'éviter de créer des assiettes désagréables dans des accords complexes. <http://www.paolobenda.it/bancadelsuono/note.html>.

Dans ce contexte, l'échelle a été tempérée, c'est-à-dire améliorée en espérant les différentes demi-tons de quantités toujours égales en fréquences, en la reliant à des formules.

<http://www.amadeux.net/sublimen/dossier/musica-intonazione-432-hz.html>.

Dans l'échelle tempérée, les intervalles entre deux notes subséquentes sont toujours les mêmes. L'intervalle d'octave est divisé en 12 intervalles d'un demi-ton. L'octave est divisée en douze demi-tons égaux, de sorte que l'intervalle d'un demi-ton

Voici le tableau des fréquences et des notes de l'échelle tempérée actuelle.

$$f_{N+1} + f_N = \sqrt[12]{2}$$

TONI	OTTAVA	OTTAVA	OTTAVA	OTTAVA	OTTAVA	OTTAVA	OTTAVA	OTTAVA	OTTAVA	OTTAVA	OTTAVA
	-5	-4	-3	-2	-1	0	1	2	3	4	5
<b>C</b>	8,0261	16,0521	32,1043	64,2085	128,4171	<b>256,8341</b>	513,6682	1027,3365	2054,6729	4109,3459	8218,6917
rapporto	0,018581	0,037163	0,074325	0,148651	0,297302	0,594604	1,189207	2,378414	4,756828	9,513657	19,027314
<b>C#</b>	8,5033	17,0066	34,0133	68,0266	136,0531	272,1063	544,2125	1088,4251	2176,8501	4353,7003	8707,4006
rapporto	0,019686	0,039373	0,078745	0,157490	0,314980	0,629961	1,259921	2,519842	5,039684	10,079368	20,158737
<b>D</b>	9,0090	18,0179	36,0358	72,0716	144,1433	288,2865	576,5731	1153,1462	2306,2924	4612,5848	9225,1696
rapporto	0,020857	0,041714	0,083427	0,166855	0,333710	0,667420	1,334840	2,669680	5,339359	10,678719	21,357438
<b>D#</b>	9,5447	19,0893	38,1786	76,3572	152,7145	305,4290	610,8579	1221,7158	2443,4317	4886,8633	9773,7267
rapporto	0,022097	0,044194	0,088388	0,176777	0,353553	0,707107	1,414214	2,828427	5,656854	11,313708	22,627417
<b>E</b>	10,1122	20,2244	40,4488	80,8977	161,7954	323,5907	647,1814	1294,3628	2588,7257	5177,4517	10354,9027
rapporto	0,023411	0,046822	0,093644	0,187288	0,374577	0,749154	1,498307	2,996614	5,993228	11,9864	23,972913
<b>F</b>	10,7135	21,4270	42,8541	85,7081	171,4162	342,8324	685,6648	1371,3297	2742,6593	5485,3186	10970,6373
rapporto	0,024803	0,049606	0,099213	0,198425	0,396850	0,793701	1,587401	3,174802	6,349604	12,699208	25,398417
<b>F#</b>	11,3506	22,7011	45,4023	90,8046	181,6091	363,2183	726,4366	1452,8732	2905,7463	5811,4927	11622,9853
rapporto	0,026278	0,052556	0,105112	0,210224	0,420448	0,840896	1,681793	3,363586	6,727171	13,454343	26,908685
<b>G</b>	12,0255	24,0510	48,1020	96,2041	192,4082	384,8164	769,6327	1539,3655	3078,7310	6157,4620	12314,9240
rapporto	0,027841	0,055681	0,111362	0,222725	0,445449	0,890899	1,781797	3,563595	7,127190	14,254379	28,508759
<b>G#</b>	12,7406	25,4812	50,9623	101,9247	203,8494	407,6987	815,3975	1630,7950	3261,5900	6523,1800	...
rapporto	0,029496	0,058992	0,117984	0,235969	0,471937	0,943874	1,887749	3,775497	7,550995	15,101989	...
<b>A</b>	13,4982	26,9964	53,9927	107,9854	215,9709	<b>431,9418</b>	863,8836	1727,7671	3455,5342	6911,0684	...
rapporto	0,031250	0,062500	0,125000	0,250000	0,500000	<b>1,000000</b>	2,000000	4,000000	8,000000	16,000000	...
<b>A#</b>	14,3008	28,6016	57,2033	114,4066	228,8132	457,6264	915,2527	1830,5055	3661,0110	7322,0219	...
rapporto	0,033108	0,066216	0,132433	0,264866	0,529732	1,059463	2,118926	4,237852	8,475705	16,951410	...
<b>B</b>	15,1512	30,3024	60,6048	121,2096	242,4191	484,8383	969,6765	1939,3530	3878,7060	7757,4120	...
rapporto	0,035077	0,070154	0,140308	0,280616	0,561231	1,122462	2,244924	4,489848	8,979696	17,959393	...

Scala TEMPERAMENTO EQUABILE basata su un DO = 256 Hz / LA = 432 Hz  
Rapporto di frequenza: 431.9418 Hz

À partir d'une analyse de ces fréquences numériques, nous pouvons immédiatement faire quelques observations importantes que nous énumérons ci-dessous:

- Dans le tableau, nous trouvons tous les nombres de l'Evideon, par exemple, les différentes La des différentes octaves commencent par La à 13,5 Hz.
- Le rapport entre  $432/256 = 1,6875$  est le même nombre qui apparaît dans le tableau des valeurs des problèmes de particules dans la boîte pour  $n = 8$ .
- Semis sont douze et la valeur de  $21/12 = 20.08 (3)$  est exactement 1.059463
- Les numéros de table ne sont pas parfaits car ils résultent d'approximations appropriées qui rendent le tableau "égal".

**Analogies entre les fréquences musicales et le monde d'Evideonic.** À la fin des jeux, le rapport entre les nombres 432 et 256 établit le rapport de fréquence dans une octave et 2 à 12 hauteurs la fréquence entre un demi-ton et le suivant.

donc:

$$2^{1/12} = 1.0594630$$

$$432/256 = 1.6875$$

Mais à ce stade, nous nous rendons compte que ces nombres peuvent également être dérivés de la géométrie évideonique. En fait, le nombre 1.6875 dont le logarithme basé sur deux est 0.7548875 est assez similaire au nombre 1.68179 dont le logarithme est exactement 0.75.

La valeur de 075 est obtenue en élevant 2 à la puissance de  $\frac{3}{4}$ , ce qui représente le rapport entre les amplitudes des axes de l'espace et de l'énergie.

$$2^{0.75} = 2^{243/324} = 2^{3/4} = 1.681792839$$

Donc, l'univers évideonien semble être sensiblement accordé avec l'échelle musicale équitable, à l'exception des différences petites et totalement insignifiantes, inouïes pour la musique moderne. En travaillant à 432Hz dans le deuxième cas, nous aurions un Do5 avec une fréquence de 256,8687 pour comparer avec le théorème de Pythagore à 256 Hz et égaliser à 256,8341.

Il est parfaitement compris que, en utilisant les relations qui dérivent de la géométrie d'Evideon, il n'y aurait pas de changements appréciables au niveau audible. Il est donc hautement probable que les valeurs réelles à adopter soient celles liées à la géométrie évideale et non celles obtenues antérieurement par Pythagore et ensuite égalisées.

### **Parce que les notes sont sept.**

La question n'est pas du tout rhétorique. Dans l'évolution musicale, le modèle de 7 notes a été heureusement adopté par tout le monde et il faut se demander pourquoi un modèle alternatif n'a pas été adopté par exemple à 8 notes. L'être humain, sans toutefois savoir, est le créateur de son univers, qui a toujours été créé inconsciemment sur une base évideonienne. Dans ce contexte, le modèle musical a été de plus en plus adapté aux exigences de symétrie de notre cerveau, qui, sur la base des nombres évideoniques et de la valeur de la complexité de Frattalica D = 4.32, a involontairement créé quelque chose qui lui ressemble, créant un modèle qui pourrait permettre au cerveau pour résonner harmonieusement avec lui. Donc, nous avons finalement manipulé un clavier de piano qui avait 7 notes, mais il devrait avoir 5 autres clés. En fait, les notes seraient, par conséquent, que, pour les besoins musicaux, ils sont identifiés comme des demi-tons. Peu importe la façon dont un clavier est créé, mais il est important qu'il y ait 12 espaces entre une octave et l'autre, car la moitié de l'Evideon est 6 et les notes ne peuvent pas être multiples de 6.

En outre, il a été inconsciemment décidé de placer les demi-tons espacés de telle sorte que les 12 valeurs analogiques géométriques créées géométriquement de 12 demi-tons correspondant aux fréquences évideoniques bien définies (60 degrés sur la bande Moebius).

En travaillant avec les nombres réels, nous avons immédiatement réalisé que les fréquences liées à l'axe de l'énergie de l'espace et du temps étaient corrélées aux fréquences musicales et aux valeurs de Pi Greco et Gold Section.

$$\pi^{8.1240/9.64365} = \phi^2 = 1.6230^2$$

$$\pi^{432/1024} = \phi^2 = 1.6208^2$$

$$\pi^{431.8588/1027.1392} = \phi^2 = 1.618176^2$$

Lorsque les valeurs 9.64365 et 8.1240 représentent les valeurs des racines carrées de 93 et 66 qui correspondent respectivement aux valeurs vectorielles des fréquences spatiales (spirituelles) et temporelles (de ame)

$$(1^2+4^2+7^2)^{1/2} = (66)^{1/2} = 8.1240 \text{ fréquence } \textit{animica/temporale} \quad (5^2+2^2+8^2)^{1/2} = (93)^{1/2} =$$

**9.64365 fréquence spirituelle / spatiale**

Parallèlement à cette observation, nous avons remarqué qu'il y avait une autre égalité qui concernait les sections Aurea et Pi Greco avec la fréquence mentale calculée avec les vecteurs de l'axe vertical de l'Evolution (axe de l'énergie):

$$[F_m]^2 = [\phi]2^{2\pi}$$

$$\Pi^{Fa/Fs} = \phi^2$$

Con  $F_m$  che vale  $(3^2+9^2+6^2)^{1/2} = (126)^{1/2} = 11.22497$ .

Nous étions également au courant d'une autre relation numérique intéressante qui reliait la fréquence mentale (axe de l'énergie) au nombre 432:

$$2^\pi F_m = [4.31831]^\pi$$

qui aurait pu être généralisé aussi pour les autres valeurs vectorielles des axes évidés, écrivant ainsi le rapport de manière générique:

$$2^\pi F_v = [f_{Hz}]^\pi$$

Où  $F_v$  représente les fréquences calculées dans l'univers Evideon comme des sommes vectorielles des chiffres correspondant aux extrêmes des demi-haltères en fHz, les fréquences correspondantes que nous considérons comme la manifestation de la virtualité évidée faite de l'espace, du temps et de l'énergie en termes vectoriels mais projetées uniquement sur plan spatio-temporel. En termes simples, alors que le numéro 396, qui caractérise la couleur magenta au sommet de l'axe de l'énergie, représente un groupe de trois vecteurs dont la "fréquence" est un nombre non dimensionnel, il se manifeste par sa projection sur le plan espace-temporel, et cette projection, que l'on peut percevoir comme vraie fréquence en Hz, peut être calculée avec le dernier algorithme.

En fait, il faut souligner que les nombres de l'univers évolutif devraient être projetés sur le plan spatio-temporel pour fournir un aspect d'un tel univers mesurable. Il fallait donc trouver un système pour transformer le nombre de vecteurs évidéoniques en fréquences qu'ils avaient pour le cerveau humain, capable de donner une dimension à la virtualité, une signification tangible.

Nous savions également par les travaux précédents (Evide On: et la virtualité apparaît par le même auteur) qu'il y avait une relation numérique probable qui régissait la variation de  $\pi$  avec

$\phi$ , pendant l'évolution de l'univers évident, qui n'était pas statique, mais a commencé à partir d'une forme sphérique pour devenir toroïde et finit par renvoyer une sphère.

$$(\phi)^{1/2}\pi = 4$$

Si nous avons déjà une corrélation entre  $F_v$  et les angles, nous manquons encore de relation entre fgh et angles afin que nous puissions vérifier la cohérence de la géométrie de l'Evideon, transformant toutes les fréquences du plan spatiotemporel en angles, comme nous l'avons fait pour le problème de particules dans la boîte. Une corrélation angulaire de ce type confirmerait, d'une part, l'existence d'une telle relation mais nous permettrait de calculer en transformant les paramètres actuels (longueurs, temps et énergies) uniquement en angles adimensionnels.

L'algorithme proposé est le suivant:

$$[f_{Hz}]^\pi = \alpha\pi^2$$

et pour démontrer l'existence de cet algorithme, nous avons appliqué cette formule aux 7 valeurs La de l'échelle musicale (à partir de la cinquième octave avec La à 432 Hz). Les résultats de cette opération sont résumés dans le tableau suivant.

<b>f</b>	<b><math>\alpha</math></b>	<b>lg[</b>	<b><math>A/\pi</math></b>	<b><math>\alpha/3</math></b>
<b>431</b>	<b>192</b>	<b>15.</b>	<b>5</b>	<b>535</b>
<b>215</b>	<b>218</b>	<b>12.</b>	<b>4</b>	<b>606</b>
<b>107</b>	<b>247</b>	<b>9.7</b>	<b>3</b>	<b>687</b>
<b>53.</b>	<b>280</b>	<b>6.2</b>	<b>2</b>	<b>77.</b>
<b>26.</b>	<b>317</b>	<b>3.1</b>	<b>1</b>	<b>8.8</b>
<b>13.</b>	<b>360</b>	<b>0</b>	<b>0</b>	<b>1</b>
<b>6.7</b>	<b>40.</b>	<b>-</b>	<b>-1</b>	<b>0.1</b>

Una analoga tabella calcolata sui corrispondenti valori dei Do è riportata di seguito:

<b>f</b>	<b><math>\alpha</math></b>	<b>lg[</b>	<b><math>A/\pi</math></b>	<b><math>\alpha/3</math></b>
<b>256</b>	<b>376</b>	<b>13.</b>	<b>4.2</b>	<b>104</b>
<b>128</b>	<b>426</b>	<b>10.</b>	<b>3.2</b>	<b>118</b>
<b>64.</b>	<b>483</b>	<b>7.0</b>	<b>2.2</b>	<b>134</b>
<b>32.</b>	<b>547</b>	<b>3.9</b>	<b>1.2</b>	<b>15.</b>
<b>16.</b>	<b>620</b>	<b>0.5</b>	<b>0.2</b>	<b>1.7</b>
<b>8.0</b>	<b>70.</b>	<b>-</b>	<b>-</b>	<b>0.1</b>
<b>4.0</b>	<b>7.9</b>	<b>-</b>	<b>-</b>	<b>0.0</b>

La relation étroite entre les valeurs de Pi Greco dans la quatrième colonne (exacte à nos figures contrôlables) confère à notre relation angulaire une validité irréfutable. Il existe donc une relation étroite entre les fréquences musicales (et toutes les autres fréquences existantes) et les valeurs angulaires définies avec précision en termes de multiples de Pi Greco.

Le ratio utilisé pour ces données entre La et Do de la même octave a été choisi à 1.68179, ce qui correspond à la valeur attendue pour la géométrie évidéonique.

La valeur de référence était le numéro 13.4955 qui, d'autre part, la valeur de 13.4982 de la table de fréquence, précédemment rapportée, d'autre part est en alignement parfait avec le nombre 13.5 représentant l'énergie adimensionnée quantifiée de l'axe de l'énergie. En résumant, nous avons maintenant des algorithmes qui ont permis, d'une part, de décrire le monde évidéon en fonction de Pi Greco; Les fréquences de la Section d'Or, de l'âme, de l'esprit et de l'Esprit, mais nous avons également eu une table de conversion des nombres de évidéon en angles, à la fois dans le monde évidéon, et uniquement sur le plan spatio-temporel



$$\pi^{fals} = \Phi^2$$

$$[f_m]^2 = \Phi 2^{2\pi}$$

$$\pi \Phi^{1/2} = 4$$

$$2^{\pi} f_v = [f_{12}]^{\pi}$$

$$[f_{12}]^{\pi} = \alpha \pi^2$$

$$0.828 f_v = \alpha + 256$$

Il convient également de noter que de fortes corrélations entre les nombres et les angles se font souvent sans ambiguïté, en particulier avec les valeurs tangentes de l'angle  $\phi$ .

Par exemple, la valeur de la tangente de 45 degrés exprimée en radians est égale à  $\alpha$ , la tangente carrée de 108 est identique au carré de la valeur tangente pour un angle égal à 432 et la tangente carrée à un angle de 60 degrés est exactement égal à 3 tandis que le rapport entre la tangente de 108 divisé par la tangente de 36 est égal à la section d'or (voir ci-dessous).).

### **Relations entre les fréquences sonores et les fréquences de temps et d'énergie.**

Comme nous l'avons déjà souligné dans l'univers évidéon, il n'y a pas de chiffres dimensionnés, mais tout est une géométrie angulaire. Cependant, nous avons qualifié «de façon incorrecte» les vecteurs du temps et de l'espace énergétique comme des fréquences qu'ils ont, à notre avis, projetés sur l'espace temporel, se comportent en tant que tels. Il convient de souligner que, si ce n'était pas le cas, il n'y aurait pas de liens numériques entre les fréquences de la musique à 432Hz et ces nombres d'évidence.

Par exemple:

$$126/1.618033 = 2^{2\pi} \text{ con } 126 = 3^2+9^2+6^2$$

$$256/432 = (9.63/8.12)/2$$

$$360/256 = [8.12 \times 11.22 / (13.46 \times 9.63)]^2$$

$$360/432 = 11.22/13.46$$

Par conséquent, les fréquences dérivées des vecteurs sur les axes spatiaux temporels et énergétiques sont liées les unes aux autres avec les fréquences sonores liées aux 432 Hz et à l'angle d'angle à 360 ° mais non seulement.

Le rapport  $f_a / f_s$  avec  $f_a = 8.1240$  et  $f_s = 9.63$  (5) est 0.842424 doublé, en fournissant le nombre 1.6848470 qui, par rapport à la valeur du rapport  $La / Do$  de l'échelle que nous avons adoptée, est définitivement superposé à l'échelle tempérée à 432Hz , qui fournit une valeur de  $431.8588 / 256.7848 = 1.68179$ . En d'autres termes, les vecteurs de l'âme, de l'esprit s'ils étaient des notes de musique, seraient dans une relation presque identique à deux notes distancées entre eux les six demi-tons (espaces sur le clavier) (regardez la similitude entre 1.6876, donnée dans le diagramme du calcul de l'énergie des particules dans la boîte à une seule dimension, lorsque  $n = 8$  et 1.6848 sont obtenus ici. Cela fait vraiment penser que l'univers se manifeste comme une véritable fractale).

Comme preuve supplémentaire que les équations écrites ont un contenu élevé de la réalité, nous pouvons l'utiliser pour calculer, sur la base des nombres évidents, les valeurs de constantes comme Pi Greco. Savoir en fait que:

$$(\phi)^{1/2} \pi = 4$$

$$\Pi^{F_a/F_s} = \phi^2$$

A partir de ces deux formules avec des passages triviaux appropriés, on constate que

$$\Pi^{(4 + F_a/F_s)} = 256$$

c'est-à-dire

$$4.84375 \lg \Pi = 8$$



avec  $F_a = 8.13$  et  $F_s = 9.63$  (5), la valeur grecque  $\pi$  devient 3.14184694878247 avec une précision de 99.992% de la valeur d'origine généralement acceptée pour cette constante.

### Un exemple de la façon d'utiliser ces formules.

Nous essayons de transformer les valeurs "pseudo-fréquences" de l'âme, de l'Esprit et de l'esprit en valeurs en temps réel qui peuvent être enregistrées sur le plan espace-temps et donc corrélables avec les valeurs de Hz vraies.

Avec la formule  $2^\pi F_v = [f_{Hz}]^\pi$  nous obtenons cela:

$$\begin{aligned} \text{con } F_v &= 11.22497 \quad f_m = \\ &4.31831 \quad \text{con } F_v = 9.64365 \quad f_s \\ &= 4.11456 \quad \text{con } F_v = \\ &8.12403 \quad f_a = 3.89600 \end{aligned}$$

avec des rapports:

$$f_m/f_s = 1.049519$$

$$f_s/f_a = 1.056098$$

en utilisant la formule  $[f_{Hz}]^\pi = \alpha \pi^2$

fournir les valeurs suivantes de  $\alpha$ :

$$\alpha_m = 10.04$$

$$\alpha_s = 8.62$$

$$\alpha_a = 7.26$$

où "peut-être pour un cas"

$$10.04 \times 8.62 \times 7.26 / 100 = 2 \times 3.14157624 = 2\pi$$

avec une approximation égale à  $\pi$

Pour transformer directement les fréquences rectangulaires en angles, on utilise l'expression suivante, obtenue à partir des substitutions triviales des algorithmes déjà mentionnés ci-dessus:

$$F_v = \alpha [\pi^2 / 2^\pi]$$

En observant que le produit entre les trois angles liés à l'espace, au temps et aux fréquences des vecteurs d'énergie a fourni un nombre intéressant, nous avons pensé voir si même les produits de fréquence  $F_v$  simples pouvaient fournir des nombres importants. Le résultat était le suivant::

$$F_a \times F_m \times F_s = 3.891 \times 4.318 \times 4.114 = 69.11503837$$

mais l'intéressant est que:

$$69.11503837 = e^{\pi^3} = \pi 22 = \pi [396/18]$$

Les valeurs de  $\pi$  Greco et Aurea sont extrêmement précises et leur précision devient déconcertante, compte tenu du fait que les différences qui peuvent être

trouvées dans les approximations sont dues au type d'ordinateur utilisé mais ne dépendent pas intrinsèquement de la nature de l'algorithme mis en évidence. Deux mots devraient être utilisés pour comprendre quel est le sens du numéro 22 qui apparaît dans ces algorithmes.

D'un point de vue symbolique 22 est un numéro archétype historiquement et esotériquement important (rappelez-vous que la formule archétypale est  $3n + 1$ , où dans ce cas  $n = 7$ , (voir l'article Archetipi, par le même auteur) mais par un D'un point de vue visuel, le 22 provient d'une relation entre deux autres nombres significatifs qui sont 396, le nombre représentant la couleur magenta et le vecteur énergétique ( $32 + 92 + 62$ ), tandis que 18 sont des subdivisions quantifiées de l'axe de l'énergie ( $13,5 \times 18 = 243$ : NdA). Si cette formule était une description de l'univers évideon, elle préciserait comment les fréquences de l'espace, du temps et de l'énergie varieraient avec Pi Greco, qui à son tour varie avec la Section Or et avec la valeur des porteurs qui caractérisent l'axe magenta notre univers, en ce moment, vaut 3, 9 et 6, mais cela serait sujet à changement à mesure que le toroïde universel aplatira (voir Torus: Aspects toroïdaux de l'univers évocateur, du même auteur). Dans ce contexte, la formule finale de l'Univers serait très expressive:

$$e^{\phi^3} = \pi[XYZ/18]$$

où X, Y et Z sont les chiffres qui composent le vecteur magenta dont la somme doit toujours être 9. (par exemple lorsque  $\pi$  est 3,30 et  $\phi$  tend à 1.44 XYZ devient 108; N.d.A.)

### Quelques observations fondamentales.

A partir de l'analyse de l'observation des valeurs numériques décrites ci-dessus, certaines considérations ont émergé que nous citons les points suivants:

- Nous nous rendons compte que le terme multipliant l'angle alpha  $[\pi^2/2^\pi]$  dépend de la valeur de Pi Greco, qui dépend à son tour de l'instant où nous examinons l'univers évolutif.
- Cette valeur à ce moment est 1.11837158 mais sa racine carrée suppose 1.05753, dont le logarithme est basé sur deux est 0.0806998.
- À partir de cette simple observation, il semblait qu'il y avait une relation

entre le terme  $[\pi^2/2^\pi]^{1/2}$  qui tend à  $2^{1/12}$  égal à  $2^{13.5/162}$  • Le terme  $[\pi^2/2^\pi]$  semblait avoir une valeur proche du terme  $(5)^{1/2}/2$  (c'est-à-dire 1.118034) et nous nous trouvons dans une formule mathématique qui s'approche de la valeur de la section dorée de forme  $((1+[5]^{1/2})/2)$ , avec  $\phi = 1.618033$ .

- La valeur de Pi Greco, qui varie selon la forme de l'univers dans son évolution, sa sphère, sphéroïde, toroïdal et sphère, varie avec la Section d'Or et par conséquent avec les valeurs des fréquences vectorielles de l'âme, l'esprit et l'Esprit qui restent les mêmes au cours du temps, mais ils seront calculés sur le plan temporel différemment puisque les valeurs de PI Greco changent.

Tout cela nous a amené à supposer qu'il y avait une relation de ce type:

$$2^{\phi/10} \cong [\pi^2/2^\pi]$$

Cette équation est suffisamment approximative en imposant aux valeurs Aurea et Pi Greco l'observation de l'équation déjà identifiée  $(\phi)^{1/2}\pi = 4$  pour les valeurs des deux variables comprises dans la plage attendue pour l'existence de cette Universo.

Par exemple, en imposant la valeur actuelle de Pi Greco, nous obtenons la valeur de gauche de 1.1186 contre le bon terme de 1.1184. Au début de l'univers de l'évolution

lorsque Pi Greco avait 3 ans, la section dorée avait tendance à être 1,7 et à la fin où la section d'or est de 1,44, Pi Greco a tendance à 3,33

### Relation entre $\pi$ et le nombre de Nepero.

Il était aussi un mathématicien du 1600, qui est associé à un nombre portant son nom et qui est à la base des logarithmes naturels. Ce nombre irrationnel a été lié par un autre mathématicien, Euler, environ cent ans plus tard, à la définition de Pi Greco à travers une telle relation:

$$e^{i\pi} + 1 = 0$$

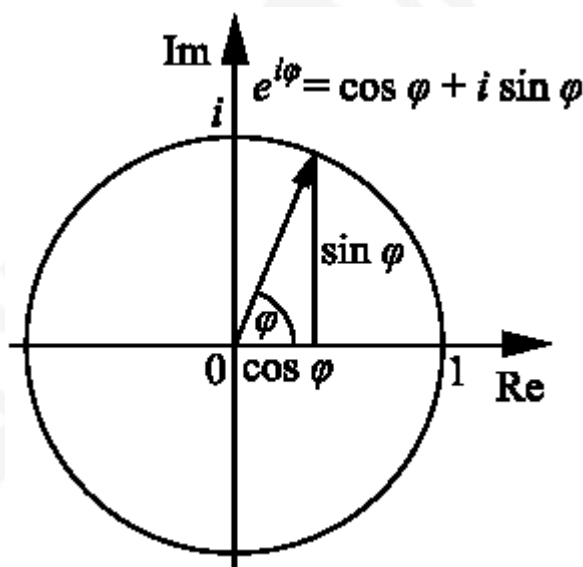
qui représente la définition la plus précise de Pi Greco à ce jour. Donc, relier ces deux nombres importants entre eux, dans la géométrie de l'évideon était important. Il faut souligner qu'il existe une relation qui relie Pi Greco au monde évideon avec la mesure de l'entropie et le nombre de Nepero.

En fait, imposant une sphère placée dans l'espace correspondant à une bande Moebius d'une zone égale à 84 unités évidèques, qui imite l'univers évideon: (Aspects toroïdaux de l'univers évideon, du même auteur) et admettant que son volume est 84 on pourrait écrire cela

$$e^{i\pi} + 1 = 0$$

on pourrait calculer le rayon de la sphère représentant l'espace comme on le connaît communément. Eh bien, le rayon calculé suppose la valeur de 2.716836848 qui est exactement le nombre et (2.718281828) avec une précision de 99.95% (l'erreur de 0.05% est, à notre avis, attribuable à la valeur de la fraction 4/3 représentant la valeur du rapport entre l'axe de l'énergie et temps spatial 324/243 où l'axe de l'énergie doit toujours osciller sa valeur 243. NdA).

Il convient également de rappeler que la formule d'Euler met l'accent sur la présence de nombres imaginaires ( $i = -1/2$ ) qui pourraient autrefois décrire l'énergie négative de l'antifotone mais qui sont maintenant mieux exprimés par les mathématiques isodiques de Santilli (voir la bibliographie).



### The Evidéon Universe et la Fréquence de Shumann.

Le phénomène de résonance est lié à une fréquence qui interagit avec l'environnement dans lequel il se trouve, et en particulier une condition physique qui survient lorsqu'un système oscillant forcé est soumis à une contrainte de fréquence périodique égale à l'oscillation du système lui-même.  
[https://it.wikipedia.org/wiki/Risonanza\\_\(fisica\)](https://it.wikipedia.org/wiki/Risonanza_(fisica)).

En particulier, par exemple, la résonance de Shuman est un phénomène qui aboutit à la mesure d'une fréquence dans l'atmosphère de notre planète autour des 8 Hz déterminée, selon des sources officielles, par des éclairs dans l'atmosphère. L'ionosphère représenterait une sorte de cavité sphérique où l'éclair frappe cette résonance.

La formule pour calculer la résonance dans une cavité sphérique est donnée par:

$$f_n = \frac{c}{2\pi a} \sqrt{n(n+1)}$$

où  $f$  représente une fréquence,  $c$  est la vitesse de la lumière, et  $a$  c'est le rayon de la sphère creuse dans laquelle se produit la résonance et  $n$  est la toute autre tonalité de vibration que la base

[https://it.wikipedia.org/wiki/Risonanza\\_Schumann](https://it.wikipedia.org/wiki/Risonanza_Schumann).

Mais si nous analysons la formule générale de l'Evidéon qui relie la fréquence de base aux paramètres des principales constantes universelles, nous remarquons une forte analogie entre cette description et la formule d'une sphère résonnante

$$13.5 = \alpha^{-1}/(2\pi\phi)$$

une telle formule qui peut également être écrite comme suit:

$$13.5 = 111/(\pi\phi^2)$$

(pour les valeurs finales constantes de 137.037 et Gold Section de 1.6180), il nous dit que notre univers évidéon peut être comparé à une sphère de fréquence résonnante dans des unités évidèques de 13.5. Mais les surprises ne sont pas encore terminées.

En fait, affirmer que l'univers évidéon est une sphère résonnante signifie aussi que

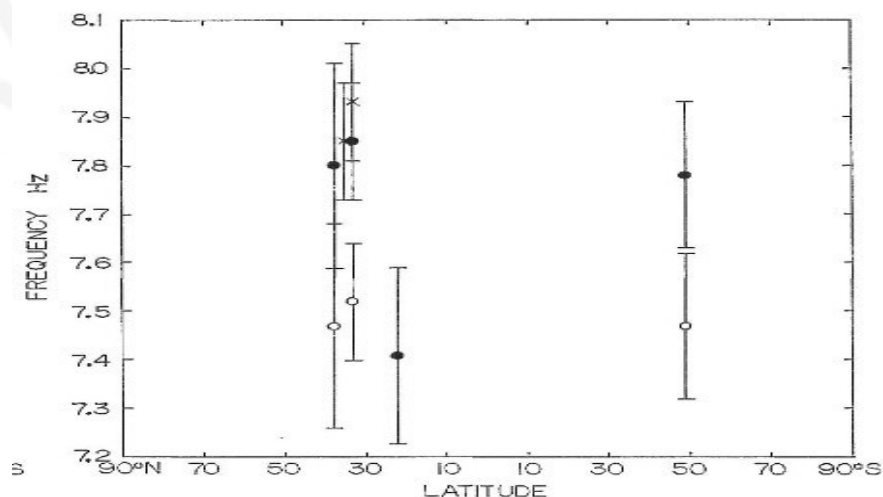
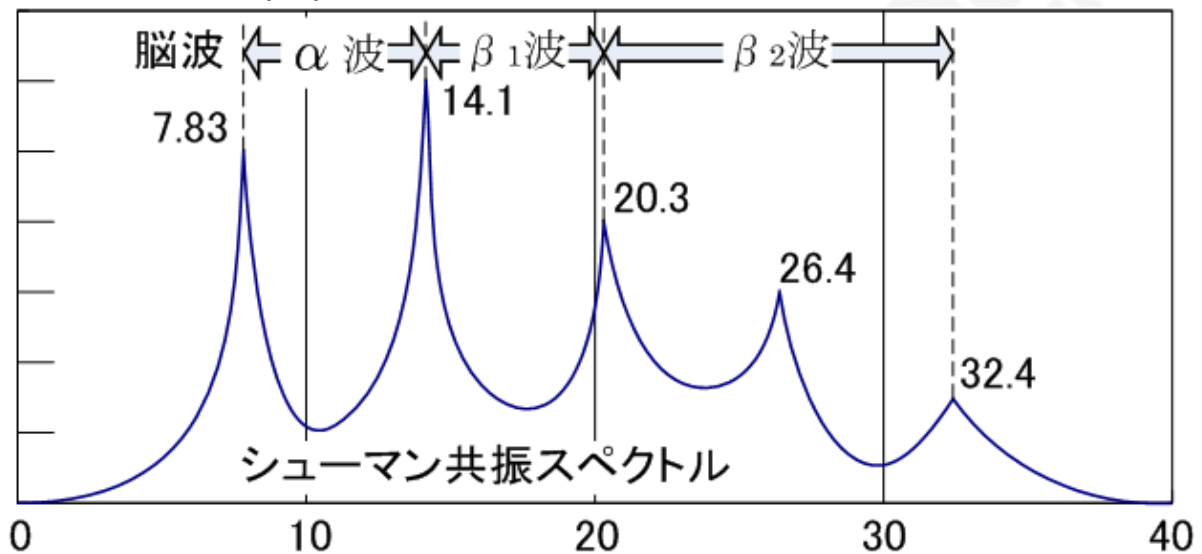
$$\alpha^{-1} = c[n(n+1)]^{1/2}$$

cela n'est valable que si  $[n(n+1)]^{1/2}$  suppose quand  $c$  est 300, la valeur 0.456789 dont le carré est 0.2086562 qui n'est vérifié que lorsque  $n^2$  assume les valeurs exactes de la racine carrée de  $\pi/100$  et  $-\pi$  (l'équation est vérifiée pour  $n=0.11724$  et  $-1.1724$ )

$$[n(n+1)] = \pi/100 + \pi^{1/2}/10$$

établissant une relation claire et sans ambiguïté entre la constante de bout en bout de l'univers, qui représente la vitesse de la lumière dans les unités de masse atomique et la même vitesse dans sistema c.g.s.

Cette découverte met en évidence comment une fois de plus on comprend comment l'univers évident est une cavité résonnante dont la fréquence fondamentale peut être exprimée par le nombre pur 13.5 (exprimé en Hz lorsque la section d'or est une distance et une vitesse) et la Quelle surmonte sont liés à la valeur de  $\pi$ . De plus, en multipliant les différents Fx de l'espace, du temps et de l'énergie, il ne fait que trouver la confirmation de ce qui précède.



### Les querelles de fréquence de Schumann et les interférences avec les fréquences evidionnes.

Si l'univers est une fractale, tout Evidéon se comporte comme une sphère creuse et l'atmosphère terrestre ne montre pas moins les valeurs de fréquence de Shumann d'un certain type.

Les données fiables sur cette fréquence sont contenues dans cet article scientifique [https://www.jstage.jst.go.jp/pub/pdfpreview/jgg1949/19/4\\_19\\_4\\_377.jpg](https://www.jstage.jst.go.jp/pub/pdfpreview/jgg1949/19/4_19_4_377.jpg),

Cette fréquence a des pics dont les valeurs moyennes sont représentées par la figure suivante

En fait, ces valeurs varient en fonction du fait que les différentes régions de la Terre ne sont pas définies de façon homogène (nous ne vivons pas dans une cavité parfaitement sphérique) et, d'autre part, ces valeurs sont sujettes à des oscillations statistiques liées à la reproductibilité du phénomène qui produit de la résonance (coup de foudre).

Nous avons donc des valeurs qui ne sont pas bien définies, sauf dans une gamme mesurée avec précision par les auteurs de l'article.

On peut remarquer que la hauteur la plus élevée mesure 32,4 Hz et est à 6 Hz à partir de la deuxième tonalité qui, à son tour, est toujours espacée de 6 Hz à partir de la suivante jusqu'à atteindre 14,1 Hz. Ensuite, au lieu de montrer une valeur d'environ 8 Hz, rapporté par certains auteurs (8,13 Hz et plus <http://onlinelibrary.wiley.com/doi/10.1029/2002JA009305/full> ), nous obtenons des valeurs moyennes plus faibles. Les nombres mesurés sont tous des nombres évidentes, sauf le dernier, qui semble être le plus énergiquement élevé.

Le problème de la raison pour laquelle nous sommes intéressés par cette valeur est dicté par le fait qu'il est dans la portée de l'interférence avec les fréquences que nous avons calculées pour l'âme, l'esprit et l'Esprit, et ce type de fréquence pourrait affecter de manière significative la pensée humaine comme un porteur solide qui détruit les signaux de 8 Hz modifiant la perception de l'univers comme notre cerveau le perçoit holographiquement. Une relation numérique intéressante montre comment cette fréquence est proportionnelle à la Section Or et nous permet d'écrire l'égalité suivante:

$$f_{sc} [n(n + 1)] = \phi$$

et si cela correspondait à la vérité, nous pourrions écrire cela:

$$13.5 \times 2\pi[\phi]^{1/2} c =$$

Et voici le nombre 108 qui lie la vitesse de la lumière (300) à la racine carrée de la fréquence de Schumann qui supposerait la valeur de 7,7160 Hz.

De même, en utilisant la formule de particules dans la boîte ci-dessus, nous pourrions écrire la relation suivante:

$$108 = (n\lambda)^2 L^2 = c/(f_{sc})^{1/2}$$

qu'avec une relation ( $\lambda/L$ ) égal à 1.484615, pour  $n = 7$ , comme précédemment trouvé, fournit toujours une valeur de 7.716Hz.

Si l'univers évideon est fractale, la fréquence de Schumann aurait toutes les caractéristiques nécessaires pour avoir cette dernière valeur précise.

Mais à ce stade, il existe de sérieux problèmes concernant le fonctionnement du cerveau humain et la validité de certaines expériences "aériennes", si tel est le cas, sans bloquer l'interférence de fréquence de 7 Hz de Schumann qui pourrait polluer certaines expériences.

Nous analysons avec différents points d'ordre.

Luc Montagnier, Prix Nobel de Médecine publique, a trois travaux sur la mémoire de l'eau (voir Torus: aspects toroïdaux de l'univers évideon, par le même auteur). Les expériences de Montagnier impliquent le transfert d'informations d'un endroit à l'autre en passant par la source d'information, une empreinte électromagnétique des informations de départ, en utilisant une gamme de 7 Hz sans aucune protection

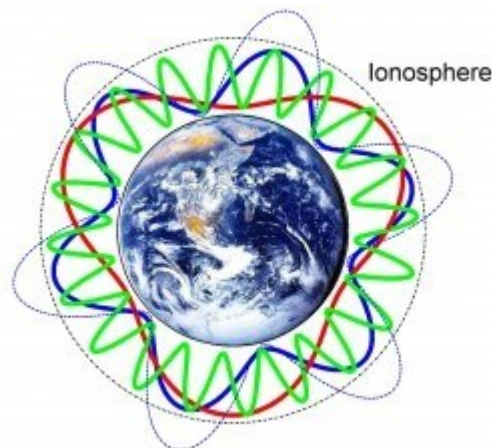
contre les interférences de Schumann.

Montagnier obtient également des résultats et, comme nous n'avons pas à le douter scientifiquement, cela signifie deux choses fondamentales: soit l'information passe à travers un canal caché sans interférence, transmettre l'information n'est pas le champ de 7 Hz, mais une variable cachée. (<https://oggiscienza.it/2011/07/27/luc-colpisce-ancora/>).

Bien qu'il existe un fort besoin de douter de la nature scientifique du travail de Montagnier, d'autre part, il existe une démonstration d'une expérimentation, souvent non encore répétable, qui, d'ailleurs, prouve que le transfert d'informations existe et est réalisable.

D'autre part, l'explication de la fréquence de Schumann a été attribuée à la présence d'environ deux mille éclairs par seconde dans l'atmosphère terrestre en résonnant l'ionosphère. Il faut dire que cette explication a peu à peu scientifique parce que nous devrions savoir ce qui se passe si la foudre n'est pas là et voir s'il existe d'autres raisons qui déclenchent la résonance de Schumann, sinon je ne vois pas comment on peut attribuer en toute sécurité une cause à une de ce genre.

Évidemment, vous ne pouvez pas vous attendre à ce type de test, mais vous pouvez faire d'autres considérations. Par exemple, vous trouvez une lecture perturbatrice particulière de certains rapports de la NASA

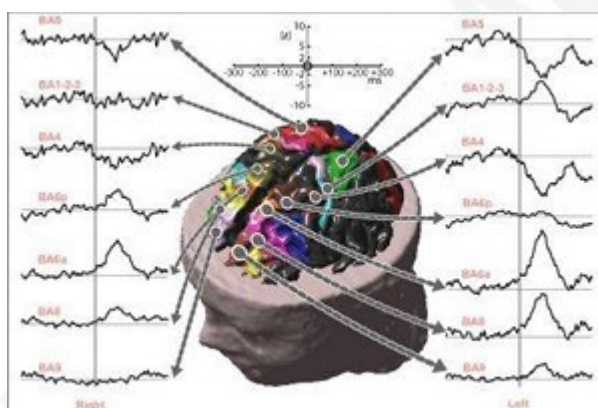


<http://www.meteoweb.eu/2011/12/rilevata-la-risonanza-di-schuman-dallo-spazio/101414/>.

En fait, la fréquence de Schumann aurait été enregistrée en dehors de l'ionosphère par une mission de la NASA. C'est une vraie surprise, puisque les modèles résonnants Schumann actuels prédisent que ces ondes devraient être piégées dans de multiples dimensions

bas, entre le sol et une couche d'atmosphère terrestre appelée ionosphère. "Les chercheurs ne s'attendaient pas à voir ces résonances dans l'espace", explique Fernando Simoes, un scientifique au Goddard Space Flight Center de la NASA à Greenbelt, au Maryland. "Mais il s'avère que les déversements d'énergie ouvrent de nombreuses autres possibilités, jusqu'à l'étude de notre planète d'en haut".

Pour approfondir <http://www.meteoweb.eu/2011/12/rilevata-la-risonanza-di-schuman-dallo-spazio/101414/#f3oud152lb43R5e6.99>





Donc, si une cavité résonante sort de l'onde qui résonne à l'intérieur, elle ne résonne plus. À quelle fréquence la fréquence de Schumann persiste-t-elle? Une explication qui pourrait être banale est que la fréquence de Schumann n'est pas causée par les choses dans l'ionosphère comme l'éclairement, mais qui provient de l'extérieur, ce qui permettrait naturellement aux dispositifs de la NASA d'enregistrer leur existence en dehors de l'ionosphère.

dispositifs de la NASA d'enregistrer leur existence en dehors de

l'ionosphère. <http://sedonanomalies.weebly.com/schumann-resonance.html>.

Le problème fondamental est de comprendre comment ces ondes affectent la pensée humaine et la vie et la conscience, car les fréquences comprises entre 12 Hz et plus sont cruciales pour le cerveau humain en ce qui concerne les ondes alpha, bêta et theta surtout.

<http://www.schumannresonator.com/>.

Le cerveau humain tend à résonner aux fréquences qu'il exhorte et à être immergé dans un capot Schumann est que les 7 Hz envahissent notre cerveau.

Donc, il est apparu

des études du docteur Ankermuller

a publié un article sur Technische Physik Journal, après avoir consulté le même.

<http://www.schumannresonator.com/>.

Le new âge a également repris le concept de la fréquence de Schumann qui serait une mesure de la conscience humaine. Nous ne savons pas comment cette fréquence devrait changer en donnant une indication que notre conscience augmente, bien que dans les nouveaux âges, monte (? : N.d.A.) et tout cela dépend de l'idée que les pôles de notre planète inverseront leur position.

Mais la réalité semble très différente. La conscience est une constante et ne peut pas monter; la conscience augmente en descendant aux niveaux quantiques les plus bas de notre

l'univers, et puisque l'entropie augmente toujours, il n'est même pas possible de revenir à la conscience primordiale qui entre-temps acquiert la conscience de soi.

En outre, les variations de la fréquence de Schumann dépendent de nombreux facteurs et fluctuent.

Si la fréquence de Schumann était causée par des causes externes?

Si cela était vrai, il devrait y avoir un objet qui rayonne notre planète avec cette fréquence en continu.

En fait, le seul endroit assez proche de notre planète qui pourrait être adapté pour contenir une antenne ou quelque chose de similaire à atteindre, serait la Lune

- La lune n'appartient pas au système solaire, comme l'ont confirmé les analyses isotopiques faites sur le matériel signalé par les expéditions lunaires.

- Selon les anciens calendriers de Maja et les légendes anciennes, la Lune n'existait pas avant. ([Http://www.progettoatlanticus.net/2014/02/quando-la-luna-non-cera.html](http://www.progettoatlanticus.net/2014/02/quando-la-luna-non-cera.html)), il apparaît aussi que plusieurs Les astronautes qui ont mis le pied sur la lune sont morts à cause des rayonnements lunaires de la Terre, à tel point que la NASA étudie pour l'avenir, de nouveaux types de chaussures pour éviter ce problème (<http://www.mondouomo.net/> astronautes-lunaire-mort-pour-radio-radiation-létale /) problèmes.

- La lune a toujours le même visage que la Terre.

- La lune rayonne des neutrons, tout au moins dit la NASA, ([https://science.nasa.gov/science-news/science-at-nasa/2005/08sep\\_radioactivemoon/](https://science.nasa.gov/science-news/science-at-nasa/2005/08sep_radioactivemoon/)).



- La Lune regarde toujours vers nous car elle n'est pas homogène dans son intérieur et elle montrera le côté «plus lourd» de la Terre pour les problèmes de gravité.
- En termes probabilistes, le fait qu'il y ait un satellite naturel qui surveille constamment le même côté de la planète mère est égal à plusieurs milliards de milliards.

Évidemment, tout peut se produire et même le presque improbable a une chance d'exister, petit à plus grand et plus grand que zéro.

Nous allons brièvement voir cette thèse apparemment désuète, prendre forme, et nous aiderons à comprendre les choses jusqu'alors ignorées. D'un point de vue cosmique, cependant, nous sommes certains que la fréquence de Schumann n'est pas ce que nous supposons être théoriquement, soit 7,716 Hz à notre avis. Il est facile de vérifier que cette fréquence contient les informations de la Section Or. Il suffit de chercher les harmoniques liées à cette fréquence de base en la multipliant par 2 comme il arrive pour les notes d'un piano que vous souhaitez calculer l'octave suivante

$$7.716 \times 2 = 15.432 \text{ il cui inverso vale } 0.0648 = \phi/25$$

$$15.432 \times 2 = 30.864 \text{ il cui inverso vale } 0.0324 = \phi/50 \quad 30.864 \times 2 = 61.728 \text{ il cui inverso vale } 0.016200 = \phi/100 \quad 61.728 \times 2 = 123.456 \text{ il cui inverso vale } 0.008100 = \phi/200$$

Ainsi, la fréquence de Schumann, selon ce type de réglage, aurait augmenté par rapport aux attentes attendues pour un univers parfaitement évident de 0.1 Hz, une quantité qui est certainement petite mais importante aux valeurs des fréquences de l'âme, de l'esprit et de l'esprit, qui ne permettrait pas une harmonie parfaite de la conscience des composants de la triade.

### Toroids et informations

Tout ce que nous avons décrit jusqu'ici en termes de quantum, de son, de résonance est fondamental pour comprendre comment l'information est transférée vers notre univers virtuel <http://www.trigunamedia.com/geosound/index.htm>

Les moyens de transfert d'information sont liés à la forme de l'information. Le terme information provient d'une action sous forme ou forme en action qui devient synonyme de ce qui se produit réellement.

D'un point de vue entropique, l'information n'est autre chose que la valeur de l'entropie thermodynamique changée en signe.

Même une meilleure information est la forme qui est attribuée à la variation de l'entropie pendant l'information elle-même.

Encore plus vulgairement: *Puisque l'entropie dépend de la forme de l'espace de points spatiotemporel qui contient l'information, on peut déduire que l'information dépendra de la forme de la surface de l'onde qui constitue la vibration correspondant à l'information elle-même*

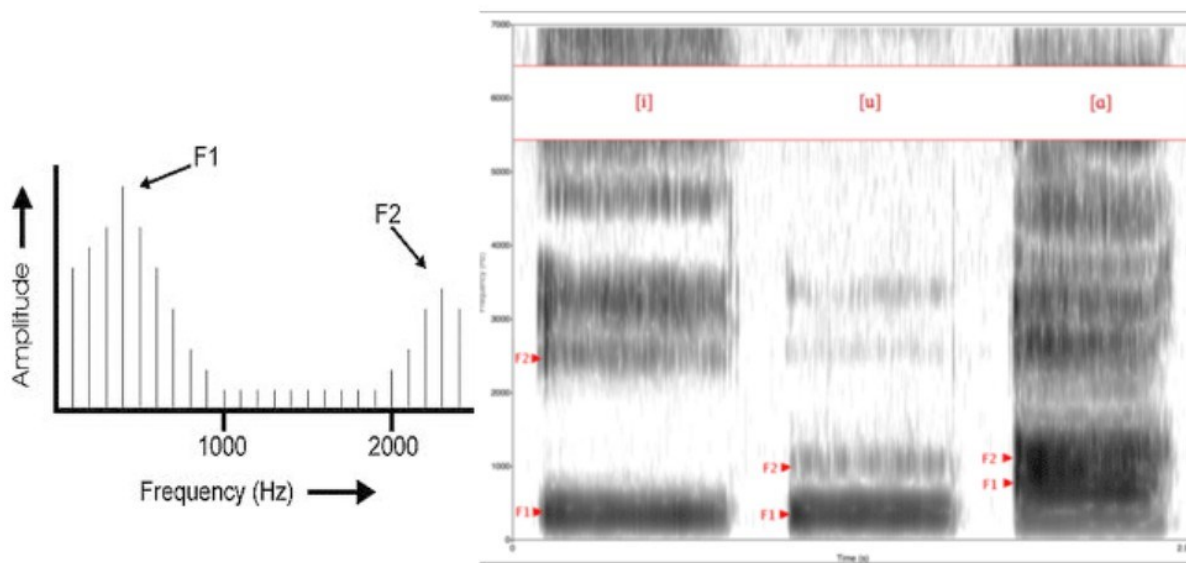
Eh bien, si l'univers est une fractale, toutes les informations auront la même nature vibrante et seront caractérisées par une onde correspondant à une surface de forme toroïdale qui est construite dans l'espace avec une énergie précise.

Par exemple, nous analysons, d'un point de vue phonétique, des informations vocales entre deux êtres humains.

La langue humaine consiste en des sons caractérisés par des fréquences appropriées.

À partir de l'étude de la langue phonémique et, selon les règles de l'Association téléphonique internationale (IPA), si nous analysons les dix premières vocalisations

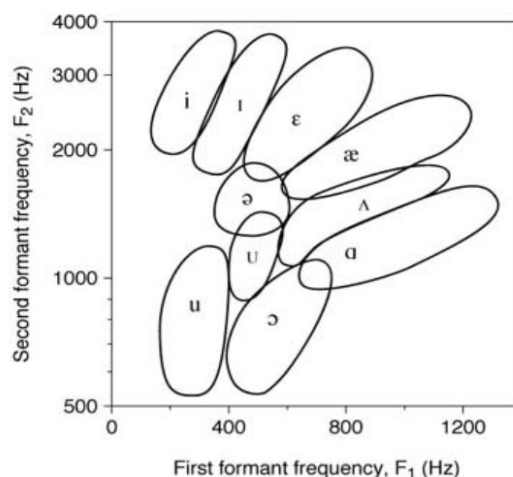
dans les différentes langues de la planète, nous trouvons que chaque vocale est caractérisée par l'émission d'une onde qui a la forme d'un toroïde . Ce toroïde est à son tour caractérisé par deux pics de fréquence appelés formants (F1 et F2), souvent exprimés en Hz. La relation entre ces formants produit dans l'espace et le temps la construction d'un toroïde dont la surface contient réellement de l'information réelle.



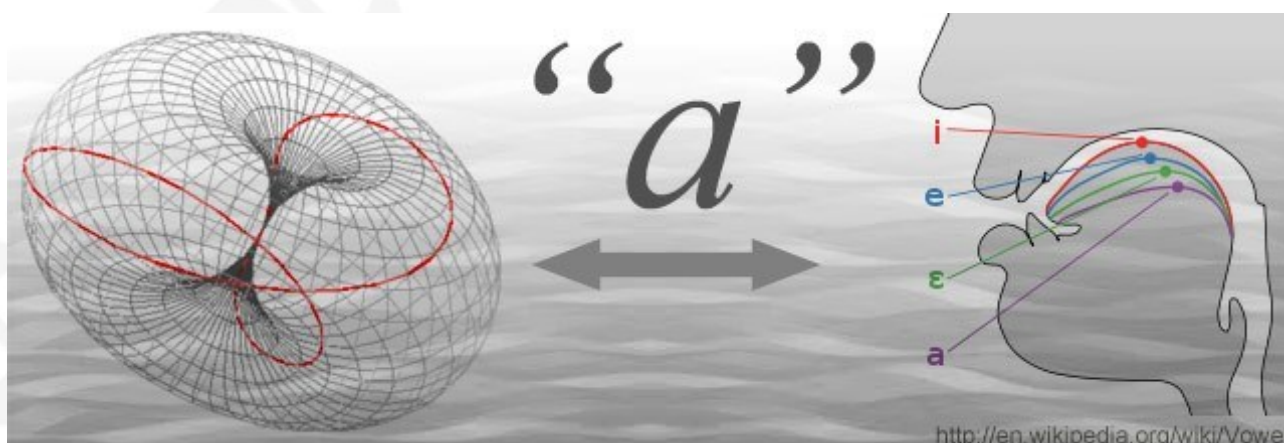
<http://nl.wikipedia.org/wiki/Formant>

La liste des dix premières vocalisations en termes de fréquence est présentée ci-dessous.

Vowel (IPA)	F1 (apprx.)	F2 (apprx.)	English	German	Dutch
ɑ	860	1216	spa	Tag (day)	bad (bath)
ɔ	630	891	bore	-	-
o	412	824	row	Kohl (cabbage)	kool (cabbage)
u	278	681	boot	Fuß (foot)	voet (foot)
ɛ	765	1874	bed	Bett (bed)	bed (bed)
ə	572	1401	fur	bitte (please)	-
ə	390	1351	bird (Aus.)	-	deuk (dent)
ü	254	1391	euphoria	für (for)	buur (neighbour)
e	400	2191	play (N.Am.)	Seele (soul)	vreemd (strange)
i	285	2704	free	Ziel (goal)	biet (beet)



<http://www.ncvs.org/ncvs/tutorials/voiceprod/tutorial/filter.html>



<http://en.wikipedia.org/wiki/Vowel>

Les valeurs de F1 et F2 ont été correctement représentées pour obtenir des formes toroïdales précises. Ces toroïdes ont un axe de rotation dans l'espace et l'ensemble du système forme un système résonnant.<http://science.trigunamedia.com/geosound/>  
Le résultat fondamental de cette recherche que tout le monde peut seulement tester,

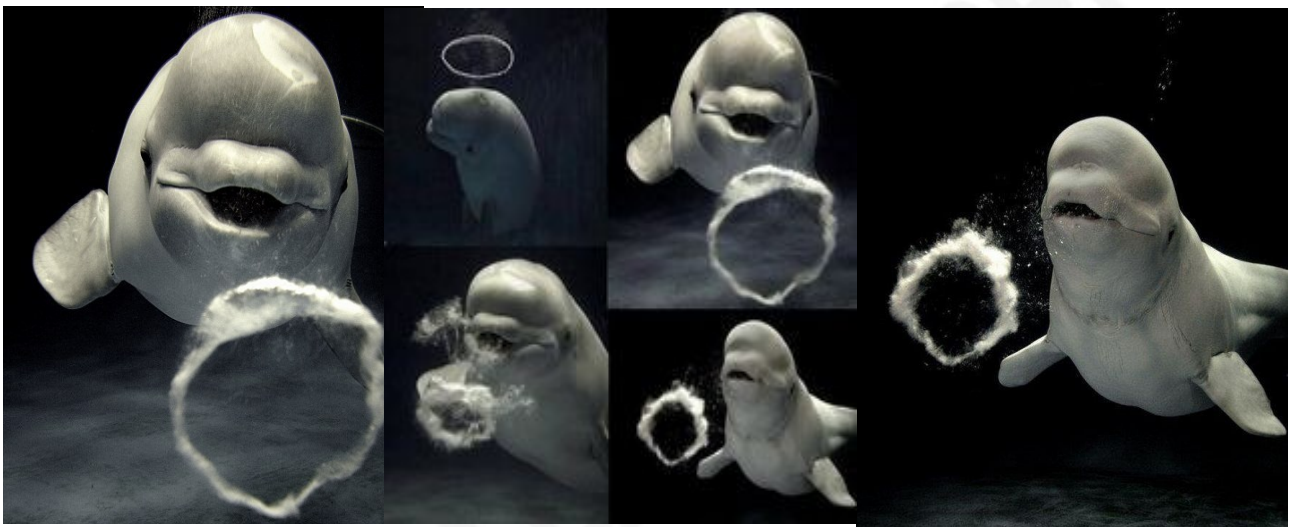
en utilisant un logiciel gratuit téléchargeable (<http://www.fon.hum.uva.nl/praat/>), conclut que ce n'est pas tant le sens du mot en soi, qui apporte de l'information, mais qui est plus profondément lié au type de géométrie de surface toroïdale qui constitue l'onde résonante avec les deux formateurs F1 et F2.

En termes plus simples, la communication orale serait conçue et comprise par le cerveau, en tant que lecteur de virtualité, en tant qu'analyseur de surface toroïde de la communication elle-même. De ce point de vue, peu importe la façon dont parle la langue; Si les sons archétypiques sont utilisés, ils seront compris par tous, qu'il s'agisse d'hommes, d'extraterrestres, d'animaux ou autrement.

Vous pouvez essayer de transmettre des informations à un chat, par exemple, qui comprend le son de la voix et non ce qui est dit et, de même, vice versa, nous arrive quand on écoute un chat. Le toroïde est analysé par le cerveau et reconnu en transformant la forme d'onde toroïdale "spinning" en l'information correspondante.

Si vous pouviez transférer des informations toroïdales sur le cerveau humain sans le téléphoner, vous obtiendriez le même résultat en ajoutant que toute langue que vous utilisez inclura toujours la même chose.

Que la forme d'onde qui émet notre cavité buccale prend l'identité géométrique d'un toroïde est également apparente dans le jeu que les dauphins font avec des bulles d'air.



Tout comme un fumeur aime avoir les mêmes résultats avec un nuage de fumée de cigarette

#### **D'autres observations sur les phénomènes et les toroïdes ufo paranormaux.**

Nous devons encore observer des relations intéressantes entre l'observation des phénomènes UFO tels que l'analyse photo d'objets volants non identifiés et l'observation d'objets en mouvement dans des expériences de téléciné signalées dans la littérature.

Nous découvrirons qu'à la fin de ce voyage, toutes les données accumulées jusqu'ici nous permettront d'obtenir des conclusions absolument intéressantes sur le passage



de l'information et l'utilisation que nous pouvons faire de tout, en particulier de la conscience humaine.

Commençons par analyser certaines photos prises par diverses archives, des représentants hypothétiques d'UFO volant dans notre atmosphère. <http://www.treurniet.ca/physics/>. Le Dr Stoyan Sarg, de l'Université York, à Toronto, a développé des théories intéressantes sur la physique moderne et les aspects quantiques.

En particulier, il a également analysé de nombreuses photos d'objets volants non identifiés (UFO) et a découvert que des formes toroïdales sont formées près de l'objet.

Voici quelques exemples donnés dans les articles publiés par ce scientifique. (Réunion annuelle de la Society for Scientific Exploration, 2007, <http://www.helical-structures.org/first-motion-exp.htm>).

Nous n'incluons que certaines des images analysées par Stoyan Sarg, mais dans son site, nous pouvons analyser des dizaines de cas qui ont tous le même effet

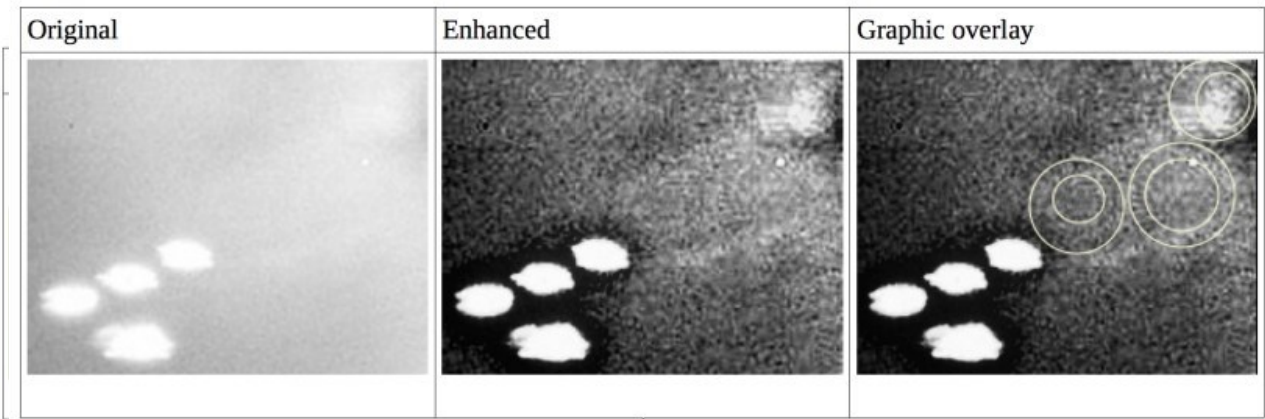
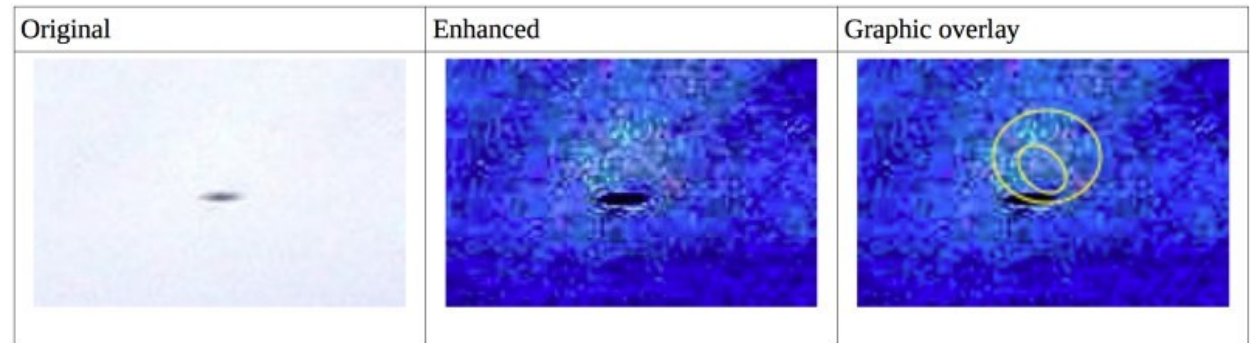


Figure 1. UFOs from Project Blue Book Case No. 1501, [Salem](#), 1952



Figure 9. Light refraction near a UFO over [South Dakota](#), 2010



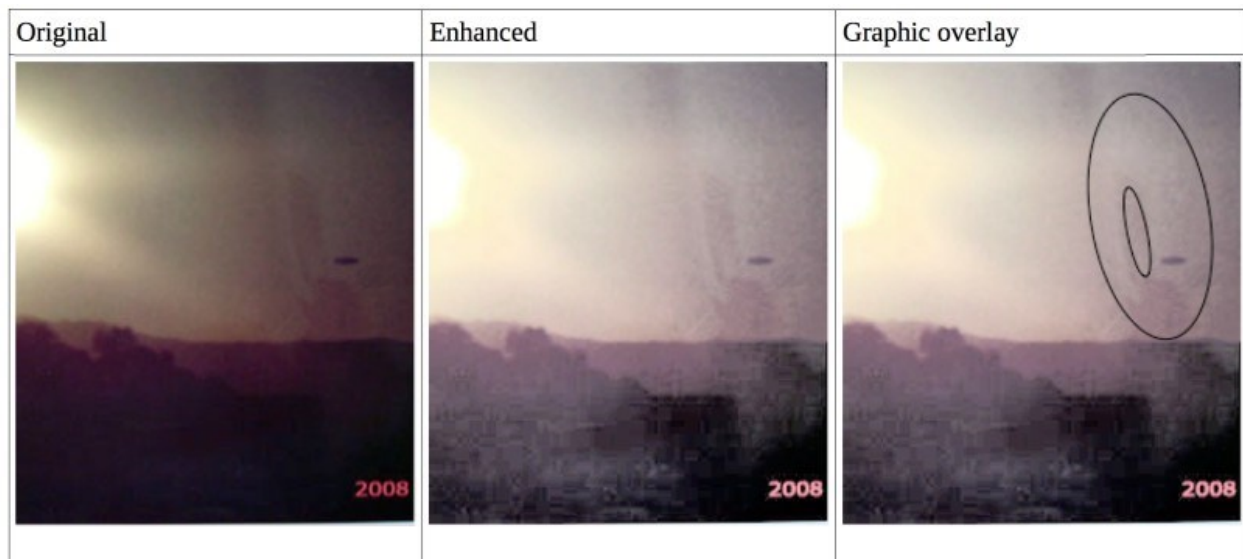
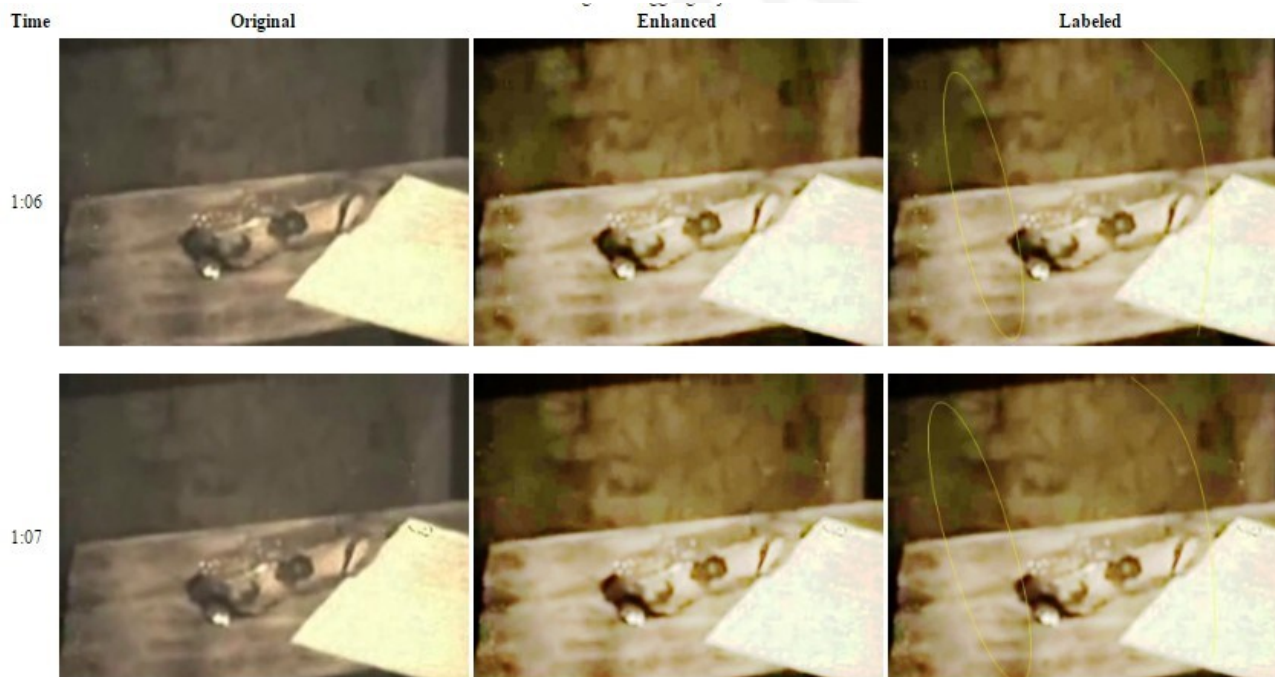


Figure 4. UFO over [North Canterbury](#), NZ, 2008

Mais n'est pas suffisant

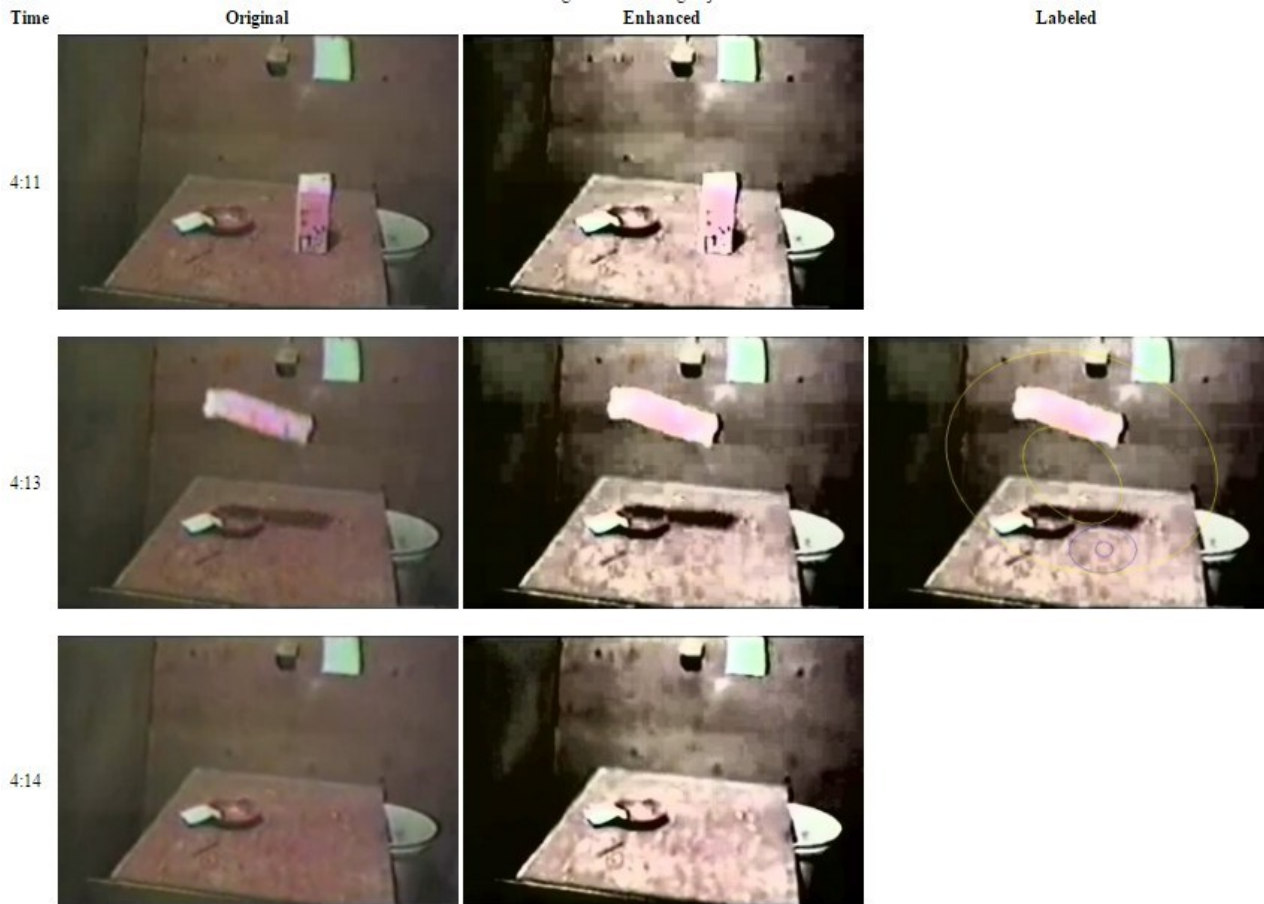
Parallèlement à ce phénomène intrigant, nous devons également associer des photos de certains phénomènes de télétexte, signalés par le réseau, où l'on la



force de champs électromagnétiques forts. <http://www.treurniet.ca/physics/hutch.htm>. En particulier, il est intéressant d'étudier l'effet Hutchison.

Ce monsieur a découvert une série de phénomènes

(<http://www.treurniet.ca/physics/hutch.htm>.) Lié aux champs électromagnétiques de Tesla et a découvert que les ondes électromagnétiques pouvaient porter des objets. Dans ces circonstances, les photos prises au cours des expériences ont montré la même forme de toroïdes que l'on a vu lors des phénomènes UFO.



Il est important de souligner comment un objet qui se transforme en réalité virtuelle représente l'information, un sprite, dirait des experts informatiques, qui passent d'une zone de mémoire informatique à une autre, et ce changement d'information dépend de quelque chose qui semble être lié à une forme toroïdale.

Les photos sont prises quelques dixièmes de seconde l'une de l'autre et montrent un morceau de métal qui, sous le champ électromagnétique solide, se propage. On peut remarquer qu'à un certain moment, une forme ou plus de formes toroïdales sont visibles, comme si elles étaient superposées au film photographique.

### **Le principe de transmission de l'information dans l'espace-temps.**

Il est nécessaire de comprendre comment l'information n'est rien d'autre que quelque chose lié à la perception de l'univers. Les domaines de l'univers de faible sensibilisation entrent en contact avec des domaines universels avec une plus grande sensibilisation et une expansion. Le processus d'expansion ne doit pas être interprété comme une augmentation de la conscience ou plutôt de l'entropie qui lui est liée, car à la fin, l'entropie ne peut pas augmenter mais globalement reste constante.

Rappelons que, dans notre demi-univers, la conscience n'est pas la conscience, c'est-à-dire la différence d'entropie entre un moment et l'autre, puisque l'entropie



absolue est toujours nulle

Par conséquent, l'expansion de l'information ne correspond pas à une augmentation de l'entropie, mais à une propagation de soi-même, qui, comme une onde se propage dans l'univers. Tout cela correspond à un refroidissement de la température globale de l'univers puisque le zéro absolu aura une prise de conscience totale.

La relation entre l'énergie et l'entropie de la température est:

$$\Delta E / \Delta S = T_{\text{uni}}$$

où  $T_{\text{uni}}$  est la température unitaire du processus pour une énergie minimale et une entropie potentielle qui, en termes d'évolution, valent respectivement 1,23 et 21. En multipliant les premier et deuxième termes pour la température absolue de 273.17 Kelvin, vous obtenez:

$$(\Delta E / \Delta S) T_{\text{ass}} = T_{\text{uni}} \times T_{\text{ass}} \text{ c'est-à-dire } (1.23/21) 273.17 = 16$$
$$\Delta E = 16 \Delta S / T_{\text{ass}}$$

puisque l'énergie est donnée par la formule de Boltzmann, où  $K_b$  est l'homonyme constant qu'il a

$$E = 3/2 (K_b) T_{\text{uni}} = 16 \times 21 / T_{\text{ass}} K_b T_u T_{\text{ass}} = P V = 2/3 \times 16 \times 21 = 224$$

et puisque  $T_{\text{uni}}$  est égal à 1, il est obtenu par la loi de Boyle des gaz parfaits  $P V = K T$  la valeur de 224 représentant 22,4 litres fatale aux conditions standard, dont le volume occupe un gaz idéal à la pression unitaire, à 25 degrés, en considérant une mole. [https://it.wikipedia.org/wiki/Legge\\_di\\_Boyle-Mariotte](https://it.wikipedia.org/wiki/Legge_di_Boyle-Mariotte), Dans ce contexte, le  $T_{\text{ass}}$  représente un facteur de conversion qui contient les unités de mesure puisque tous les nombres d'Evideon seraient adimensionnels. ( $T_{\text{uni}}$  compris).

Encore une fois, les nombres évidéones correspondent aux valeurs numériques des constantes principales de la physique et on comprend comment la température, influençant l'énergie du système, affecte également l'information thermodynamique du système lui-même.

### Lo Zero Point Energy (ZPE)

La thermodynamique et la physique, nous interdisent d'extraire l'énergie de rien. Donc, toutes les machines qui produiraient de l'énergie de nulle part en feraient quelque part.

Beaucoup de machines de ce genre annoncées sur le net semblent faire de bonnes choses, mais quand elles vont construire, il y a toujours quelque chose qui interdit leur fonctionnement. Surtout, il existe une théorie entièrement nécessaire pour comprendre le fonctionnement et, comme nous le savons tous, lorsqu'il n'y a pas de théorie décrivant un phénomène, la science officielle a tendance à dire que le phénomène n'existe pas. C'est parce que les scientifiques de forme moderne forment des mentes que le phénomène et la formule qui le décrivent sont les mêmes, néglige souvent qui produit le phénomène qui pour nous est la véritable cause et effet du phénomène lui-même. Il n'y a aucun phénomène à moins qu'il n'y ait une volonté qui l'a produite. De même, le médecin italien parle avec la maladie, mais pas avec la personne malade qui, selon la médecine italienne, n'existe pratiquement pas, alors qu'elle est à la fois la cause et l'effet de la maladie: c'est la maladie elle-même

La théorie de la ZPE, prédit que rien et tout est pareil, prévoit que si la matière et l'antimatière coexistent ensemble, il n'y a pas d'effet apparent. Dans ce contexte, comme nous l'avons souligné dans Evideon 3 (une publication antérieure du même auteur) pour penser en termes de ZPE, cela signifie d'une part de détruire l'existence



du principe de l'indéfinition de Heisenberg et, d'autre part, d'admettre que l'univers est un double hologramme, comme l'admet la théorie évideon.

Ainsi, l'univers serait plein de particules virtuelles qui sont créées et anéanties dans une mer quantique d'Evideons en formation et en anéantissement.

Il serait hautement probable que tout cela soit à la base du rayonnement sous-jacent de l'univers et non d'un Big Bang cosmique qui n'a probablement jamais existé, allant à l'encontre de toutes les règles de la thermodynamique (déjà, mais alors les lois de la physique n'existaient pas encore vous ne pourriez même pas les observer: la science actuelle en tente d'expliquer l'absurdité d'un Big Bang: NdA).

Il existe donc des prototypes, voire plus, des brevets pour l'énergie gratuite

d'énergie libre, selon laquelle, l'énergie sans frais, proviendrait d'un trou spatiotemporel.

Il convient de souligner que l'énergie est liée à l'entropie et, à son tour, à l'information, donc aucune énergie ne peut en être extraite car l'entropie l'aurait a male.

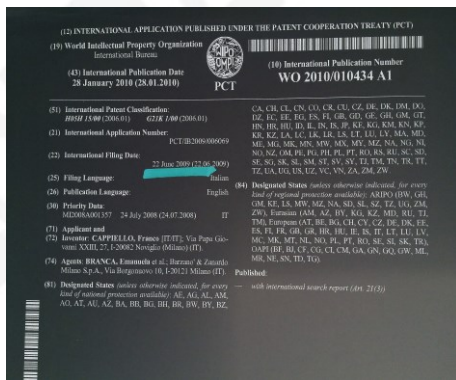
### **L histoire de Pelizza, Majorana et la machine pour nettoyer la planète.**

Nous avons attiré notre attention sur certains de ces projets afin de vérifier leur faisabilité. Le premier projet / brevet que nous avons analysé est lié à une histoire fascinante et incroyable.

Par une histoire rocambol, M. Rolando Pelizza (<http://www.rinodistefano.com/en/documents/pianis-costruzione-macchina-pelizza.php>) auraient connu il y a de nombreuses années dans un couvent du sud de l'Italie, Ettore Majorana , et il aurait les premiers plans pour construire une machine qui pourrait, selon Pelizza, résoudre les problèmes du monde. <http://www.ilgiornale.it/news/politica/majorana-visse-convento-sud-italia-ecco-prove-1116241.html>

Les plans de cette machine ont récemment été rendus publics. La voiture au cours des dernières années sera testée par des experts des gouvernements italien et américain. À partir des longues chroniques qui peuvent être trouvées sur Internet, de toute cette nébuleuse d'histoire, vous pouvez obtenir un point fixe. La machine semble fonctionner et à l'appui de cela, il y a des témoignages de certains agents du Service secret italien chargé d'analyser le projet, aux côtés des témoignages de certains exposants de l'Université, sans compter quelques collaborateurs de Pelizza qui y ont été exposés, par des entretiens publics. Nous avons également pu analyser d'autres personnages de cette histoire qui n'ont jamais été exposés, mais nous savons qu'ils ont collaboré activement avec Pelizza pour tenter de construire des prototypes de cette machine. La machine a semblé avoir des problèmes liés au fait qu'elle ne pouvait être utilisée qu'une fois, l'énergie qui l'a développée a détruit la machine elle-même, qui ne pouvait plus être réutilisée en tant que telle. Ensuite, il semble avoir atteint un niveau de perfection que ce problème serait résolu. La machine doit fonctionner dans un environnement aseptique, disons si elle est mieux placée dans une grotte (informations privées) pour des problèmes de "blindage". Pelizza s'opposerait toujours à coopérer avec des puissances étrangères pour le développement du projet, car les forces impliquées dans les intérêts politiques, militaires, économiques et privés ne garantissent pas le désir de Pelizza et Majorana d'utiliser la machine sans but mais seulement pour nettoyer la planète contre les ordures et la pollution, ce qui la détruit.

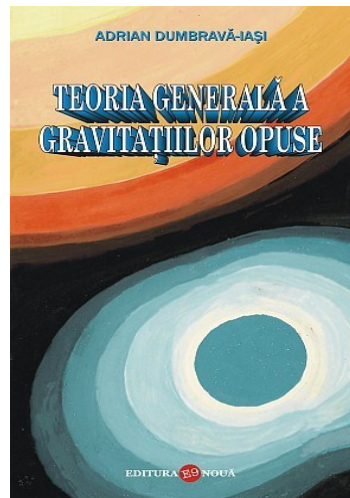
De toute cette affaire médiatique, le journaliste Rino Di Stefano a été occupé en Italie pour avoir écrit un livre sur l'histoire de Pier Fortunato Zanfretta, un métronome de Genova, a admis les nouvelles du monde, pour avoir déclaré qu'il avait été kidnappé par des étrangers il y a plusieurs années à Gênes.



Tout au long de cette histoire, nous verrons dans un instant que les extraterrestres sortent de partout. Dans l'intervalle, Pelizza soutient que, dans la recherche d'autres fonds pour compléter son projet, elle rencontre un personnage collaboratif. C'est un certain Franco Cappiello, qui présente ce prototype lors de la conférence sur l'énergie gratuite de Grottammare: nous sommes en 2012. Mais le 22 juin 2009, Franco Cappiello a lui-même enregistré le nom du brevet de Pelizza.

Au-delà de cela, car il est entre les mains de Cappiello ce brevet, un problème pour lequel je me réfère aux déclarations de Pelizza lui-même, il convient de noter que ce Cappiello est un personnage connu de l'ufologie contemporaine pour être l'éditeur d'Acacia Edizioni, qui est également l'éditeur du National Uphological Center et appartenant, en tant que membre éminent, à la franc-maçonnerie italienne

<https://alienabductionsblog.files.wordpress.com/2014/04/lufologia-italiana-alle-soglie-del-2009.pdf>



L'étude de ce projet conduit à la conclusion que ce brevet ne pouvait pas être breveté car il va à l'encontre d'une règle fondamentale de la physique moderne. Le brevet insiste sur l'idée de créer un ZPE à partir duquel le matériau et l'antimatière seront divisés, en réorientant le spin de ce dernier, en créant un déséquilibre entre la matière et l'antimatière.

Malheureusement, il est bien connu que le phénomène du démantèlement ne peut se produire (<https://arxiv.org/pdf/quant-ph/0310023>)

car cela va à l'encontre de certains principes de la thermodynamique car le second

principe puisque l'entropie dans cet instant hypothétique diminuerait en créant une dissimilation dans les particules subatomiques.

Mais le 23 avril 2009, un autre livre a été déposé sous le titre de Théorie de la gravitation générale contre-marine, rédigé par un Curcan Adrian Romanian, ainsi nommé dans un blog italien

(<http://www.energeticambiente.it/apparati-immobili/14719578-dispositivo-ad-antimateria.html>), mais qui répond réellement à un autre nom et décrit une machine qui est totalement identique à celle décrite par Pelizza et signalée dans le brevet de Capiello

(<http://brandalert.ro/m-2009-03253-teoria-general-a-gravitatiilor-opuse/> )

N'est-il pas étrange que Capiello enregistre un brevet à quelques jours de l'enregistrement de la publication roumaine, puisque les deux notes parlent absolument de la même chose? Dans tous les cas, tous ceux-ci ne nous intéressent pas alors que nous nous soucions de l'opération ou des principes de fonctionnement de cette machine. À partir des traces traçables du réseau et de l'analyse du brevet pour un autre incohérent, il semble que la machine devrait fonctionner en créant un point où la matière et l'anti-matière sont séparés. Puis, tirant l'antimatière sur le sujet, il anéantira avec la libération de grandes quantités d'énergie. La machine changerait également les éléments avec des réactions atomiques évidentes, mais elles n'entraîneraient pas de rayonnement, ce qui est certainement improbable. Une autre particularité de la machine semble être de sélectionner le matériau à anéantir. Si, par exemple, une pièce en plastique est introduite dans le noyau de la machine, puis la direction de la machine est dirigée à travers une plaque d'acier, elle ne sera pas touchée, mais le plastique derrière l'acier l'interférera et l'anéantira. C'est aussi le contenu de certaines vidéos sur le Web, qui décrivent cette particularité. L'analyse de cette machine et le brevet nous font comprendre certaines choses. Quiconque a breveté n'a aucune connaissance de la physique moderne, mais fait référence à de vieux concepts de physique obsolète décrits en termes simples..

Par exemple, le champ gravitationnel statique (gravité conventionnelle, également appelé gravitation par analogie);

- **Et c'est le champ électrique;**
- **B<sub>g</sub> est le champ gravitomagnétique;**
- **B est le champ magnétique;**
- **$\rho$  est la densité de masse;**
- **$\rho_{em}$  est la densité de charge;**
- **J est la densité de masse ( $J = \rho v_p$ , où  $v_p$  est la vitesse du flux massique générant le champ gravitomagnétique);**
- **$J_{em}$  est la densité de courant électrique;**
- **G est la constante gravitationnelle;**
- **$\epsilon_0$  est la permittivité du vide;**
- **c est la vitesse de propagation de la gravité (égale à la vitesse de la lumière dans la relativité générale).**

La machine est censée convoquer la théorie GEM de la matière, c'est-à-dire une théorie intéressante pour laquelle les équations Maxwell initiales seraient modifiées pour tenir compte de la gravitation.

Pour cette théorie, un objet tournant autour d'un axe crée un champ gravitationnel autour de cet axe et c'est pourquoi dans la conception de la machine Pelizza, deux balles tournées de mercure liquide sont tournées autour de deux axes à quatre-vingt dix classés parmi eux. Les deux masses rotatives devraient fournir la contribution gravitationnelle et antigravitation qui, en tant que vecteur nul, atteindrait un point particulier de la machine. Le brevet si elle semble bon de dire qu'il ya deux autres contributions de vecteurs qui sont des champs électromagnétiques liés aux moteurs qui font tourner les boules de mercure et qui produirait certainement au même point dans lequel un champ gravitationnel est produit zéro, même un champ électromagnétique nul. Un vrai ZPE convenablement masqué par la mauvaise écriture du brevet qui décrit une machine qui, comme elle est faite, non seulement ne peut pas fonctionner, mais au plus, elle fera d'autres choses.

*"Les considérations gravitomagnétiques prévoient également une masse toroïdale fluide ou flexible soumis à une rotation (rotation de "anneau de fumée") de l'axe mineur tendra à extraire la matière de préférence par la gorge (un cas d'effet de glissement rotatif agissant par la gorge). En théorie, cette configuration pourrait être utilisée pour accélérer les objets (à travers la gorge), sans qu'ils ne subissent aucune force.*

<https://it.wikipedia.org/wiki/Gravitomagnetismo>.

Donc, il est exprimé en wikipedia dans cette dernière phrase, il y a quelques concepts dont nous aurons besoin ici prochainement.

## **Le Particules de Majorana**

Nous ne pouvons pas aborder le problème de la corrélation de Pelizza Majorana, car cela nous mettra hors de question, mais nous analyserons seulement les possibilités scientifiques que le travail de Majorana pourrait effectivement conduire à une contribution utile à la construction d'un ZPE.

Majorana a étudié principalement les neutrinos et a affirmé qu'ils, ainsi que les photons, avaient la particularité d'avoir aucune masse et pour cette raison, leur antiparticule était totalement identique à la particule.

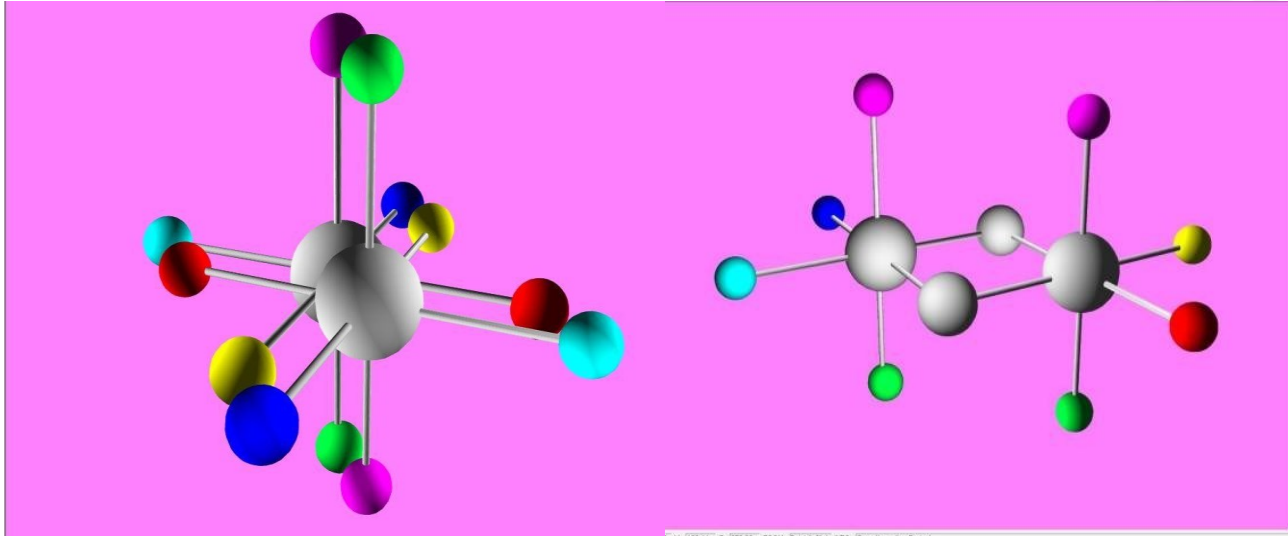
Ces neutrinos ont appelé les particules de Majorane, car sans antiparticules, ils ont pleuré contre la théorie de Planck, qui a plutôt affirmé que les neutrinos devraient avoir une masse minimale.

Qui avait raison? Selon la théorie d'Evideon, ils avaient raison tous les deux. Nous analysons la nature du neutrino Majorana car il serait décrit par l'univers évideon. Le neutrino est une leptone et, en tant que tel, construit en un photon et un anti-photon qui, selon la manière dont ils sont à double liaison, laissent un axe libre (voir Evideon, du même auteur).

Et le photon et l'antifotone se lient en utilisant les couleurs et les anti-couleurs du plan espace-temps, laissant les axes d'énergie inchangés.

Ce neutrino aurait la caractéristique, ayant l'axe de l'énergie libre, d'interconvenir dans son antiparticule, de la même manière que le photon, en l'interconnectant dans son anti-photon.

D'autres types de leptons peuvent ne pas avoir cette fonctionnalité, car si l'axe de l'énergie est bloqué dans la liaison anti-photon, l'autre axe spatial ou temporel, qui reste libre d'interaction, est fixé car dans le photon et l'antifotone de celui-ci L'univers, seul l'axe de l'énergie peut changer de longueur.



Donc, le neutrino aurait un anti-neutrino, mais la conversion entre ces deux serait très rapide et parfois le neutrino se manifesterait comme une masse faible. Le neutrino est la particule qui est d'abord formée par la transformation d'un Evidéon en détachant et en tournant les deux composants photoniques et anti-photoniques

Si la machine de Pelizza travaillait, elle produirait des neutrinos et des anti-neutrons qui s'interconnecteraient. Probablement, les neutrons à faible énergie retourneraient à la mer des particules virtuelles en réformant Evidéons, tandis que les neutrons à haute énergie seraient caractérisés par une interaction négative des couleurs et se diviseraient, ce qui donnerait naissance à un photon et un anti-photon qui s'emboîtraient entre eux. Il y aurait deux flux spéculatifs de lumière et d'anti lumière avec des phénomènes temporels intéressants (rappelez-vous que les anti-photons remontent dans le temps, apportant avec eux les informations connexes).

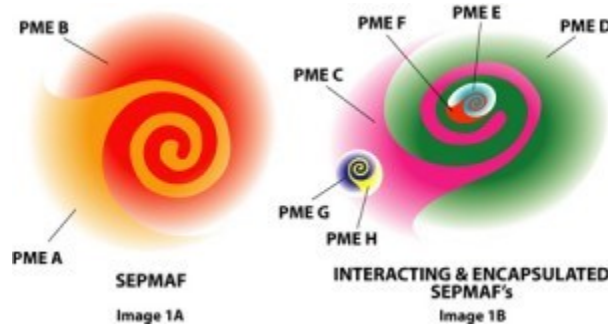
D'une telle voiture, selon l'écrivain, il est difficile d'obtenir un rayon photonique ou anti-photonique là-bas parce que tout cela tend à rester dans la voiture (le bluff pathétique sur ce point). Pour obtenir le ZPE hors de l'énergie en développement, il faut «souffler d'une manière quelconque»: et nous verrons qu'il est possible avec un maquillage trivial.

Mais avant d'expliquer comment exécuter un périphérique qui crée un ZPE, nous devons encore comprendre certaines choses.

### **La machine de Keshe.**

Comme celle de Pelizza, celle de Keshe est basée sur les mêmes principes identiques, en faisant la même chose, en servant, dit Keshe, pour obtenir un monde plus propre

et détruire les ordures que l'homme a créées jusqu'ici, avec la différence que Dans les sphères tournantes, au lieu de transformer le mercure, on utilise un gaz noble. L'ingénieur émet l'hypothèse que l'interaction d'un double champ magnétique est à la base des effets gravitationnels des étoiles et des planètes, et sur Terre. Ces champs magnétiques doubles déterminent également les interactions entre et à l'intérieur des atomes.



Cette hypothèse est basée sur la nouvelle compréhension que la création de l'univers est créée sur l'interaction entre l'énergie du plasma magnétique (PME), qui interagissent avec des champs de plasma "enchevêtrés" spécifiques (SEPMAF). Ces SEPMAF représentent les énergies que nous appelons les particules fondamentales, et ils peuvent se regrouper pour former de grands complexes comme les atomes et les molécules. <http://www.dvclub.info/keshe-la-nuova-energia-pulita/>.

La Fondation Keshe libère également le contenu des brevets des machines, mais Pelizza est également une base pour le même but. Mais la chose la plus troublante qui rejoint Keshe à Pelizza et probablement Adrian Curcan (dont nous ne savons vraiment rien), c'est qu'ils **sont des sujets qui sont soumis à des interférences extraterrestres**. Infatti fonti confidenziali, ci hanno informato che questi soggetti hanno, una o più entità "aliene" che gli suggeriscono come portare avanti il progetto.

Et encore, les extraterrestres apparaissent derrière le ZPE.

Edgar Mitchell, un grand ami de John Podesta, conseiller à son tour devant Obama et ensuite Clinton, dans un courrier adressé à son ami, intercepté par un Hacker, a déclaré : <http://www.ilnavigatorecurioso.it/2017/01/11/alieni-buoni-energia-di-punto-zero-e-vaticano-nelle-mail-del-braccio-destro-di-hillary-clinton/>.

*"Cher John, je sais que vous êtes sur le point de quitter l'administration Obama. Nous devons absolument prendre rendez-vous pour discuter de l'ouverture des archives et de l'énergie Zero Point. Il y aura également mon confrère Terri Mansfield, pour vous informer de ce qu'ils savent du Vatican sur les extraterrestres.*

Mais il y a quelques mois, il a écrit:

*« Cher John, puisque la course des armements spatiaux devient plus chaude, j'ai l'obligation de vous informer de certaines choses. Rappelez-vous, nos extraterrestres non-violents de l'univers proche nous aident à apporter Zero Point Energy to Earth. Ils ne toléreront aucune forme de violence militaire, sur Terre ou dans l'espace »*

C'est ainsi que s'exprime l'ex-astronaute en racontant des amis étrangers d'Américains et d'autres non-amis. Est-il également mentionné à une race qui est



d'un autre univers, l'univers de l'antimatière se penche-t-il sur le cas? (N.d.A.). Par conséquent, ces machines sous la répression mentale pour servir l'humanité serviraient réellement l'univers ancien étranger à attirer définitivement sur cela, à travers un processus qui changerait leur structure moléculaire et subatomique, c'est-à-dire essentiellement l'image spéculaire.

### *L'Agenda*

de ces extraterrestres impliquerait donc de faire divers adjectifs de non-connaissance dans différentes parties du monde en confiant de petites variations d'un seul projet, afin d'être plus susceptibles que quelqu'un puisse manipuler la question de manière correcte et atteindre le résultat final attendu. De toute évidence, cette typologie étrangère ne peut pas travailler seul sur le sujet directement et a besoin de quelqu'un de cette partie de l'univers pour le faire pour lui. Ce ne peut pas être un autre type d'étranger qui n'aurait aucun intérêt à partager une technologie dont il possède déjà, car il n'aurait pas l'intention de diviser davantage le «gâteau» représenté par les êtres humains, comme nous devons essayer avec l'ancien et maintenant des recherches obsolètes qui, en utilisant des techniques hypnotiques, visaient à comprendre les buts des extraterrestres sur cette planète.

Pour revenir brièvement pour parler de ce problème, il suffit de comprendre que derrière ces recherches il y a quelque chose qui ne va pas. Cependant, nous utiliserons ces idées pour construire un véritable ZPE: comme ce qui a probablement utilisé les extraterrestres de ce semi-univers depuis un certain temps, comme nous le verrons en quelques pages. Mais comme d'habitude, il est à noter que lorsque nous parlons d'extraterrestres, nous sommes obligés de mettre la main sur le repas avec des problèmes d'adduction, de la maçonnerie, des puissances fortes, des églises diverses, des services secrets collusifs avec la franc-maçonnerie et avec ufologues d'état.

### **Le cerveau est le ZPE**

Nos observations commencent à partir du point suivant:

si l'univers n'est pas local, c'est-à-dire qu'il n'y a pas d'espace, de temps et d'énergie, mais tout est en fait à un moment donné, le générateur de toute réalité virtuelle à son maximum comme le temps et l'espace de Planck, cela signifie que l'univers non-local consiste en un seul point.

Notre cerveau, en tant que lecteur d'hologramme, est à ce stade la taille d'un univers. Nous, dans cet univers virtuel et construits par nos esprits, ne réalisons pas que deux points acquis au hasard dans l'univers devraient en fait être des projections holographiques d'un seul point existant que nous appellerons le point Planck ou le point zéro ( PZ). Mais si tout cela est vrai, et la physique quantique moderne, selon l'inégalité de Bell, la théorie de Bohm, Pribram, Kosslin et Aspect le confirment, nous pouvons être conscients de ce fait et essayer de comprendre comment voir dans les deux points pris au hasard, le même point.

Tout cela peut être facilement réalisé si on prend en compte le caractère holographique de l'univers. Les trois paramètres de l'holographie dans ce cas particulier sont l'espace, le temps et l'énergie. Ces trois coordonnées évidées assument, dans la virtualité, des valeurs fictives et imaginaires. Donc, si deux points de cette virtualité devaient être réalisés, caractérisés par les mêmes coordonnées holographiques de l'espace d'énergie temporelle, ces deux points seraient au même point.

## **Concept d'égalité d'identité et de chevauchement.**

Mais quelle est la différence entre le concept d'égalité et le concept d'identité? La question peut sembler banale, mais ce n'est pas du tout.

En mathématiques, on dit que deux équations ont un résultat égal lorsque le nombre représentant le résultat dans le premier et le deuxième cas est le même. Mais les deux équations qui ont fourni le même nombre peuvent être complètement différentes. Si les deux équations sont identiques, elles ont une fonction mathématique qui donnera pour chaque point le même résultat dans les deux cas. Dans ce contexte, les deux fonctions mathématiques sont superposables. En géométrie si j'ai un cube avec tous les différents visages colorés et j'ai un autre construit exactement de la même manière, j'ai 2 cubes égaux. Les cubes sont deux mais sont égaux. Ils ne peuvent pas se chevaucher parce que, étant faits de matière, ils ne peuvent pas pénétrer et sont donc égaux, ils nous apparaissent, mais ils occupent une coordonnée spatiotemporelle différente. Si les deux cubes pouvaient figurer et occuper, un superposé de l'autre, le même espace-temps, alors leur chevauchement produirait le fait que ces deux objets identiques deviendraient identiques. Ils sont indiscernables. Si deux choses ne peuvent être distinguées, cependant, elles sont la même chose. Il n'y aurait plus deux cubes que l'un.

<https://www.google.it/urlsa=t&rct=j&q=&esrc=s&source=web&cd=1&cad=rja&uact=8&ved=0ahUKEwizmOjsnbXTAhVGWWhoKHSqJCDcQFgggMAA&url=http%3A%2F%2Fwww.oxfordscholarship.com%2FviewByDoi%2F10.1093%2F0199278245.001.0001&usq=AFOjCNHytW1atOKZNIZiVanzHcwQh0HAvA&sig2=p-Qucq2sR4647bleLbRgxA>

Fondamentalement, la différence entre deux objets identiques et deux objets identiques est que, dans le premier cas, ils sont numériquement 2, dans le second cas, il n'y a qu'un seul objet qui fusionne les deux objets générateurs dans l'identité. Cela nous fait penser que si vous pouviez manipuler deux points apparents dans notre univers virtuel et les rendre identiques, ils seraient le même point.

Tout ce qui se passe dans l'un des deux points se produirait également dans l'autre pour le principe des équations d'ondes superposées qui peuvent décrire ces deux espaces spatio-temporelles énergiquement identiques.

Puisque l'univers est constitué d'un seul point, il n'y a qu'une seule façon de créer facilement deux points identiques. Créez deux points qui sont deux, c'est le même ZPE. Combien y a-t-il de ZPE dans l'univers? Pour les voir de l'extérieur infini, mais ayant la conscience de l'univers, on comprend comment tous ces points infinis sont exactement le même point, le seul point qui constitue l'univers.

Nous percevons, de différentes manières différentes, le soi-disant point qui nous apparaît comme des points infinis. Dunque se costruisco una *device* che sia in grado di produrre in un punto dell'universo l'annullamento di campo elettrico magnetico e gravitazionale ho ottenuto lo ZPE. Se ho due *device* identiche che producono due ZPE ecco che questi due punti sono lo stesso punto. In quel contesto se immetto una informazione nel primo ZPE essa coesisterà nei due ZPE distribuendo la sua funzione d'onda nei due ZPE, proprio come fa un fotone quando passa contemporaneamente in due fenditure per fornire le figure di interferenza (Vedi Genesi, dello stesso autore).

La construction d'un ZPE signifie la construction d'un univers virtuel miniature dans le laboratoire, c'est-à-dire la construction d'un toroïde, dans lequel les vecteurs spatiaux, l'énergie temporelle, peuvent être annulés, c'est-à-dire en dualité unifiée, deux champs électriques opposés, deux champs magnétiques opposés deux champs gravitationnels opposés. Il existe en fait des comportements qui se chevauchent entre les champs électriques et l'espace, les champs magnétiques et le temps et les

champs d'énergie potentiels et la gravité. Et voici la théorie GEM qui vous permet d'accepter tous ces paramètres avec quatre équations fondamentales. Et maintenant, nous commençons à comprendre pourquoi nous en avons déjà parlé.

### **Que pouvez-vous faire avec "deux" ZPE:**

Avoir deux dispositifs qui produisent deux ZPE, qui sont le même ZPE, signifie obtenir une oscillation de forme d'onde résonante entre ceux qui nous apparaissent virtuellement comme espace-temps de deux points mais qui

ils sont en fait identiques. Cela signifie que les informations que j'ai dans le premier ZPE sont également dans la seconde. Le déplacement de cette information qui vit dans deux points virtuels ne peut se concentrer que sur l'un d'entre eux: il suffit d'éteindre l'un des deux périphériques. A cet instant, la forme d'onde de probabilité du phénomène ne sera installée que dans l'appareil restant allumé.

Donc, l'information peut être beaucoup de sel, mais aussi un son, une lumière, même une pensée. Vous pouvez donc déplacer ou partager des pensées entre deux ZPE entre eux. Les ZPE sont toujours en phase les uns avec les autres étant que, à ce stade, la phase de tout genre n'est rien. Bien, cette expérience a déjà été faite. De toute évidence, jusqu'à présent, il manquait de soutien théorique, l'idée de la façon dont il ne fonctionne jamais, mais en fait, nous nous sommes arrêtés pour le voir fonctionner.

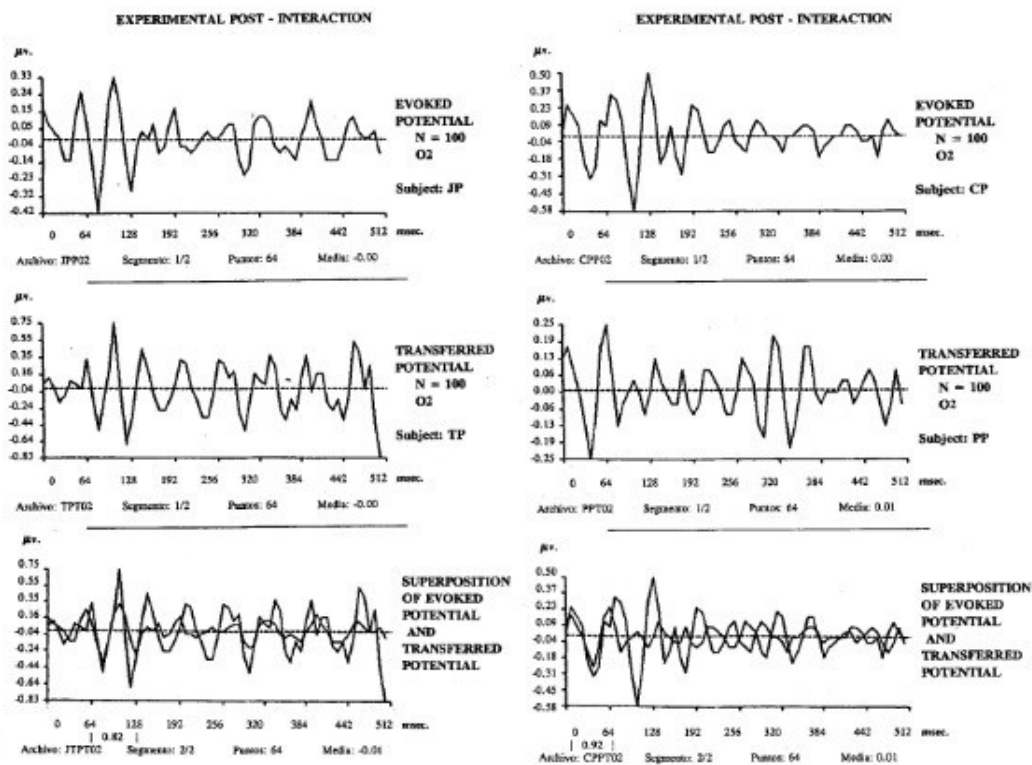
.

[https://www.google.it/url?](https://www.google.it/url?sa=t&rct=j&q=&esrc=s&source=web&cd=1&cad=rja&uact=8&ved=0ahUKEwj1spuCpLXTAhXHLhoKHYKAAzQQFggoMAA&url=http%3A%2F%2Fwww.deanradin.com%2FFOC2014%2FGrinberg1994.pdf&usq=AFOjCNGXMTs52Q-slkemAdpEQOp4GqXsqw&sig2=0mVRZHlpIozZTrJKw-6Xag)

[sa=t&rct=j&q=&esrc=s&source=web&cd=1&cad=rja&uact=8&ved=0ahUKEwj1spuCpLXTAhXHLhoKHYKAAzQQFggoMAA&url=http%3A%2F%2Fwww.deanradin.com%2FFOC2014%2FGrinberg1994.pdf&usq=AFOjCNGXMTs52Q-slkemAdpEQOp4GqXsqw&sig2=0mVRZHlpIozZTrJKw-6Xag](https://www.google.it/url?sa=t&rct=j&q=&esrc=s&source=web&cd=1&cad=rja&uact=8&ved=0ahUKEwj1spuCpLXTAhXHLhoKHYKAAzQQFggoMAA&url=http%3A%2F%2Fwww.deanradin.com%2FFOC2014%2FGrinberg1994.pdf&usq=AFOjCNGXMTs52Q-slkemAdpEQOp4GqXsqw&sig2=0mVRZHlpIozZTrJKw-6Xag)

Dans cet article, les auteurs ont deux groupes de personnes dans deux salles différentes connectées à des couples, une personne dans une pièce et une autre dans l'autre pièce, deux appareils pour enregistrer des EEG. Le premier sujet est soumis à des contraintes visuelles et auditives et enregistre l'EEG, tandis que le second ne doit être associé que mentalement au sujet en cours de stimulation. Le deuxième sujet est également enregistré auprès de l'EEG.

On constate qu'il existe des différences statistiques possibles que les deux EEG peuvent être superposés



Figures 1 (left) and 2. Figures 1 and 2 show in their upper portion the averages obtained from 100 evoked potentials. The middle portion shows the average of 100 epochs of EEG registered in Subject B synchronized to the stimuli presented to Subject A. The lower parts of the figures show both averages superimposed. These figures show the complete set of samples registered after subject interaction. The correlation index obtained in the first 132  $\mu$ s for the potentials of Fig. 1 was meaningful with  $p < 0.009$ . The same for Fig. 2 for the first 73  $\mu$ s was meaningful with  $p < 0.005$ . Note also the difference in the scales of the ordinate between the evoked and the transferred potentials.

Tout cela montre que les cerveaux étaient en quelque sorte reliés entre eux de telle sorte qu'ils pouvaient créer un ZPE dans lequel ils passaient toutes les informations qu'ils étaient en même temps dans le cerveau du destinataire de l'information et qui les a reçues. Le paradoxe de Rosen Podolsky Einstein a été vérifié à deux points de points dans le cerveau des personnes et ils ont utilisé des non-photons, mais des contraintes corporelles ou mieux, maintenant on peut dire, les ondes toroïdales contenant à leur surface, des informations écrites et lectures.

Mais où était le ZPE dans le cerveau des humains?

### Le cerveau est un toroïde.

Comment l'information circule d'un cerveau à l'autre?

Si dans un cerveau il y a un point où l'information est placée quelque part et c'est un ZPE, cette information sera disponible pour tous les ZPE qui existent dans l'univers. L'idée de scientifiques tels que Laszlo ou Sheldrake sur le fait qu'un champ morphogénétique hésite, qui relie tout et chacun aurait finalement une explication quantique plus tangible.

Deux cerveaux qui, dans certaines circonstances, produisent un état de ZPE ont la même information en eux. Vous n'avez pas vraiment besoin d'avoir un vrai ZPE où l'énergie spatiale et temporelle est annulée mais deux points où ces trois valeurs sont identiques. Ces deux points dans l'univers virtuel seraient toujours la même chose.

C'est ce qui semble se produire dans l'expérience ci-dessus.

Si nous atteignons alors un vrai ZPE, notre cerveau serait connecté à la totalité de l'univers et à ce moment-là aurait toute sa vision.

Nous avons souligné dans d'autres travaux comment obtenir ce résultat pourrait

pour être utile la simulation mentale du Triad Dynamic Flash Dynamic Test (TCTDF) (voir l'article du même auteur).

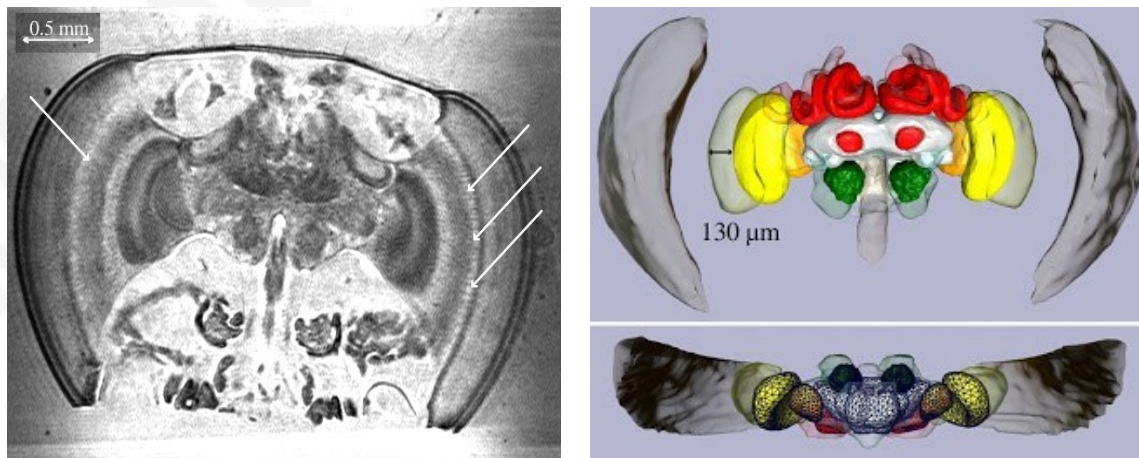
Mais d'un point de vue virtuel, nous devons comprendre comment obtenir une structure cérébrale qui peut fournir un ZPE.

Bien une branche de la nouvelle neurophysiologie, il considère que le cerveau a une structure toroïdale.

En réalité, le cerveau serait le chevauchement de trois (voir le cas .N.d.A) des structures toroïdales qui s'interpénètrent symétriquement.

Le travail le plus intéressant commence par l'analyse du faisceau cérébral et la façon dont ce cerveau peut analyser la réalité virtuelle entourant ces animaux.

Imagerie par résonance magnétique nucléaire et image du cerveau abeille



*mellifera*(<http://salviamolapemellifera-guglielmo.blogspot.it/2010/03/nmr-del-cervello-di-apis-mellifera.html>).

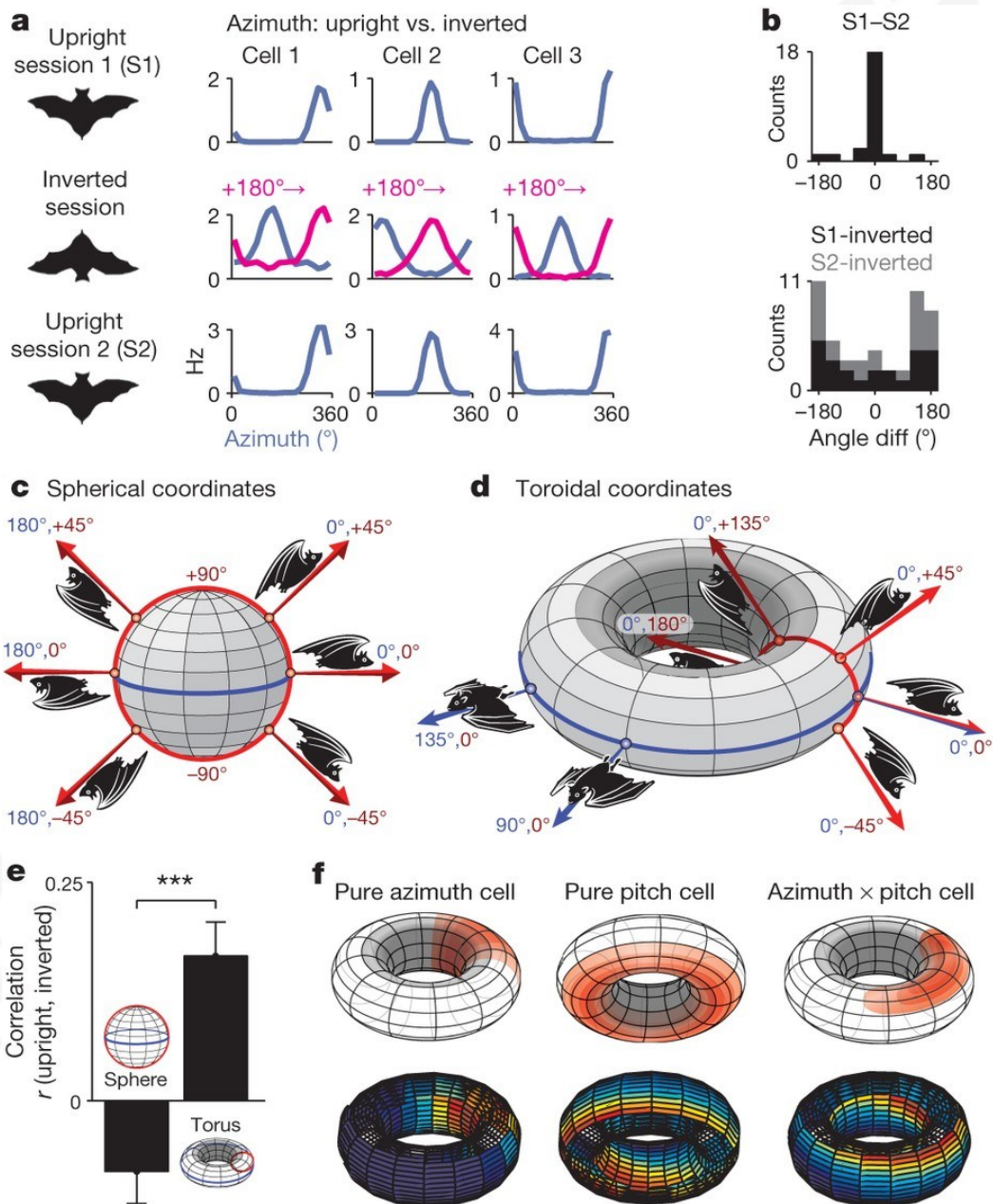
Ce ne sont plus les chauves-souris qui ont un centre de cerveau toroïdale au monde extérieur à travers ce dispositif biologique. Dans cette image, tirée de l'article publié dans Nature, Vol 517, 159, 1015, les auteurs expliquent comment le mécanisme pour lequel une chauve-souris est orientée est.

Pour l'homme, il ne semble pas que les choses changent différemment.

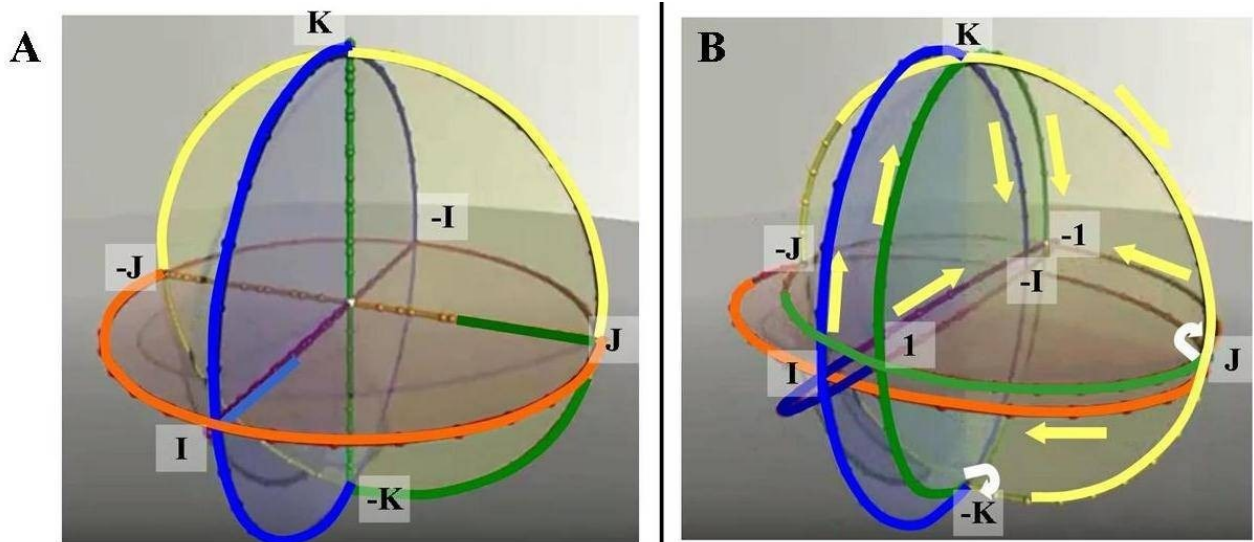
([https://www.researchgate.net/publication/285648886\\_Brain\\_activity\\_on\\_a\\_hypersphere](https://www.researchgate.net/publication/285648886_Brain_activity_on_a_hypersphere)<http://www.nature.com/nature/journal/v517/n7533/full/nature14031.html>).

Dans l'article publié par deux chercheurs de l'Université Cornell, il est à noter que le cerveau humain considère l'univers extérieur comme une hypersphère qui, essentiellement en trois dimensions, imite une surface toroïdale (voir Torus: aspects toroïdaux de l'univers évident du même auteur ).



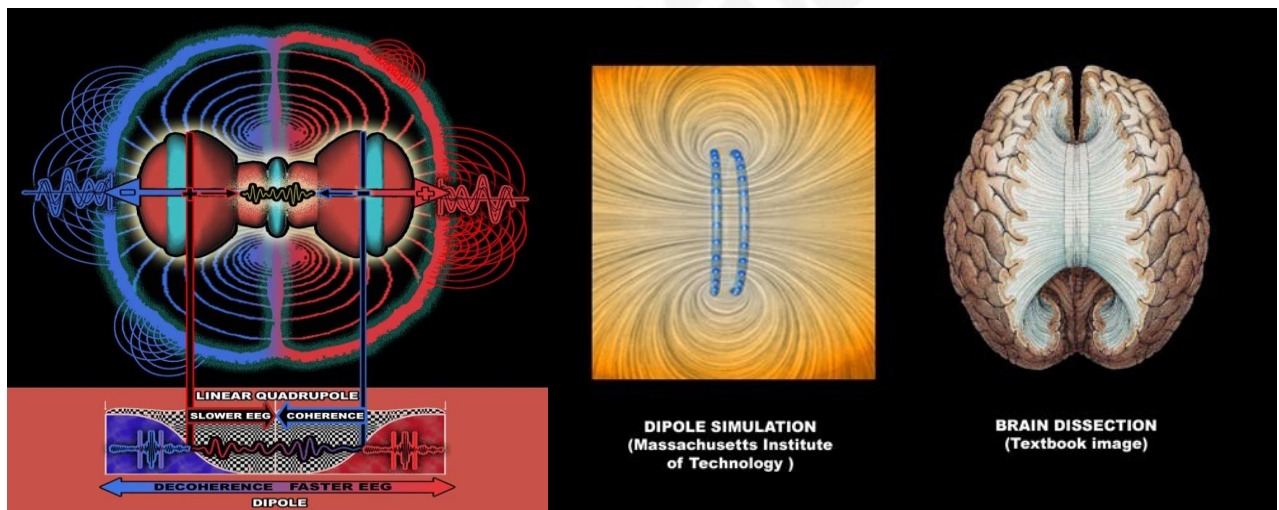






L'image que les auteurs utilisent rappelle le monde évident de manière surprenante.

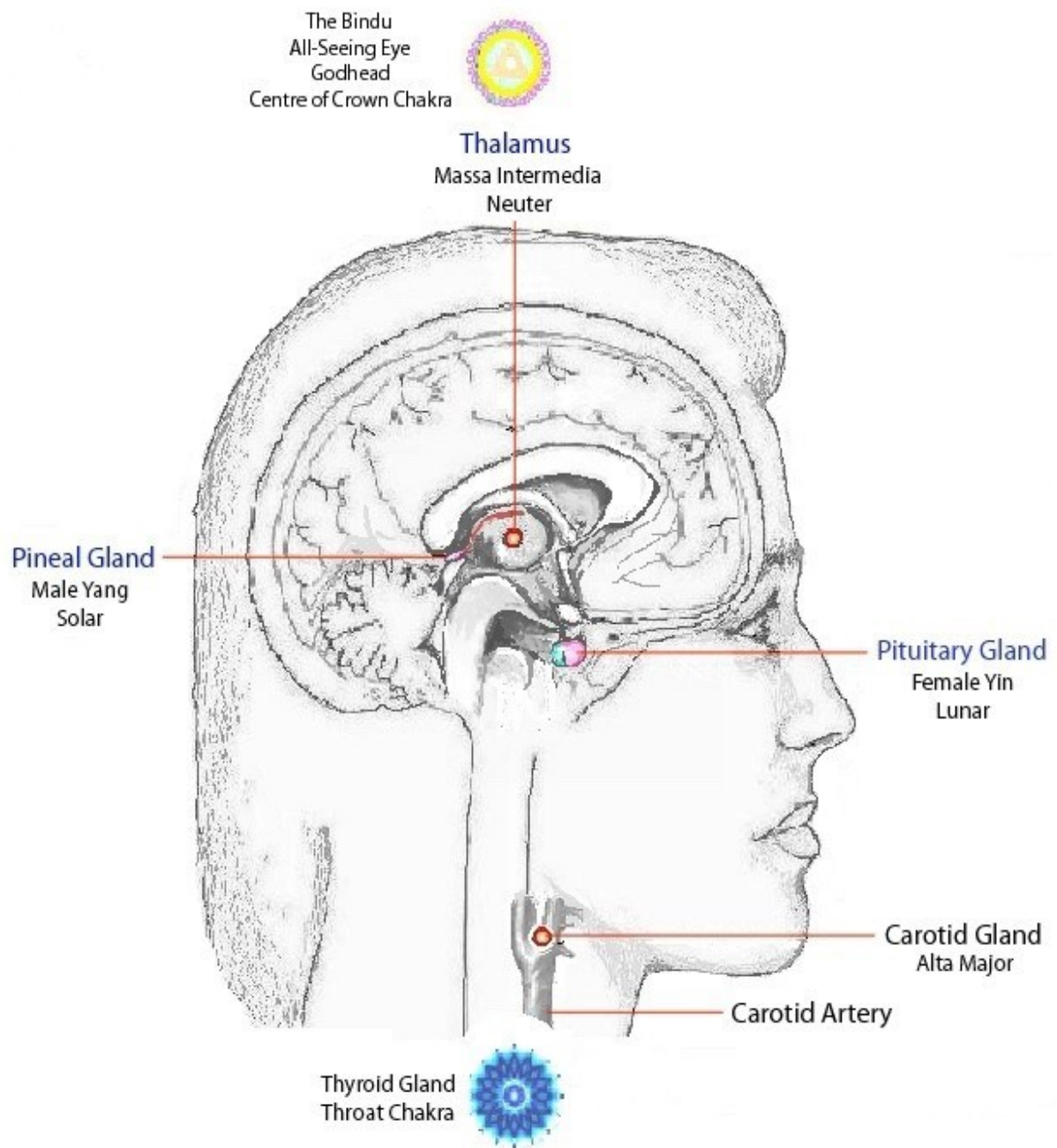
Selon les théories modernes, le cerveau doit être considéré comme une structure non plus en couches verticales ou concentriques, mais dans des sections horizontales. Dans ce contexte, il pourrait être représenté par des structures toroïdales telles que:



Dans cette dissertation, on comprend comment les champs électromagnétiques, dans la structure toroïdale du cerveau humain, peuvent effectuer des activités de réception, mais aussi une transmission.  
<http://www.lanzalaco.org/2012/07/markrams-human-brain-project-will-fail.html>.

Il existe trois glandes importantes dans le cerveau humain, qui sont également traitées dans le Mythe, et comme nous savons que dans le Mythe il y a la réalité temporelle de la description de l'Univers (voir Genèse, du même auteur), il faut faire attention à ces trois points importants. Les trois glandes dont nous parlons sont Pineale, Pituitaria et Carotidea, qui sont stratégiquement placées deux à l'intérieur du crâne et

une, la Carotidea, positionnée à la hauteur de la gorge



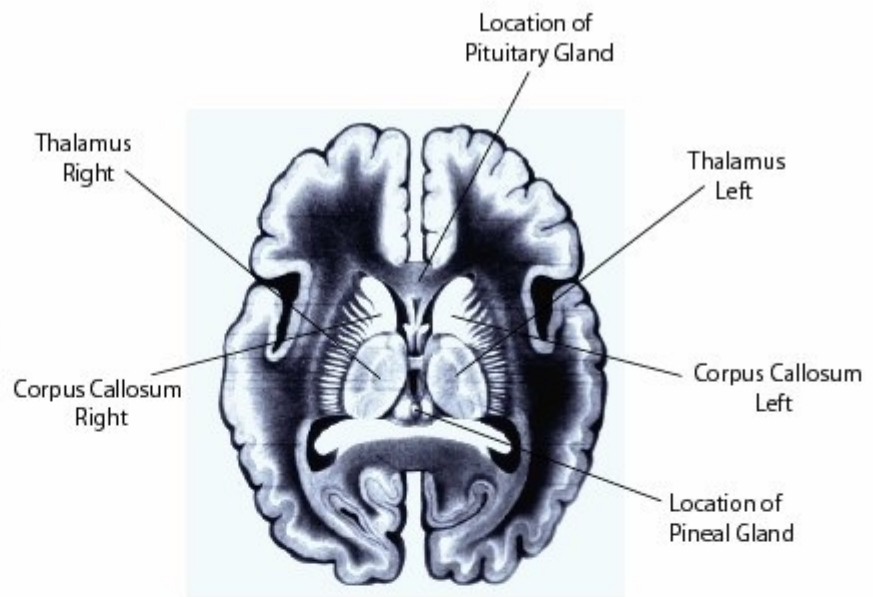
La neurophysiologie semble démontrer que ces trois centres, identifiables avec trois chakras New Age, sont particulièrement sensibles au champ magnétique (Pineal) au champ électrique (Carotidea) et au champ gravitationnel (Pituitaria). D'autre part, les anciens Egyptiens, appelés chirurgie crânienne, aimaient tirer certains des chapeaux de la déesse, conçus pour se souvenir de la structure du cerveau et de ce qui devait être à l'intérieur.

En fait, certains chercheurs soutiennent que la formation de cerveau toroïdale a été soulignée par les dessins des anciens Egyptiens, comme on peut le voir dans la photo suivante.

Dans cette image, nous pouvons également noter la présence de trois sphères qui ressemblent étroitement aux trois composantes: l'âme, l'esprit et l'esprit, ainsi que le traitement inconscient du cerveau humain, dans la réalisation du TCTDF, une simulation mentale qui identifie et travailler sur les trois parties consciencieuses de l'homme (voir TCTDF, par le même auteur).



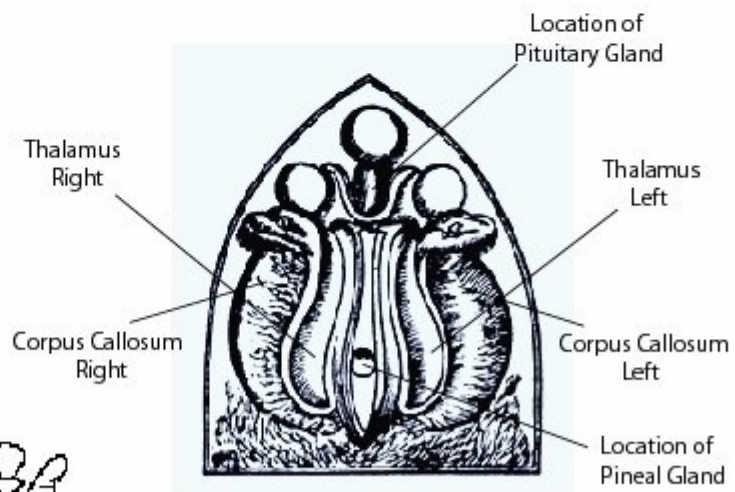
23



24



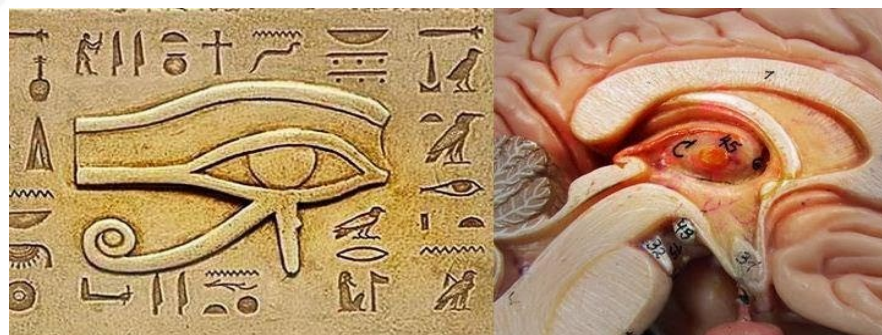
25



26

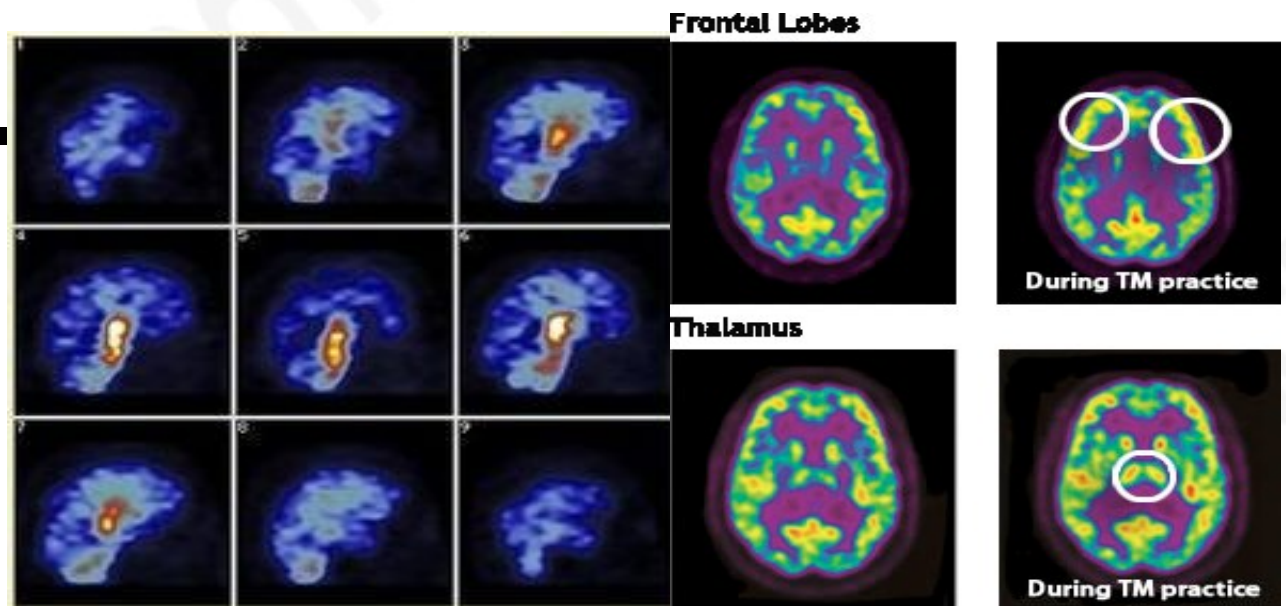


27





Les Egyptiens ont considéré le point focal de l'ensemble du cerveau fonctionnant Talamo, qui était probablement la vraie représentation de l'œil d'Horus, comme l'indiquent certains érudits attentifs



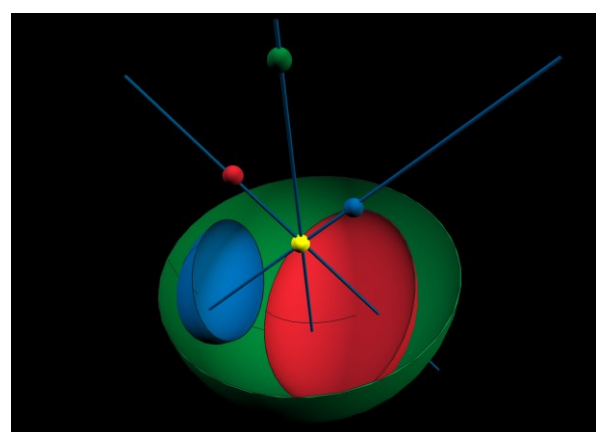
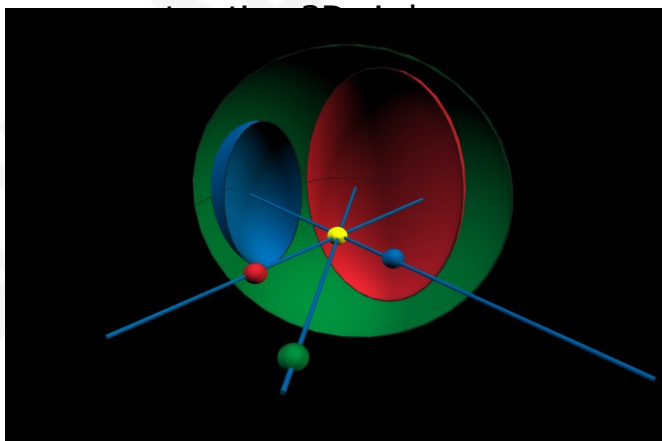
Et cette partie du cerveau a des caractéristiques particulières, par exemple, lors de phénomènes de méditation profonde où avec les techniques RMN il est particulièrement éclairé.

(<https://www.slideshare.net/ataren/brain-mechanisms-pain-modulation-mindfulness-meditation>) .

### **Le cerveau comme antenne toroïdale créative ZPE.**

L'hypothèse intéressante est que notre cerveau, en tant que lecteur d'hologramme, se comporte comme un créateur ZPE. Chaque fois qu'un sujet crée une image visuelle dans son cerveau, accompagnant cette création avec des sons et des sentiments, il place tous ces signaux dans la zone ZPE et quiconque crée une zone similaire dans son cerveau aura la même venue et sensation que les deux cerveaux créent réellement le ZPE unique et unique.

Sur la base de ce qui précède, il est possible de postuler que le cerveau se comporte comme un groupe d'antennes toroïdales avec trois «illuminateurs» à l'intérieur des trois glandes: pineal, hypophysaire et carotidienne. La troisième parabole consisterait en trois zones cérébrales qui auraient des champs magnétiques, électriques et gravitationnels, respectivement, comme le montre la



Comme on peut le voir à partir de cette reconstruction, les trois antennes cervicales toroïdales auraient un feu commun, caractérisé par le thalamus. À ce stade, le ZPE serait créé, qui serait responsable de tous les phénomènes pseudo-paranormaux décrits dans la littérature.

Le cerveau en construisant un ZPE serait capable de se connecter en tout temps avec Real Reality, distinguant la Virtualité holographique du Contexte de la Conscience.

Le thalamus serait le site physique de la réalité virtuelle où la salle mentale de la simulation appelée TCTDF est créée.

Dans la simulation, le cerveau crée cette salle virtuelle qui serait en fait une représentation symbolique idéologique d'un lieu - pas un point de points qui est réellement le centre de l'univers - le seul véritable ZPE existant.

Dans ce contexte, par exemple, deux personnes peuvent échanger des données et des sentiments à propos de leur virtualité en réunissant le seul point commun de l'univers. Un point qui peut être caractérisé par la taille de Planck.

### **Un périphérique créatif ZPE.**

À ce stade, nous avons tous les éléments pour pouvoir créer un périphérique qui peut être le point de départ pour créer ZPE.

En fait, nous devons créer un point qui possède des coordonnées spatiales, temporelles et énergétiques.

Nous pouvons donc travailler sur le domaine électrique, magnétique et gravitationnel car ces trois vecteurs sont en relation étroite avec l'espace, le temps et l'énergie.

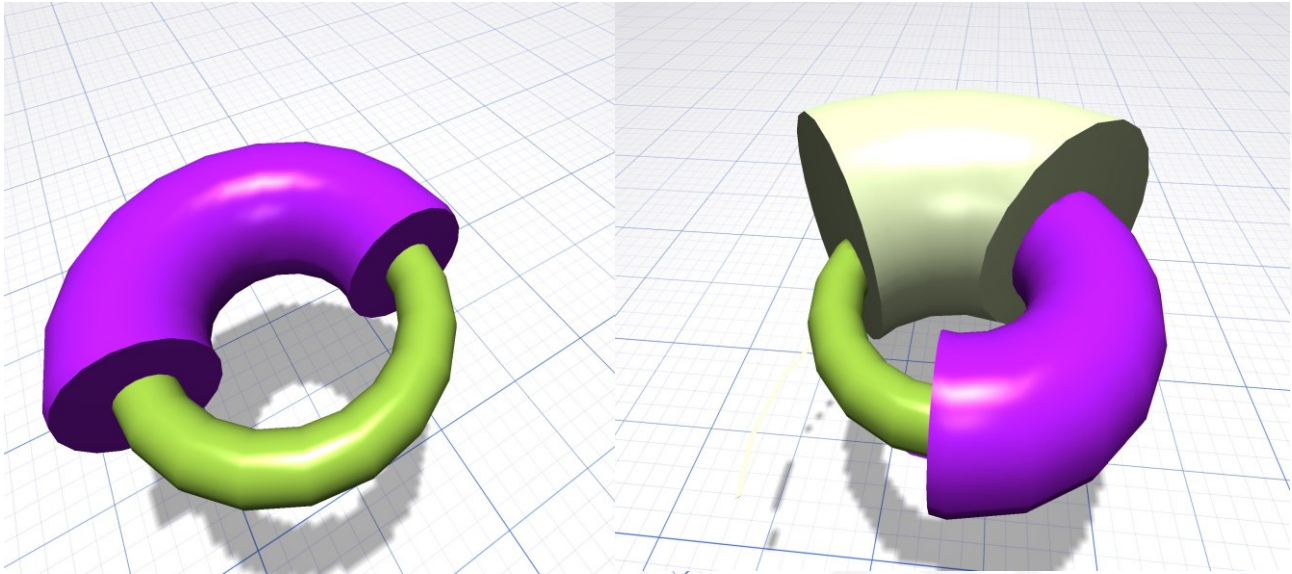
En un mot, nous devons créer une petite image de l'univers. Compte tenu du fait que le champ électromagnétique est lié au champ espace-temps et l'un des deux composants est indispensable sur l'autre, on peut facilement créer un point où les vecteurs électriques et magnétiques sont annulés.

Évidemment, à ce stade, nous pouvons utiliser une géométrie toroïdale.

Si on construit un tore autour duquel envelopper une série de tours du conducteur, nous avons construit un champ magnétique qui tourne au centre du toroïde et ne vient pas de lui et en même temps un champ électrique perpendiculaire au champ magnétique, il est dirigé, avec le règle de la main droite, vers une direction spécifique, comme indiqué dans la figure suivante:



Donc, créez juste deux solénoïdes concentriques, qui enveloppent, un dans le sens dans le sens des aiguilles, l'autre dans le sens inverse des aiguilles, pour créer deux champs de perturbateurs magnétiques superposés qui annulent entre eux et deux vecteurs de champ électrique, situés au centre du toroïde, divergant entre eux, qui s'annulent mutuellement.



Les deux enroulements toroïdaux (violet et vert) sont concentriques et sont réalisés avec un fil de matériau conducteur (cuivre) avec des dimensions appropriées pour obtenir des champs magnétiques et électriques de même intensité égale mais opposée.

À ce stade, vous devez ajouter rien au composant gravitationnel.

Ce composant, dans la machinerie de Keshe, était fabriqué avec un fluide gazeux (Elio), tandis que dans la machine Majorana, on utilisait un fluide liquide (Mercure).

Il convient de noter que, comme par le passé, certains chercheurs ont tenté de construire des machines qui développent de l'énergie avec des enroulements solénoïdes de géométrie appropriée à certains moments, tout en obtenant des résultats positifs plus faibles.

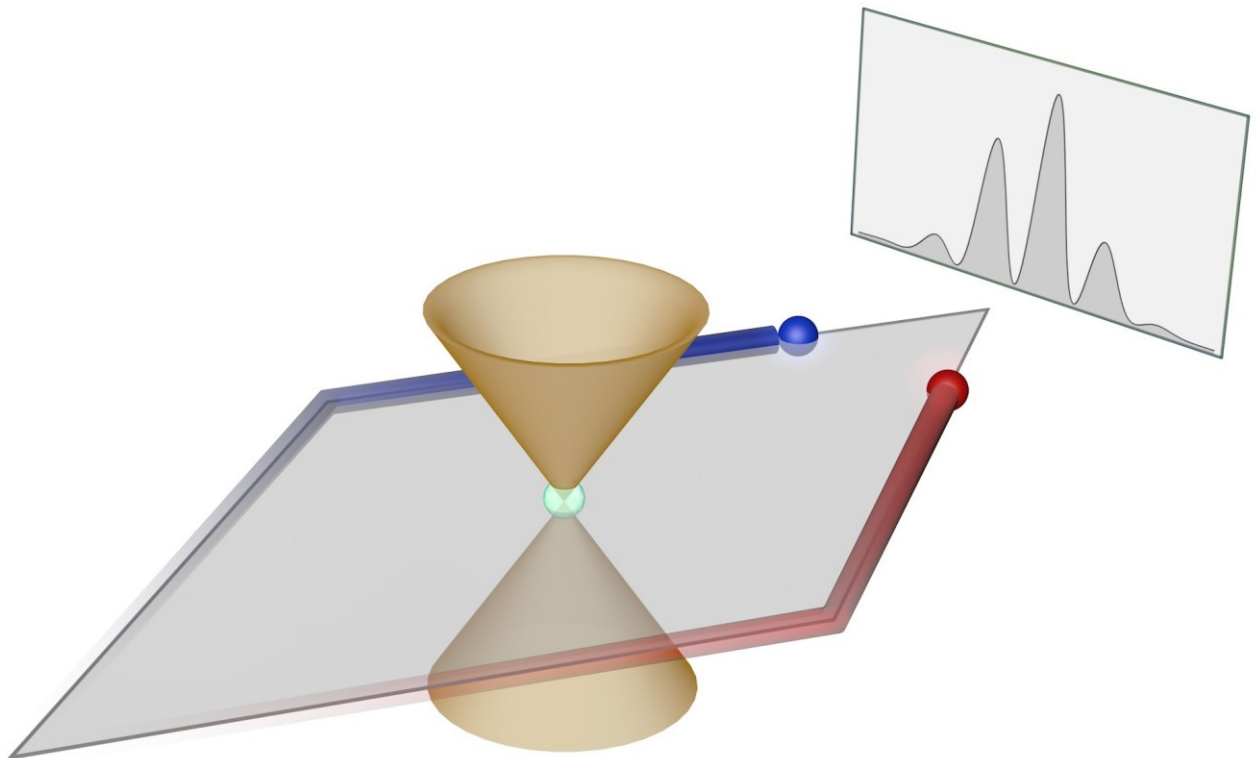
Dans ces cas, nous soupçonnons que la composante gravitationnelle qui a contribué mal à la construction de la ZPE était largement peu convaincante par les concepteurs, à l'écoulement d'électrons traversant les fils électriques et ayant une masse produite un flux gravitationnel qui, selon la théorie GEM aurait pu fabriquer les composants de vecteurs gravitationnels qui pourraient être décomposés en enroulant les bobines de conducteur (cuivre) afin d'obtenir deux vecteurs, deux "poussées" dans deux directions opposées, placés "par hasard" au centre des solénoïdes utilisés.

Les résultats dans ce contexte, cependant, seraient négligeables parce que, bien qu'il soit vrai que les électrons qui fonctionnent dans un conducteur électrique ont une masse

d'environ 10 à 19 grammes et bien que les électrons qui s'écoulent dans un conducteur soient innombrables, ils ont une très faible vitesse, estimée à environ 30 mètres par seconde.

Pour cette raison, les machines de Keshe ou Majorana utilisent des choses plus lourdes, telles que l'hélium et même des atomes de mercure encore meilleurs, que de couler sur une surface de géométrie appropriée, produirait une gravitation nulle, selon la théorie GEM mentionnée ci-dessus. Dans notre contexte, à l'aide d'une surface toroïdale (partie transparente de la figure précédente), aucun fluide conventionnel ne peut être utilisé car, en tournant dans le sens des aiguilles d'une montre ou dans le sens inverse des aiguilles d'une montre autour de la section toroïdale, entraînerait une accumulation de pression au centre et une dépression sur la couronne circulaire du toroïde, empêchant, en fait, la circulation des fluides, ce qui créerait également le problème de la façon mécanique d'accomplir cette poussée de rotation.

L'idée de résoudre le problème à l'aide d'un flux de photons, nous avons étudié l'effet d'Aharonov Bohm.



**L'effet Aharonov Bohm.** L'effet de ce nom est encore très peu d'effet physique  
([https://www.google.it/url?sa=t&rct=j&q=&esrc=s&source=web&cd=1&cad=rja&uact=8&ved=0ahUKEwiZ\\_e-Fz8TTAhVDbRQKHwdUAX8QFggwMAA&url=http%3A%2F%2Fmafija.fmf.uni-lj.si%2Fseminar%2Ffiles%2F2010\\_2011%2Fseminar\\_aharonov.pdf&usq=AFQjCNG32B2Cf7vjKvDejHowYL\\_uXoRGWQ](https://www.google.it/url?sa=t&rct=j&q=&esrc=s&source=web&cd=1&cad=rja&uact=8&ved=0ahUKEwiZ_e-Fz8TTAhVDbRQKHwdUAX8QFggwMAA&url=http%3A%2F%2Fmafija.fmf.uni-lj.si%2Fseminar%2Ffiles%2F2010_2011%2Fseminar_aharonov.pdf&usq=AFQjCNG32B2Cf7vjKvDejHowYL_uXoRGWQ)),

connu pour être une extension de l'expérience de la double fente.

Dans l'expérience classique, un électron ou un photon est transmis simultanément (en raison de l'onde) à travers deux fentes produisant sur un écran placé après les deux fentes, les formes d'interférence. Eh bien, si vous placez un toroïde avec un enroulement électrique où il coule, derrière les deux fentes, les motifs d'interférence se déplacent en brisant la symétrie de l'expérience soit à droite, soit à gauche, selon la direction du courant électrique glissée dans le fil blessure électrique autour du toroïde.

Cela a beaucoup de sens. L'un d'eux est que la probabilité qu'un électron passe plus d'une fente et moins probabiliste de l'autre devienne évidente. Ou, une fois que l'électron passe, le clivage vient interagir avec le toroïde qui l'attire / le rejette, interférant avec sa trajectoire virtuelle, symétrie des figures d'interférence sur l'écran où l'image de la probabilité de projection de l'électron est projetée lui-même.

Le problème, cependant, est lié au fait que cet effet ne devrait pas être. En fait, le champ magnétique reste confiné dans le toroïde ainsi que le composant électrique, qui ne doit pas interférer avec l'électron.

Au lieu de cela, des interférences existent.

Quelqu'un pensait que, comme le champ magnétique inclus dans le toroïde et étant fondamentalement nul, il ne pouvait pas interagir avec un électron qui dépasse son influence

Certains pensent que cet effet dépend d'une manière quelque peu mystérieuse du potentiel du champ, la seule grandeur qui, n'ayant rien, serait capables de faire quelque chose de non-sens. Mais d'autres physiciens pensent que le potentiel du domaine n'existe même pas.

D'autres, plus raisonnablement supposons, que le toroïde tellement construit, bien que bien construit, peut effectivement être inaltérable, et donc quelque chose de rien sortirait du toroïde, interagissant d'une manière ou d'une autre avec l'électron passant. D'autres se disent encore plus sensibles, que l'électron est une onde (lorsque les physiciens pensent que cela ramène le compte: N.d.A.), il passerait même dans le toroïde comme une onde de probabilité et donc quelque chose affecterait la trajectoire des électrons.

En outre, l'électron est quelque chose qui a une masse et qu'il est chargé et il faut donc attendre qu'il soit attiré ou rejeté par un champ électromagnétique convenablement orienté.

Malheureusement, il est apparu que même les photons sont mystérieusement soumis au même effet, bien qu'ils n'aient pas de masse ni de charge. ([https://www.google.it/url?sa=t&rct=j&q=&esrc=s&source=web&cd=1&cad=rja&uact=8&ved=0ahUKEwj\\_o5L81cTTAhVGQBQKHeS\\_uDJQQFggwMAA&url=http%3A%2F%2Fdigitalcommons.unl.edu%2Fcgi%2Fviewcontent.cgi%3Farticle%3D1118%26context%3Dphysicsfacpub&usq=AFQjCNEE4zS\\_GtVYcKTVx8kesUW7kPE8JQ](https://www.google.it/url?sa=t&rct=j&q=&esrc=s&source=web&cd=1&cad=rja&uact=8&ved=0ahUKEwj_o5L81cTTAhVGQBQKHeS_uDJQQFggwMAA&url=http%3A%2F%2Fdigitalcommons.unl.edu%2Fcgi%2Fviewcontent.cgi%3Farticle%3D1118%26context%3Dphysicsfacpub&usq=AFQjCNEE4zS_GtVYcKTVx8kesUW7kPE8JQ)).

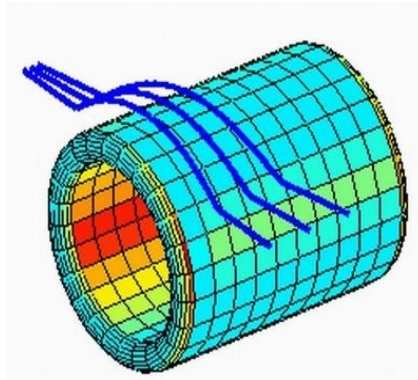
Il peut même être possible d'utiliser l'effet Aharonov Bohm pour calculer par déviation d'un rayon photonique, la masse postulée du photon qui, selon ces calculs, fonctionnerait à une valeur de 10-51 grammes contre des mesures très semblables produites par d'autres approches scientifique (voir Evideon 3, par le même auteur

(<https://journals.aps.org/pr/abstract/10.1103/PhysRevA.75.052113>).

De toute évidence, si les photons ont été créés comme nous le disons, avec l'idée évideon de l'univers, c'est-à-dire les formes résonnantes des photons et des antifotons en interconversion rapide, en dessous du temps de Planck, l'effet Aharonov Bohm serait expliqué, mais ici, nous ne sommes pas intéressés à lancer votre main sur cet aspect de la physique moderne. Au lieu de cela, nous voulons souligner que, quelle que soit la cause, les photons sont détournés d'un champ électromagnétique produit par un solénoïde approprié conçu de manière toroïdale.

C'est parce que, évidemment, le photon pour un court instant semble posséder une

masse



Par conséquent, les photons changent en passant sur un champ magnétique créé par un solénoïde approprié, mais tout cela signifie que nous pourrions utiliser un Le flux de photons circulait autour du tore, avec une géométrie appropriée, obligeant les photons à fibres optiques à parcourir géométriquement les trajectoires que nous voulions. Car si les photons représentent le liquide dont nous avons besoin pour obtenir deux champs gravitationnels que annullassero les uns des autres, nous pourrions obtenir le troisième volet de la création de la ZPE.

Il est vrai que les photons pesaient environ 10-51 grammes, mais ils vont à la vitesse de la lumière et sont beaucoup plus que des électrons dans un fil électrique.

Dans une section de 1 cm de fibre optique, ainsi  $1,6 \times 10^{33} \times 5,3 \times 10^{44}$  serait-il photons dans une seconde environ  $9 \times 10^{77}$  photons qui pèsent 10-51 grammes chacune, pour un total de  $9 \times 10^{26}$  grammes. Si seulement un milliard de milliards de photons présentait un impact minimum sur Aharonov Bohm, nous aurions créé un vecteur massif de forme remarquable. Créer deux composantes de vecteurs de ce type qui annulent au centre de notre tore dépendait à ce stade que par le choix de la géométrie d'enroulement des fibres optiques qui ont forcé un faisceau de photons à suivre le chemin imposé par nous.

#### **De la déesse Kali au toroïde.**

Il sera également pas orthodoxe pour l'officier scientifique pour faire appel au Mythe pour prendre des indications sur l'origine de l'univers, mais ce n'est pas pour moi que j'ai fait des chemins intérieurs qui m'ont montré en réalité que nous, créateurs de l'univers, de nous, toutes les clés de la lecture, si consciemment utilisé, pour comprendre le Tout.

Je m'excuse donc avec les physiciens qui auront le ventre dans l'apprentissage où j'ai réellement eu l'idée d'obtenir, avec une seule fibre optique enroulement autour du toroïde, deux champs gravitationnels sur l'effet de contraste Aharonov Bohm mais, en fin de compte, quoi compte, est l'effet final, c'est-à-dire la compréhension du Tout dans le Souvenir.

Indu raconte qu'au début des temps il y avait un monstre qui détruisait l'univers



entier créé. Shiva et Vishnu ne pouvaient rien faire contre ce monstre et ont appelé Kali comme l'ultime espoir de sauver le monde.



Le monstre ne pouvait pas être vaincu à cause de chaque goutte de son sang tombant, un autre monstre était né. Kali a réussi à débarrasser le monstre en buvant, dans le combat, tout le sang de monstre tombe avant qu'ils ils ont atterri. Dans l'esprit destructeur, Kali n'a rien compris et a perdu son esprit tout en continuant à détruire tout ce qu'il a rencontré, se terminant pour tuer les mêmes dieux qui l'ont appelé pour sauver le monde.

Et c'est pourquoi elle est représentée alors qu'elle traverse Shiva, qui pourra l'arracher facilement avant même d'être éliminée.

Dans la version la plus ancienne, Kali a quatre bras, alors le nombre d'armes augmentera dans les représentations suivantes.

Kali représente dans le mythe indien l'univers autorisant, celui qui a ordonné le chaos des particules qui seraient formées et sans ordre dans la virtualité, se détruirait automatiquement dans la mer des particules virtuelles, diront les physiciens. Les bras de Kali sont les axes spatiaux et temporels de l'Evolution. Ce que Kali porte et tient dans sa main est riche en symbolismes puissants, tant de peu savent que les anciens Romains ont adoré cette déesse en appelant Akate, où le nom reste le suffixe «ka» (que nous trouvons dans les mythologies juives au nom de Kabala dans ces Sumériens avec le nom Merkaba, dans le monde égyptien, je voudrais que Ka soit l'esprit ou le monde islamique où Kaba est le nom de la pierre tombée du paradis adoré à La Mecque).



Pourtant, le nom de l'archange Mi-Ka-El est la version juive de la déesse Kali où deux bras ont été remplacés par deux ailes. Il suffit de comparer les iconographies de Kali avec les idées de Michele pour réaliser ce que nous soutenons et, pratiquement sans le savoir, l'homme est revenu des temps de la vallée d'Indo jusqu'à aujourd'hui.

Ces personnages mythiques incarnant le Evidéon le plus moderne sont toujours accompagnés de structures toroïdales et de symboles particuliers qui rappellent la structure du toroïde que nous construisons et, à zéro point d'énergie, comme symbole de l'ordre universel entier.

Par exemple, nous pourrions regarder le symbole du vrai coléoptère égyptien ou le symbolisme d'Akate, mais nous pourrions en faire beaucoup plus d'exemples, comme le rappel des symboles sataniques.





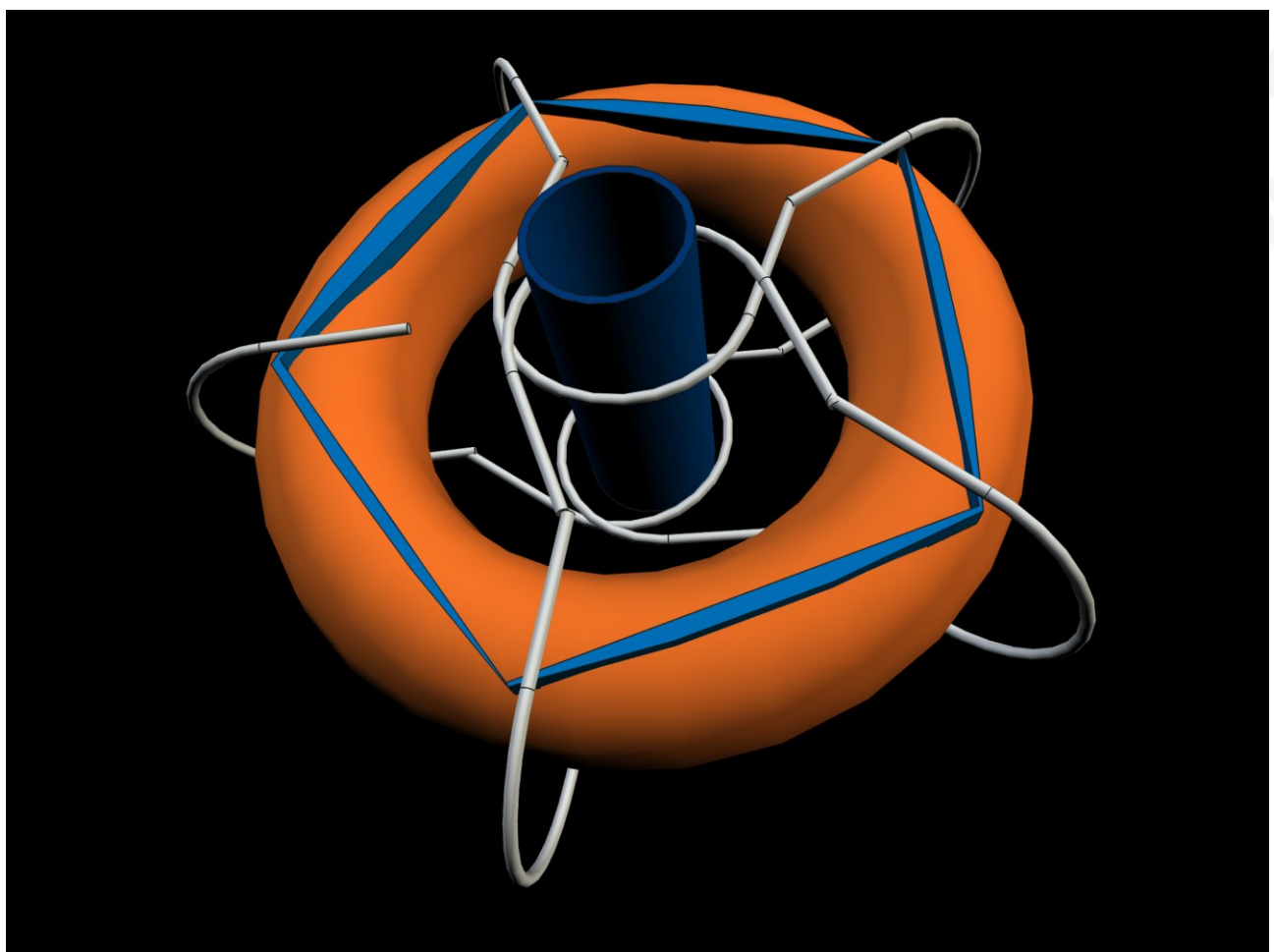
En particulier, il était intéressant de noter le symbole de la Déesse Akate, qui, d'une part, invoque le labyrinthe, d'autre part, se réfère à une géométrie pentaphile qui semblait imiter l'enroulement d'un fil autour d'un point central.

Nous avons l'habitude d'observer les symboles du mythe parce qu'ils évoquent dans chacun de nous des informations archétypiques qui, selon les conditions préalables culturelles que chacun possède, peuvent fournir des informations proportionnelles au degré de conscience que chacun de nous possède. Donc, pour certains, l'observation de ces symboles ne peut rien dire, tandis que d'autres verront des comparaisons religieuses. L'écrivain voit comme toujours dans le miroir ce qu'il recherche extérieurement pour lui-même, comme un miroir d'une réalité interne qui est à peine décodable s'il reste dans le soi. Une fois que cette réalité sort de lui-même, elle prend forme et il est possible de la décoder en fonction de ses propres possibilités. Donc, à partir de ce symbole, nous avons compris comment envelopper la fibre optique comme troisième enroulement du toroïde.

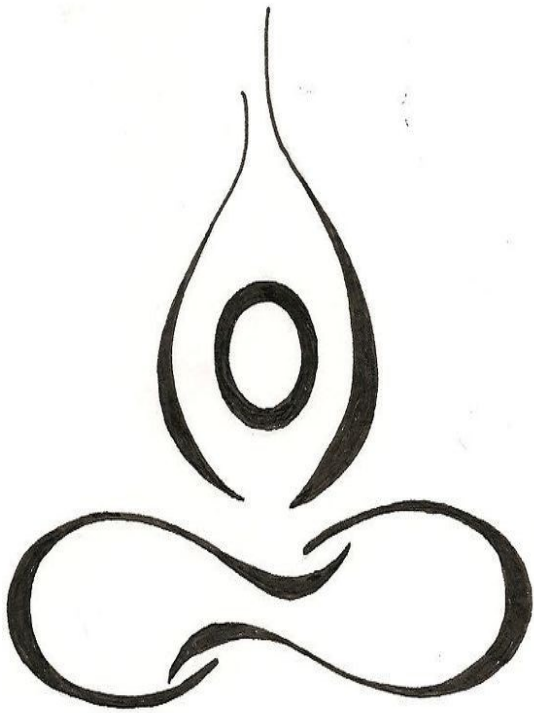
Un seul enroulement peut se déplacer dans le sens des aiguilles d'une montre

dans le sens inverse des aiguilles d'une montre par rapport à ceux qui sont au centre du toroïde, créant des champs gravitationnels dirigés vers le bas vers le bas et simultanément vers le haut.

Nous reproduisons ci-dessous comme le premier enroulement devrait être fait pour obtenir l'effet désiré



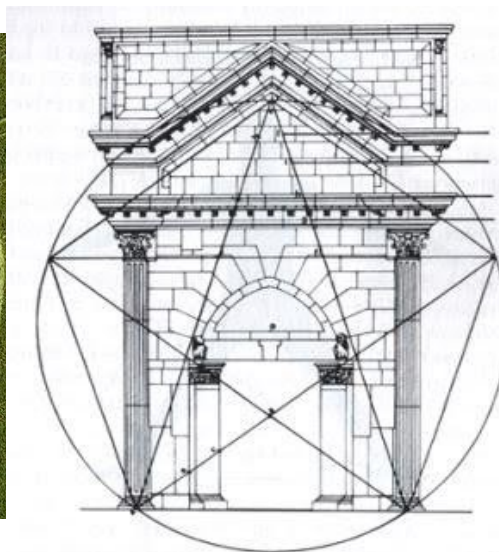
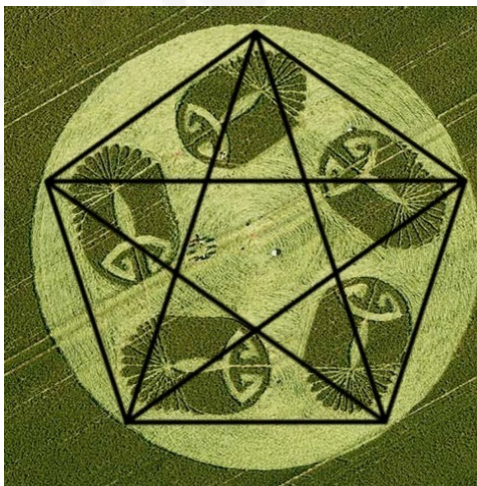




Comme vous pouvez remarquer un examen attentif du chemin de la fibre optique, cette partie vire dans une direction, le toroïde, arrive au centre, tourne autour du cylindre à l'intérieur du toroïde de 180 degrés pour se rembobiner autour du toroïde. Cela crée des moments à l'intérieur et à l'extérieur du toroïde, où il existe un nombre égal de zones où un flux photonique temporel ou antihoraire est créé.

La structure pentanique de l'enroulement est la seule possible et rappelle la géométrie dorée pentagonale qui contient tous les nombres que nous avons calculés plus tôt dans cet article.

La première chose à noter, c'est que l'angle de 108 degrés est celui qui se joue dans le pentagone avec ses cinq sommets.



Le mythe du numéro 108, maintenant de retour avec tous les messages mythologiques. En particulier, le nombre 108 est couplé à la civilisation de la vallée de l'Indus aux trois formes du nombre 1, zéro et 8, qui représentent l'unité de l'univers, sa nullité et le temps et l'espace circulaires infini.

Mais en observant ce symbole de près, nous nous rendons compte que les symboles sanskrits pour ces nombres gagnent une signification physique en imitant parfaitement les vecteurs de champ magnétique (zéro) du champ électrique (celui) et le champ photonique gravitationnel (le ruban Moebius, c'est-à-dire, « huit »)

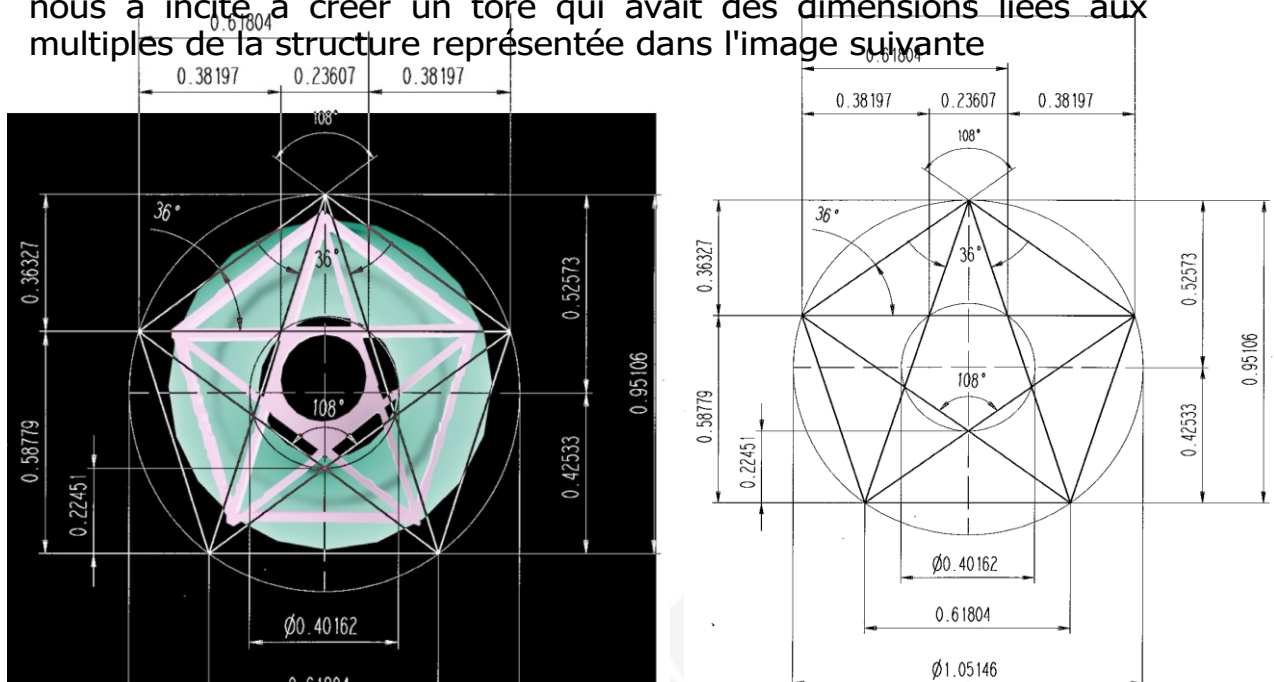
Dans le symbole original (Otto) (en haut à gauche), le nombre 108 est tiré en doublant les signes, pour justifier presque le double comportement dans le toreïde que nous concevons.

### Dimensionnement de la *device*.

Cette *device*, à notre avis, il peut avoir toutes les dimensions que vous voulez, mais pour obtenir un meilleur résultat, le mythe vous suggère de construire le toreïde avec des proportions appropriées. En d'autres termes, cet appareil représente dans la réalité virtuelle la construction d'un mini univers de poche et, puisque l'univers est une fractale, il faut construire une partie de l'univers à l'aide des mêmes mesures évidentes basées sur la constante de la structure fine, Pi Greco et Section de l'or. Comme le montre le dernier chiffre, il a été décidé d'utiliser une géométrie pentagonale puisque cette structure prend en compte les nombres qui régissent la Section Or.

Le pentagone semble avoir une structure fortement attachée, sous toutes ses formes, à la section d'or, et le résultat de cette enquête nous a incité à créer un tore qui avait des dimensions liées aux multiples de la structure représentée dans l'image suivante.

Le pentagone semble avoir une structure fortement attachée, sous toutes ses formes, à la section d'or, et le résultat de cette enquête nous a incité à créer un tore qui avait des dimensions liées aux multiples de la structure représentée dans l'image suivante



La valeur de la relation angulaire est notée

$$\mathbf{sen(108) / sen(36) = \Phi}$$

Le toroïde avec des dimensions identiques ou multiples, suppose que l'unité de démarrage (aussi petite que possible) se distingue par le fait que le pentagone inscrit sur le toroïde a le côté, l'inverse de la section d'or.

De plus, la largeur totale du toroïde vaut 1.05146 mima la médias parmi les relations vues ci-dessus pour les fréquences de l'âme, de l'esprit et de l'esprit

$$\mathbf{f_m/f_s = 1.049519}$$

$$\mathbf{f_s/f_a = 1.056098}$$

$$\mathbf{(1.049519 + 1.056098)/2 = 1.0528085}$$

Le modèle de base du toroïde fournit qu'il est large, en section circulaire, 0,324 unité. En multipliant toutes les mesures par 1000, nous obtenons les résultats suivants dans la section

**Diametro esterno 1051.46 [teorico 1053]**

**Diametro interno 402.12 [teorico 405]**

**Diametro cerchio nero 726.79 [teorico 729]**

**Diametro torus esterno 324.67 [teorico 324]**

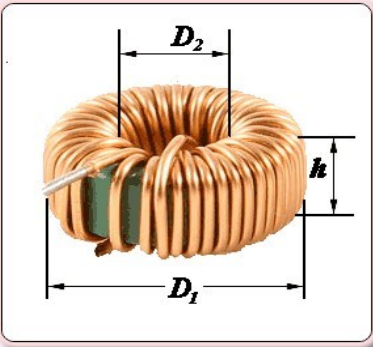
**Diametro torus interno 162.33 [teorico 162]**

Dans le symbole d'origine (en haut à gauche), le nombre 108 est dessiné en doublant les signes, pour justifier presque le double comportement dans le toroïde que nous concevons.

Dans ces mesures (valeurs théoriques), nous pouvons voir quelques détails intéressants:

- Le diamètre intérieur correspond à la valeur de 250x1.62
- Le diamètre du cercle noir (distance en coupe entre les deux centres de la section circulaire du tore) tend à prendre des valeurs de 9n avec n = 3.
- Les proportions de ce respect du tort, multipliées par un facteur 103, les proportions dorées.

Dans la configuration de l'appareil, il est important de noter que les fibres optiques doivent avoir une capacité d'enroulement suffisante. Cela prévoit que le neuvième tore peut être trop petit car les fibres



ENTER THE INPUT DATA:

Select units:  AWG →  SWG →

$L =$    – Required inductance

$D_1 =$    – Outer diameter of ring

$D_2 =$    – Inner diameter of ring

$h =$    – Height of ring

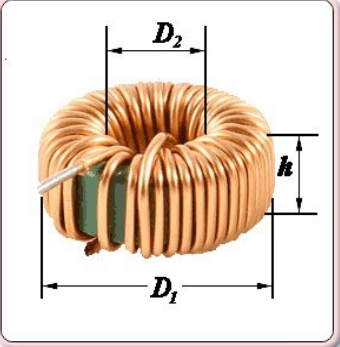
$\mu =$   – Relative magnetic permeability

$d =$    – Diameter of wire

RESULT:

$N =$   – Number of turns

$Lw =$    – Required length of wire



ENTER THE INPUT DATA:

Select units:  AWG →  SWG →

$L =$    – Required inductance

$D_1 =$    – Outer diameter of ring

$D_2 =$    – Inner diameter of ring

$h =$    – Height of ring

$\mu =$   – Relative magnetic permeability

$d =$    – Diameter of wire

RESULT:

$N =$   – Number of turns

$Lw =$    – Required length of wire

optiques dans les torçers se casseraient. À ce stade, deux points fondamentaux devraient être soulignés. Le premier est que le coût d'un tel appareil ne dépasse pas cent euros.

Le deuxième aspect est lié au fait que cet appareil repose sur des principes physiques incontestables et déjà publié sur des articles scientifiques ces dernières années. Il n'est donc pas possible de contester son fonctionnement. Ce que vous ne pouvez pas encore savoir est lié au degré de précision requis pour la construction de cet objet, et en ce qui concerne l'effet souhaité, il sera formidable virtuellement et seule une expérience appropriée peut le clarifier.

Ainsi, ni le principe sur lequel cet objet ne repose ni le fait qu'il produit ZPE sont remis en question, mais il est possible de discuter de la taille de ce ZPE qui peut être projeté sur le plan spatio-temporel.

En ce qui concerne le dimensionnement facile des tours de conducteur qui enveloppent le noyau du toroïde, chacun peut le calculer seul en utilisant un logiciel trivial déjà disponible sur le net.

(<http://coil32.net/online-calculators/ferrite-torroid-calculator.html#null>) .

L'exemple de calcul montré ci-dessus n'est que indicatif et peut être modifié, en utilisant, par exemple, des valeurs théoriques, mais notez toujours que le champ magnétique doit être identique pour les enroulements concentriques.

La direction des vecteurs de champ électromagnétique est obtenue en polarisant l'entrée du courant électrique de manière appropriée dans les spires



### Des preuves UFO, liées à l'exploitation de la ZPE.

À notre avis, cependant, il existe déjà une forte preuve aux yeux de tous, liés à des phénomènes physiques qui s'expliquent par ces hypothèses de travail.

La première observation à effectuer dans ce contexte est liée à l'exploitation d'objets volants non identifiés.

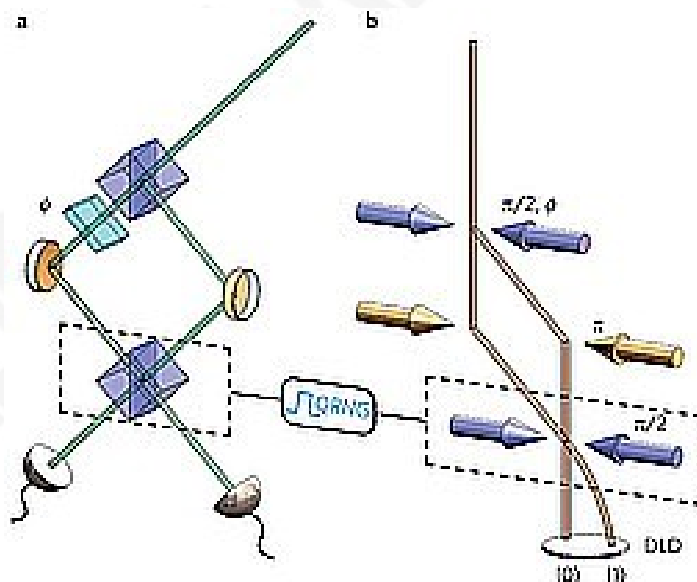
La forme de ces objets, le fait qu'ils se déplacent sans frotter avec le fluide qui les entoure (soit de l'air ou de l'eau), soit qu'ils ne se déplacent que en ligne droite (il n'y a toujours pas de film qui montre un UFO suite à une trajectoire circulaire) et toujours en tenant compte des études susmentionnées montrant des structures toroïdales en présence d'une telle preuve, nous fait penser que l'Ufo a si vaguement appelé à construire un ZPE au centre.

Un tel ZPE peut être facilement manipulé.

Par exemple, le ZPE peut être «déplacé» vers le plan temporel par rapport à l'endroit où il se forme.

Un exemple intéressant a été, selon nous, inconsciemment obtenu par ces auteurs <https://actualidad.rt.com/ciencias/176533-experimento-demostrar-realidad-existe-mirar-medir>), (<https://www.nature.com/nphys/journal/v11/n7/pdf/nphys3343.pdf>).

Dans cette expérience, un seul atome de Boro a été touché par deux faisceaux laser qui ont traversé le point exact d'existence de cet atome. Une série de miroirs a ensuite rebondi les deux faisceaux laser qui ont construit un réseau avec différents points d'intersection.



Les enquêteurs sont ensuite allés voir où l'atome de Boro était terminé et l'avait toujours trouvé au point d'intersection où ils regardaient. En d'autres termes, l'atome de Boro était là où il était recherché. Selon une expérience plus récente de Wheeler, le phénomène a été expliqué jusqu'ici que nous sommes le créateur de l'événement, alors nous devons choisir, en tant que créateurs d'un

univers virtuel, trouver la réalité. Ce qui se passe réellement, c'est ce qui suit:

Tous les points où les deux faisceaux laser se rencontrent ont la même caractéristique de champ électromagnétique. Donc dans les représentations virtuelles du même point

les coordonnées temporelles et l'énergie identique, c'est-à-dire le même champ électrique, magnétique et gravitationnel. Ainsi, les points où le phénomène de croisement des deux faisceaux laser se produisent réellement sont la manifestation dans le virtuel de plusieurs emplacements mais sont en fait le même point dans l'univers non local.

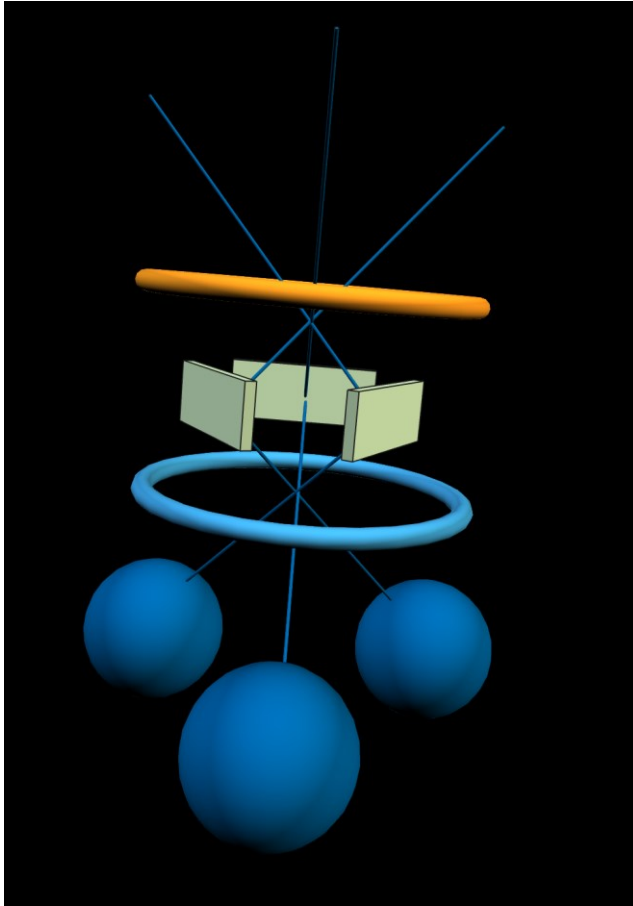
En d'autres termes, l'atome de Boro n'aurait pas déménagé à moins qu'il n'ait coexisté dans tous ces points dont chacun a une probabilité constante que l'onde quantique de l'atome de Boro existe. Au moment où j'observe le phénomène, le paquet de vagues est détruit et le phénomène de l'atome de Boro prend forme là où il est regardé, c'est là que nous interagissons avec lui dans l'espace. A cet instant, toute la probabilité de trouver l'atome Boro migre vers un seul point et se montre aux chercheurs.

On pourrait dire en virtualité que l'atome de Boro a été traîné par le faisceau laser.

Si c'est le cas, nous pouvons construire un ZPE avec notre appareil, puis le déplacer avec des faisceaux laser de la même manière que l'expérience a été effectuée.

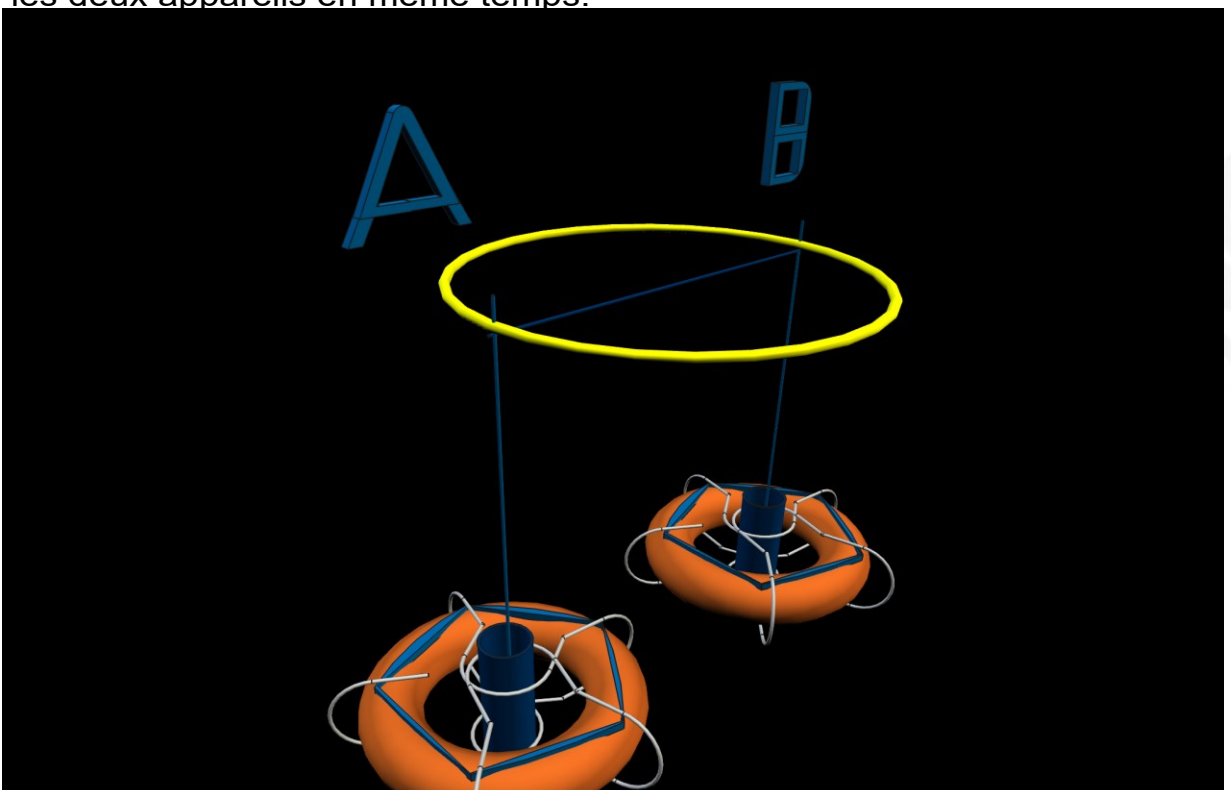
L'exemple pratique est juste dans le mouvement probable du flush tel que nous le connaissons aujourd'hui. Ci-dessous, nous illustrons le système de propulsion de l'embouchure basé sur notre ZPE.

Nous admettons que notre objet volant non identifié peut être schématisé avec le toroïde de couleur cyan sur le côté et qu'il peut construire un ZPE au centre de ce toroïde. Il peut être ciblé par trois faisceaux laser issus de trois sources, stylisées comme les trois sphères définies. Les trois rayons laser affectent le ZPE. Les rayons finissent par interagir sur trois miroirs qui renversent l'image ZPE à un point supérieur où existe la deuxième possibilité d'existence ZPE. Toute interaction du pilote avec la deuxième intersection élevée caractérise la création de l'information relative au toroïde qui a créé le ZPE, qui se concrétise dans l'aspect supérieur (toroïde de lumière) - Une orientation appropriée des trois miroirs produira le mouvement de l'Ufo avec des trajectoires strictement linéaires. L'objet qui a créé le ZPE et reste attaché "Informativement" (en fait, l'objet ne bouge pas mais coexiste en tant qu'informations dans plusieurs endroits tels que la vague, jusqu'au moment où la forme de l'onde de potentiel qui la caractérise ne se matérialise pratiquement d'un point de vue virtuel : NdA) ne voyage pas dans l'espace et le temps, mais disparaît d'un côté pour apparaître de l'autre sans être effrayé par le fluide qui l'entoure. Tout cela expliquerait également les étranges formes toroïdales photographiées à côté de ufo (voir ci-dessous), quelles images des champs générant l'objet en mouvement.



### **Preuves de champ morphogénétique liées à la formation de ZPE.**

Un effet intéressant qui peut être obtenu en dupliquant un ZPE serait de pouvoir transporter des informations en passant virtuellement par le seul point qui existe dans l'univers, à savoir le ZPE lui-même. Lorsque deux périphériques ont été construits pour créer un ZPE, il faut se rappeler qu'ils ouvriront une porte au même endroit où il existe réellement. Les deux appareils accéderont au seul point existant de l'univers et même s'il semble être placé dans deux points différents en virtualité, il contiendra toujours la même information qui serait accessible par les deux appareils en même temps.



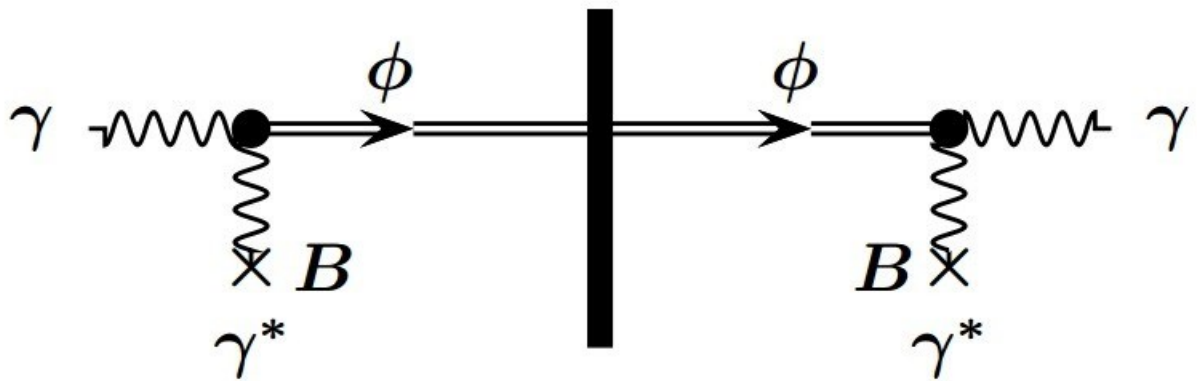
Les deux centres des deux dispositifs seraient connectés par un chemin spatial-temporel toroïdal qui les rejoindrait virtuellement. Les points A et B seront donc caractérisés par la même forme d'onde du potentiel, c'est-à-dire qu'ils seraient la même information, c'est-à-dire qu'ils ressembleraient à la même chose.

(<http://www.oxfordscholarship.com/view/10.1093/0199278245.001.0001/acp-rof-9780199278244>).

Toute information placée au centre du premier toroïde serait en même temps au milieu de la seconde. À ce stade, éteignez le premier toroïde pour vous assurer que toutes les ondes de probabilité se concentrent sur le deuxième point. Un grain de sel placé dans le premier toroïde devrait disparaître pour réapparaître dans le deuxième toroïde.

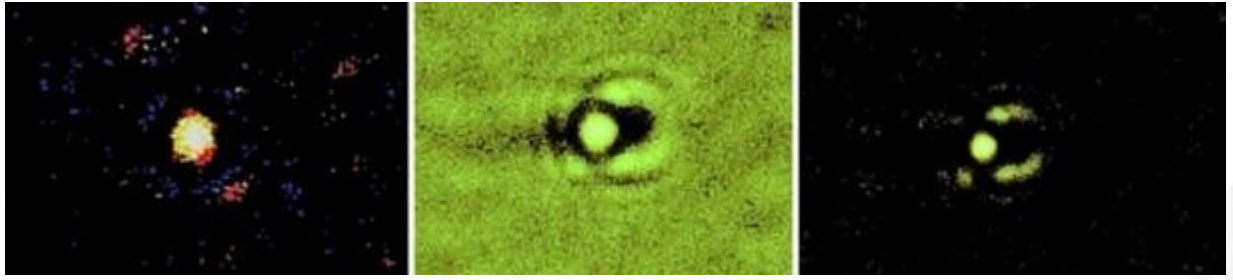
Un autre aspect de la question UFO est lié à l'invisibilité présumée d'objets volants non identifiés d'origine étrangère. Des témoins avertis ont souvent fourni des témoignages à partir desquels on pouvait voir que si l'UFO était observé de côté l'UFO a disparu. Cet aspect particulier n'a jamais été étudié de manière approfondie et n'a même pas été souligné dans les chroniques rapportées dans la littérature mais, lorsque nous étions concernés par le problème uphologique et nous avons recueilli les témoins, nous remarquons ce fait.

Selon nous, l'explication pourrait être recherchée dans le fait que dans l'UFO, un ZPE construit avec un tore similaire à celui de nos œuvres.



Que se passe-t-il lorsqu'un photon traverse un courant conducteur actuel?





Dans l'image précédente, on peut le considérer comme un photon qui interagit avec un champ magnétique fort (un conducteur où passe le courant électrique), il disparaît. Le devenir invisible est mis en évidence parce que ce "photon invisible" est capable de traverser un mur. Après le passage du mur, le "photon invisible" est conçu pour interagir, une seconde fois, avec un autre conducteur identique à celui du premier et revenir visiblement.

Les physiciens, dans une tentative gênante d'expliquer le comportement étrange du photon, avaient inventé une nouvelle particule appelée Axione. Selon la physique, il serait formé par la conversion du photon en Axione pour une interaction réversible avec le champ magnétique du fil. (<https://en.wikipedia.org/wiki/Axion>)

Axione a pris ce nom déchirant d'un détergent américain bien connu capable d'effacer la réalité virtuelle des photons (sig. N.d.A.)

Après quelques tentatives désespérées de promouvoir l'idée de l'existence de cette nouvelle entité subatomique, elle a récemment compris son existence. <https://briankoberlein.com/2016/04/26/dark-matter-still-not-axions/>.

Nous rappelons que l'invisibilité d'Ufo est liée à un effet photonique mais pas à d'autres sources d'énergie.

Par exemple, l'OVNI invisible peut être optiquement mis en évidence par le télescope Santilli, que nous pensons, (<http://www.santilli-foundation.org/docs/telescopio-santilliano.pdf>) il ne mettrait pas en évidence l'antimatière, comme le créateur et le créateur l'affirment à tort, mais mettrait en évidence dans l'infrarouge, seulement les émissions de corps chaud.

Dans l'une des nombreuses images mises à disposition par Santilli, on peut remarquer que l'UFO non perceptible dans le spectre du visible montre sa véritable essence dans l'infrarouge, montrant comme toujours sa sous-structure toroïdale <http://mistero.me/scienza/astronomia/telescopio-santilli-osserva-entit-terrestri-invisibili/> Ce qui se passerait, c'est que notre photon traverserait le toroïde comme en témoignent les images suivantes, ce qui montrerait deux choses.

La première est que, dans le cadre de l'OVNI, il confirmera la présence d'un tore pour la création d'un ZPE et le second est que la disparition des photons et la réouverture du côté opposé du toroïde ne sont pas dues à une interaction axionique mais à la présence de la ZPE elle-même.

Le ZPE a la caractéristique d'apparaître plus ou moins large dans la réalité virtuelle, qui n'est pas locale, en fonction de l'intensité du champ électromagnétique gravitationnel. En fait, le ZPE ne change jamais la taille, qui est toujours la taille de Planck, mais semble plus ou moins répandu, donc il implique souvent que l'UFO disparaisse dans les yeux des témoins alors qu'il est avalé par celui-ci. Ou, dans certains cas, le sujet témoin perçoit l'UFO de taille variable selon le moment où il observe ou lorsqu'il entre. De l'extérieur, il semble petit mais à l'intérieur est grand (N.d.A.). Le photon serait absorbé par le ZPE et pour des raisons thermodynamiques repris avec la préservation du spin sur le côté opposé.

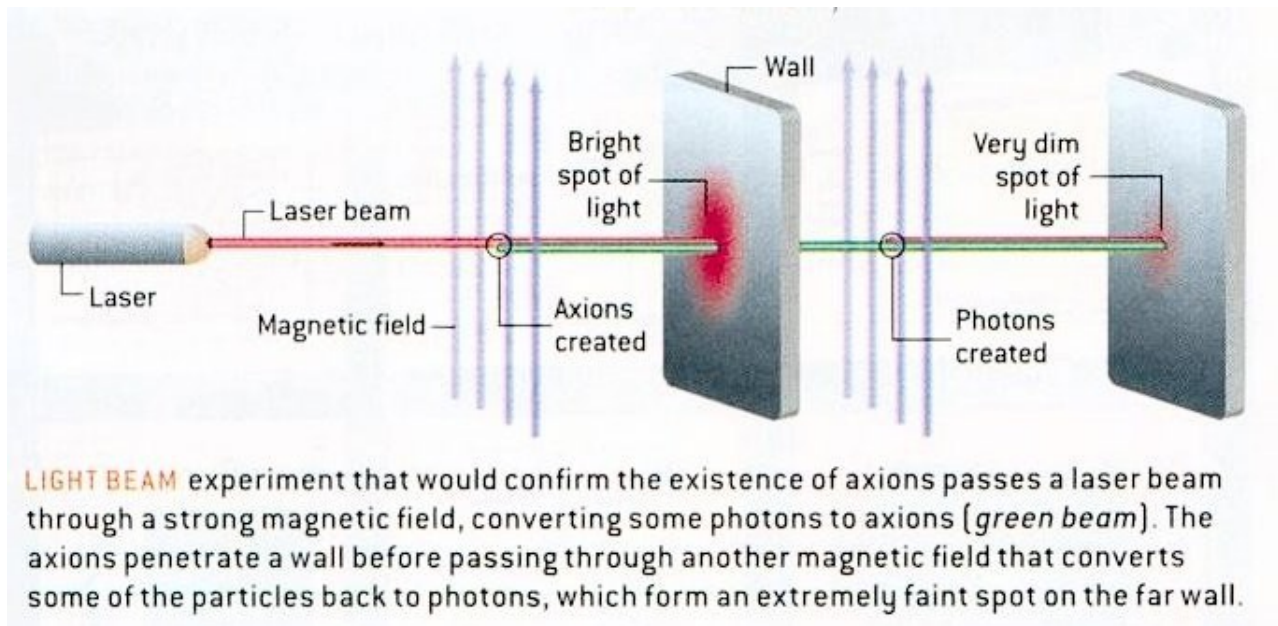
Dans certains films, il est possible de mettre en évidence l'expansion de ZPE comme sphère lumineuse.

<https://www.youtube.com/watch?v=Ja5Q1k6Yjmg>.

Dans le cas du fil électrique frappé par un photon à un point précis, le



même espace de temps d'énergie de coordonnées serait créé à ce point au point de



émission de photons. Les deux points auraient les mêmes caractéristiques devenant identiques et seraient donc le même point: pas un vrai ZPE mais un XPE c'est-à-dire un point où il n'y a toujours pas de valeur nulle des trois composants, mais les trois valeurs des trois composants seraient identiques au point de la disparition et l'apparition du photon.

Si Axions existait, le schéma précédent identifiait le comportement. Il est dommage qu'ils n'existent pas, selon les chercheurs qui ont démontré leur inexistence.

### **Autres confirmations de l'hypothèse ZPE.**

Bien que tout cela puisse être considéré comme une science-fiction à un premier examen, il faut noter que la réalité virtuelle met déjà en place des processus qui, à notre avis, suivent ce même mécanisme. Nous avons déjà souligné plus tôt comment le passage de l'information coule d'un cerveau à l'autre et nous avons vu comment notre cerveau peut créer, à notre avis, un ZPE. Ce serait le premier moyen véritable de soutenir l'existence du champ morphogénétique de Sheldrake et de Laszlo, car jusqu'ici il avait été hypothéqué sur des bases philosophiques et très peu de mathématiques. Ainsi, la célèbre théorie du «dernier singe» explique, par exemple, que si un être vivant, quelque part dans l'univers, prend conscience de quelque chose que potentiellement tous ceux qui s'associeront à son esprit seraient capables de pour partager la conscience. Les anciens s'appelaient le champ morphogénétique d'Akasha, mais maintenant, nous avons essentiellement récupéré la véritable signification virtuelle.

Ce serait l'expérience réelle que Luc Montagner effectue en transférant l'information d'un tube à essai contenant du matériel génétique organisé sur un autre tube contenant du matériel génétique non publié, en obtenant une informatisation.

Cela fonctionnerait avec les expériences du Dr Massimo Citro, qui cherchent à utiliser des champs électromagnétiques informés, et ce serait finalement l'hypothèse qu'il y a un véritable souvenir de l'eau, même si, dans toutes ces années, il n'y avait pas de théorie ou d'approche qui lui permettait de comprendre la réalité. (Voir Torus: aspects toroïdaux de l'univers virtuel, du même auteur)

Mais voyons la chose en détail.

Le fait que si je plonge un cylindre dans l'eau et le remets, cela suggérerait que, d'une manière ou d'une autre, l'information restait dans les molécules qui entraient en contact avec la surface du cylindre, pourrait, en ligne en principe, soyez correct. En fin de compte, l'information est une empreinte qu'un objet provoque dans les points d'espace virtuels virtuels.

Mais deux sont les considérations à faire:

À première vue, vous ne pouvez pas copier l'information parce que si l'information est entropique, elle la reproduirait. C'est la raison banale pour laquelle, lorsque vous faites des photocopies, ils s'aggravent (moins définis) que l'original.

C'est pourquoi le clonage du mouton Dolly a conduit à un animal beaucoup plus faible d'un point de vue biologique.

Il s'avère cependant que lorsque vous faites des expériences dans le laboratoire et que vous tentez de transmettre les informations d'un côté à l'autre en construisant une copie, par exemple en construisant un hologramme, comme l'a dit le professeur Emilio Del Giudice, le laser se refroidit!

Le refroidissement inattendu du laser produit l'idée que l'information n'a pas été créée et l'entropie du système reste la même.

La deuxième observation suggère que, puisque l'eau est une molécule très mobile et qu'il est facile de détacher et d'attaquer, avec des liaisons hydrogène, tant de molécules entre elles, l'énergie nécessaire pour détruire toute grappe de molécules qui maintiennent la mémoire de l'objet introduit dans la solution aqueuse serait minime.

Mais deux sont les considérations à faire:

Tout cela suggérerait que, même si d'un point de vue théorique, la mémoire de l'eau pourrait exister, de facto, serait inexistante.

(<https://link.springer.com/article/10.1134/S0030400X15100057>. )

En fait, les choses sont juste au premier coup d'œil.

([Http://www1.lsbu.ac.uk/water/water\\_models.html](http://www1.lsbu.ac.uk/water/water_models.html))

Le travail publié semble faire le contraire.

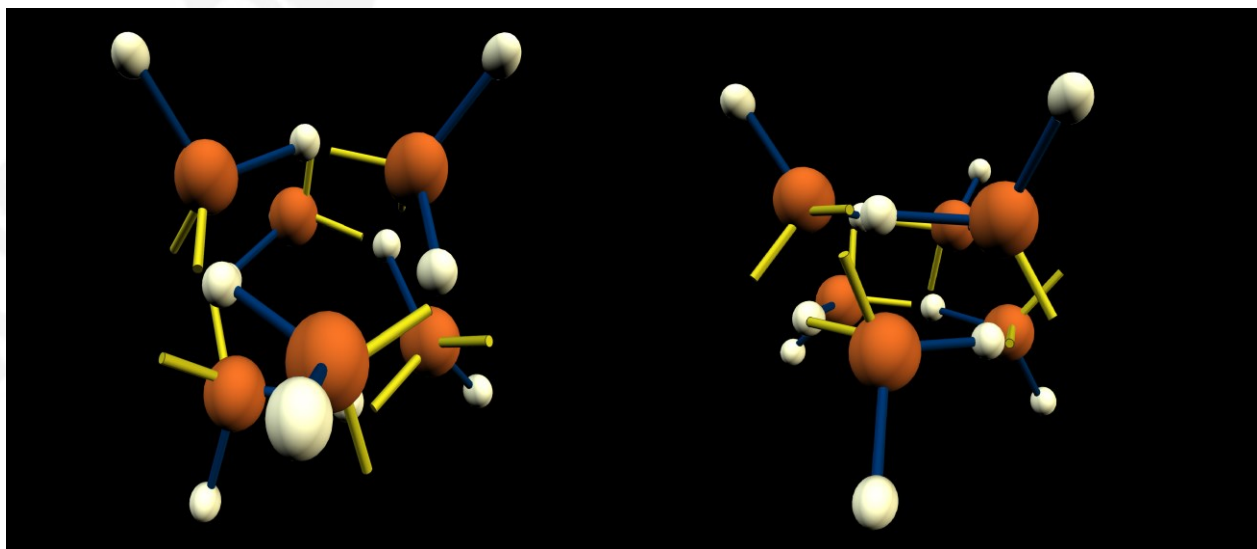
Il est vrai que les molécules d'eau ont une faible énergie qui ne peut pas les bloquer dans des conformations rigides, mais ceci seulement pour enlever une molécule d'eau à un litre d'eau, tandis qu'une autre molécule attache à l'ensemble molécules, il semble énergiquement sans importance.

Mais enlever deux molécules d'eau isolées entre elles tout en faisant deux liaisons avec un pont d'hydrogène coûte une pile de kilo de calories.

C'est-à-dire, si vous regardez l'ensemble des molécules d'eau, du point de vue de l'énergie, il est facile de débrancher un sans trop d'efforts, mais seulement parce que l'énergie du système est répartie sur de nombreuses molécules en solution.

Il existe alors des calculs théoriques qui montrent comment certaines structures appelées grappes d'eau peuvent exister avec des énergies remarquables.

En particulier, nous pouvons créer des grappes formées par quelques éléments pour comprendre certaines propriétés géométriques intéressantes de cette molécule, qui ne sont en aucun cas la base de la vie dans l'ensemble du cosmos.

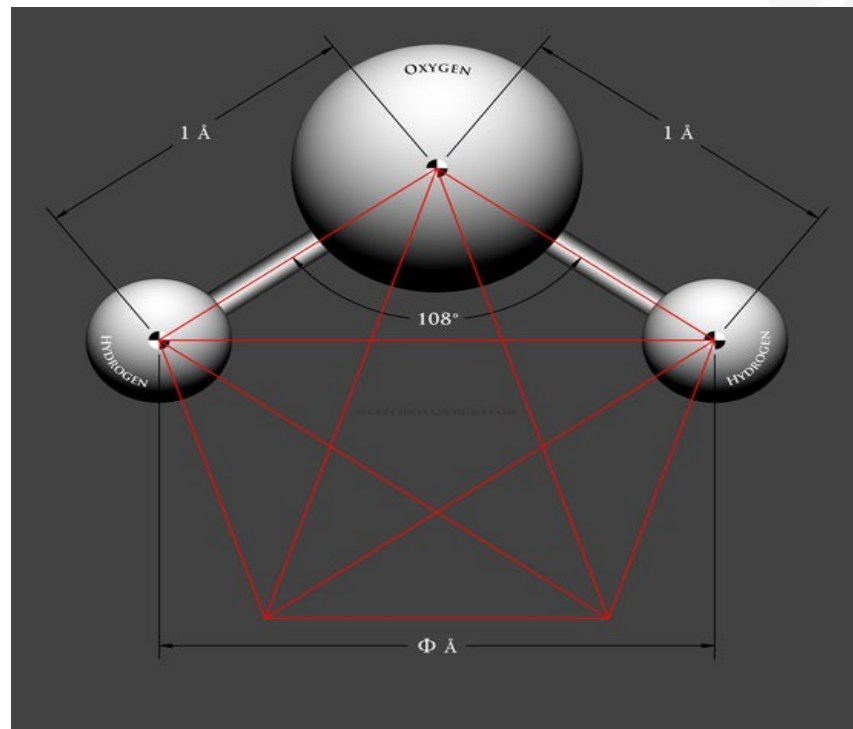


Ici, nous voyons six molécules de couplage d'eau entre elles produire, avec des liens vers

pont d'hydrogène, un double toroïde qui, avec la position des six atomes d'oxygène décalés sur deux plans parallèles, imite le double triangle des couleurs de l'Evolution en construisant un exhalal dans lequel il serait possible de postuler la création de ZPE. Il n'est nullement exclu que ces structures sensiblement stables soient à la base du phénomène de transfert d'informations en solvants aqueux, sous-jacent au phénomène d'hyperhidrose dans la préparation de médicaments homéopathiques où la petite quantité de médicament serait dynamisée par une série de collisions, afin de transférer mécaniquement l'information (empreinte) vers d'autres structures rigides qui copient l'entropie (en prenant de l'énergie de la mécanique des impacts: NdA). Une des structures considérées par le chimiste physique considère cinq molécules d'eau reliées l'une à l'autre pour former un pentagone entre quatre et zéro degrés

centigrades, en supposant un angle interne de 108 degrés

En fait, peu disent que l'angle que les deux atomes d'hydrogène forment avec de l'oxygène au milieu est de 104,5 degrés à la température ambiante mais à aucun degré, il convertit vers un angle Evidéon de 108 degrés.



### L'univers est une fractale virtuelle ...

L'univers est une fractale virtuelle et tout cela est observé si l'on considère les chiffres issus de l'analyse du modèle évident.

Dans le premier article de la série (Evidéon, par le même auteur), nous avons souligné la relation entre la structure de fin constante de l'univers et la valeur de  $\Phi$ .

À la fin de notre chemin, nous savons parfaitement pourquoi  $2DR = 137.0356$ , mais nous comprenons pourquoi, par exemple, si nous voulions calculer la fréquence de rotation des photons / antifotons sur la façon de définir les calculs suivants:

$$2\pi R = 137.0356$$

$$2R/(29)^{1/2} = 5\phi$$

où la racine carrée de 29 que nous connaissons pour représenter le temps de Planck et  $2R$  est l'amplitude de l'oscillation. Même dans ce cas, la relation entre l'espace et le temps est parfaitement représentée par un multiple de la section d'or, et à ce stade,

ne peut plus être interprété comme un cas numérique.

Une autre, parmi les observations infinies que nous pouvons mener, est liée à l'observation faite par un certain musicien et mathématicien Hans Cousto en 1978. [http://www.planetware.de/ottava\\_cosmica/index.html](http://www.planetware.de/ottava_cosmica/index.html).

Il a cru qu'il pouvait relier les fréquences des planètes aux notes de musique au niveau des valeurs de fréquence, donc il a calculé les fréquences de la Terre et d'autres planètes par elles-mêmes par un algorithme simple.  
Par exemple, pour calculer la fréquence de la Terre pendant un an, il a multiplié le nombre de secondes au jour 86400 (noter le multiple de 432: N.d.A.) pendant 365 jours.

L'inverse de ce nombre multiplié par 32 fois pour 2 a donné:

$$86400 \times 365 = 31536000$$

$$1/31536000 = 3.170979 \times 10^{-8}$$

$$3.170979 \times 10^{-8} \times 2^{32} = 136.19$$

Selon l'auteur, ce numéro serait lié à Do # sur l'échelle de musique tempérée, qui tombe à 136,05 Hz (voir tableau ci-dessus).

Mais le même auteur, dans son travail original, soutient que Hz dans plus ou moins ([http://www.planetware.de/octave/The\\_CoOc\\_Tuning.pdf](http://www.planetware.de/octave/The_CoOc_Tuning.pdf)), la différence est cependant dans l'erreur expérimentale. Malheureusement, ce compte n'a pas de sens physique, car s'il était vrai, la Terre, comme d'autres planètes, aurait des fréquences variées dans le temps, alors que cela n'a pas de sens physique.

Au lieu de cela, vous pouvez configurer un compte légèrement différent mais significatif.

Tout d'abord, utilisons le temps sidéral et pas l'heure solaire, c'est-à-dire le temps entre une étoile et la voyant dans la même position le lendemain. Il s'avère que ce jour ne dure pas 24 heures mais moins. Le nombre de secondes de jour se multiplie par une rotation de 360 degrés (la rotation de la Terre en un jour) et on découvre immédiatement que ce nombre a une racine cubique qui est exactement la valeur de  $100\pi$

$$[23.92459620_{\text{h}} \times 60_{\text{sec}} \times 60_{\text{min}} \times 360]^{1/3} = [86128.54 \times 360]^{1/3} = 100\pi$$

Il s'avère que:

$$2^{32}/[100\pi]^3 = 138.52 \text{ Hz}$$

dont la moitié est de 69,26 Hz, c'est-à-dire la valeur que nous avons calculée comme une fréquence à utiliser pour associer la partie animale, mentale et spirituelle du cerveau dans notre cerveau (voir ci-dessus) avec un grand accord.

Il s'avère que dans notre calcul, l'approximation du jour de la sidère de 23.93 (6) par rapport à notre 23.924596 ... est liée à une approximation astronomique, étant la valeur connue, une valeur moyenne. Ensuite, nous comprenons comment il n'y a pas de prévision qui nous ferait penser que la valeur de Pi Greco, calculée avec cette approche, à partir de la valeur de la fréquence 69.11 que nous avons préalablement calculée aurait été exacte à plus de 99,999%.

Que signifie ce calcul?

Les nombres et les formules doivent être interprétés rationnellement, sinon ils peuvent avoir des algorithmes dans leurs mains qui décrivent un univers dont rien n'est compris. En fait multipliez pour 360 degrés une fois signifie que, au niveau plan niveau plan, se développe dans toutes les directions de l'hologramme virtuel; mais ce qui en fait la racine cubique signifie considérer cette mesure comme un vecteur espace-temps construit par trois vecteurs le long des trois axes X, Y, Z de l'hologramme spatiotemporel où, la racine cubique prend le sens du tenseur vecteur



vectorel des trois tenseurs originaux le long des trois axes (un volume de l'univers cubique, ndA) Une autre vision d'interprétation, visant à faciliter la compréhension de ces chiffres, est l'idée que l'univers est une hypersphère à 6 dimensions (les 6 demi-axes de l'Evideon).

Le volume d'une sphère esadimensionnelle et du rayon de l'unité R est 5.1677128. L'écriture des formules que nous avons mises en évidence équivaut à l'écriture d'une formule de volume hypersphérique comme suit:

$$[1/6]\pi^3 = (1/6)\times(86128.54\times 360)/100^3 = 5.1677124$$

contre la valeur théorique de 5.16771218. <https://it.wikipedia.org/wiki/Ipersfera>. Il est évident que le chevauchement idéal entre ces données indique que vous pouvez recalculer à nouveau la valeur exacte de  $\pi$ , ou que ces formules ont cependant un sens qui dépasse la formule elle-même. Tout cela se produit numériquement parce que dans le nombre représentant le nombre de secondes qu'il y a dans un jour sont contenues l'information de

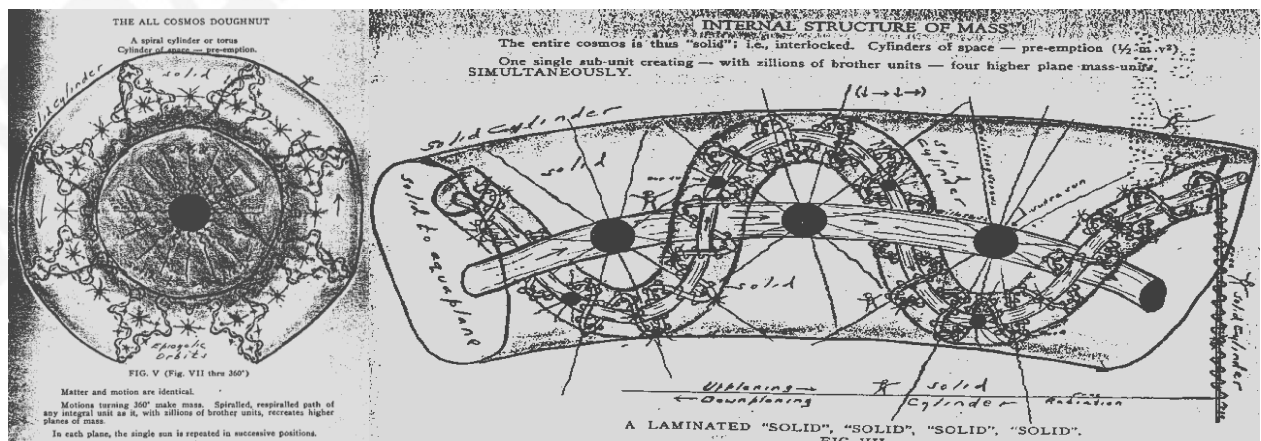
- comme on peut le voir à partir de cette équation:

$$\pi^3/\cotg(2\pi 10^{-x}) = 86128.5463$$

avec des valeurs de x tendant à l'infini mais dans notre cas spécifique, égal à 6 Mais d'une part, ce résultat était complètement inattendu, tout comme il était inattendu que notre Terre vibre exactement à la fréquence de la résonance de la Triade, tout cela pourrait avoir une explication simple.

L'univers est un hologramme et les mêmes nombres évideons sont à la racine de la description de la particule dans la boîte et dans l'univers entier. Pas par hasard, par exemple, la vitesse de la galaxie entière est estimée à 3 600 000 Km / s. [http://www.splash.it/curiosando/velocita\\_della\\_terra.htm](http://www.splash.it/curiosando/velocita_della_terra.htm).

La structure de l'univers semble pouvoir être mise en évidence avec des géométries à la fois toroïdale et hyperspace, (<https://arxiv.org/abs/1010.5740>), car il semble évident aussi du mythe et des anciens traités philosophiques, comme les écrivains avaient probablement eu, avec ses pré-conditions, encore plus loin.



<http://harmoniouspalette.com/AssortedInsightsRegardingNature.html> (George F. Gillette "Ortho Oxen of Science ~ Synoptic conspectus of author's Unitary Theory". 1936 Blackstone Publishers ).

## **Conclusion.**

En écrivant ce travail, nous nous sommes rendus compte de la nécessité de souligner quelques points qui, si traités dans le texte, auraient été inutilement pondérés.

Les points sont les suivants:

- Construire un dispositif qui émule un ZPE perd son sens quand on se rend compte que notre cerveau à travers le Triade est capable de le faire seul.
- Derrière les intérêts du développement de l'énergie libre, il existe des forces maçonniques étrangères qui masquent d'autres fins que de sauver l'humanité.
- L'univers est un hologramme fractale sans aucun doute ou peut être mathématiquement bien décrit par ce type d'approche. En ce qui concerne le premier point, il faut souligner combien il sera utile de construire manuellement le dispositif qui émule le ZPE, mais seulement de prendre conscience et de comprendre que nous sommes dans ce que nous construisons, en particulier pour des aspects qui ne sont pas encore compris sur notre intériorité.

Il faut souligner comment notre ZPE du cerveau est capable de conduire le ZPE que nous construisons sous la forme d'un périphérique.

Et à cet égard, le Pelizza sur ce point est clairement précisé que c'est son esprit qui a les clés du fonctionnement de l'appareil. Pelizza ne réalise probablement pas que les étrangers qui le piloteent à d'autres fins utilisent la conscience de l'adducteur pour ses astuces subtiles et le renversement ne comprend pas qu'il produit lui-même les phénomènes qui, par une machine externe, sa conscience manipule, au moins cela a été notre impression.

Ceux qui sont intégrés à la conscience peuvent donc manipuler le ZPE en distance, qu'il soit construit avec un dispositif virtuel ou en utilisant seulement la conscience intérieure. Ceux qui n'ont pas la conscience intégrée doivent avoir quelqu'un à leur place, d'une manière plus ou moins consciente, pour faire fonctionner l'appareil.

De ce point de vue, l'appareil proposé fonctionnerait comme le miroir de la sorcière dans le mauvais conte de sorcières. En fait, nous créons la réalité que nous sommes. La sorcière voit dans le miroir lui-même aussi bien que Blanc-Neige. Snow White croit être un caractère positif pur et naïf et il nous apparaît (parce que nous le croyons). On croit que la sorcière est méchante et se manifeste lui-même. Le dispositif entre les mains d'une personne consciente fournira des effets qui seront le miroir de sa propre conscience.

Ensuite, vous pourriez demander si le ZPE n'est pas dangereux s'il est mis entre les mains de personnages inconscients.

La réponse est à l'unanimité NON! Étant donné que, d'une part, il est vrai que l'utilisation inappropriée du ZPE pourrait constituer le point de départ pour construire des armes pour créer des guerres, mais la construction du portail permettant aux extraterrestres non-corporels de venir à notre taille, en modifiant leur l'antimatière en la matière, pourrait être un moyen de modifier la matière et, comme dans le mythe, transformer le plomb en or.

Mais cela réduirait considérablement l'entropie du système et, comme cela ne pouvait se faire dans un contexte de calendrier global, ceux qui détournaient le ZPE finiraient par accélérer le processus de sensibilisation de la race humaine.

Cet aspect est historiquement vérifiable.

Par exemple, internet est né pour des raisons militaires, il permet l'utilisation gratuite

uniquement pour pouvoir espionner ce que les humains se disent, mais deviennent inévitablement la source de l'échange d'informations à des vitesses sans précédent. Les guerres sont l'intérêt de quelques-uns, mais produisent inévitablement des bulles de conspiration forcée et de réflexion qui ne seraient atteintes que des centaines d'années plus tard si de tels événements méchants ne se produisaient pas réellement. Plus le pouvoir devient plus fort, plus les gens se comprennent et se rebellent. Plus l'ignorance nous est présentée comme un modèle de vie, l'Église et la Politique, et plus il se passe quelque chose où les humains ont des voies alternatives qui produisent toujours une augmentation de l'entropie.

Plus la femme de ménage essaie de garder le pouvoir et plus inexorablement le perdra rapidement.

Permettez à quiconque utilise le ZPE parce qu'il est autre chose qu'un outil pour construire sa propre expérience, qui tend toujours à atteindre la valeur maximale de la conscience ou, en variante, à la disparition de ceux qui s'efforcent de croire le contraire.

Au moment où vous êtes pleinement conscient de l' Hologram, vous comprenez également que nous sommes la conscience intégrée, et à ce moment-là, il n'est pas logique de parler.

$$\begin{array}{c}
 [Fa] \times [Fm] \times [Fs] \quad \text{Cotg}(\phi^2) \\
 e^{\phi^3} \qquad 4.32\pi^2\phi \qquad 22\pi \\
 69.1150 \\
 2^{31}/(86128.54 \times 360)
 \end{array}$$

## Bibliographie approfondie

### La structure frattirique de l'univers

- M. Eingorn, A. Zhuk, Kaluza-Klein models: can we construct a viable example?, arXiv: 1010.5740v2 [gr-qc], 7 Dec 2010.
- L. Nottale, Scale relativity and fractal space-time: theory and applications [arXiv:0812.3857v1](https://arxiv.org/abs/0812.3857v1) [physics.gen-ph]
- A. T. Patrascu, Entanglement, spacetime and Mayer-Vietoris theorem, [arXiv:1703.09610v1](https://arxiv.org/abs/1703.09610v1) [physics.gen-ph]
- P. Osmera, Vortex-ring-fractal structure of hydrogen atom, Proceedings of the Word Congress on Engineering and computer science, WCECS, 22 Oct., 2009, VOl 1, San Francisco, USA
- M. Kozlowsky, J. Marciak, The mirror universes, [arXiv:gr-qc/0505116v1](https://arxiv.org/abs/gr-qc/0505116v1), Cornell University.
- V. P. Oleinik, Informational field and superluminal communication, <https://inspirehep.net/record/620798?ln=it>
- D. F. Roscoe, Gravitation in the fractal D = " inertial universe: New phenomenology in siral discs and a theoretical basis for MOND, arXiv:astro-ph/0306228v1, 11jul 2003
- 

### Texture de l'eau

- M. V. Arkhinov, Y. M. Artem'ev, S. E. Belov, On observation of so called "Water Rhythms", by absorption spectroscopy methods, Condensed-matter spectroscopy, 638, 119, 2015
- [http://www1.lsbu.ac.uk/water/clusters\\_overview.html](http://www1.lsbu.ac.uk/water/clusters_overview.html)

### Aharonov Bohm effect

- G. Sparvieri, M Rodriguez, Photon mass and quantum effects of the Aharonov-Bohm type, Phis. Rev., A75, 052113, 2007.
- H. Batelaan, A. Tonomura, The Aharonov-Bohm effects: Variations on a subtle theme, Physic today, 62, 2009
- A. Kregar, Aharonov Bohm effect, Seminar 4 letnik, Univerza u Liublani, Marek 2001.
- 

### Sons et géométrie

- C. Callenderet al. Generalized voice-leading spaces, Science, 346, 320, 2008
- F van den Bovenkamp, The geometric origin of selectilve sound perception, <http://www.trigunamedia.com/geosound/index.htm>
- D. Tymoczko, The geometry of musical chords, Science, 72 ,313, 2004
- H. Purwins, B. Blankertz, K. Obermayer, Toroidal models in tonal theory and pitch- class analysisComputing in musicology, 73, 15, 2007
- <http://www.marcostefanelli.com/subliminale/mantrasuono.htm>
- 
-

- **Pas de lieux et de conscience**

- D. J. Bierman, Consciousness induced restoration of the time-symmetry (CIRTS), a physicophysical theoretical oersoective,  
[http://www.uniamsterdam.nl/D.J.Bierman/PUBS/2008/Bierman%20PA2008\\_revised.doc](http://www.uniamsterdam.nl/D.J.Bierman/PUBS/2008/Bierman%20PA2008_revised.doc)
- E. E. Klingman Fundamental physics of consciousness,  
<http://fqxi.org/community/forum/topic/561>

## **Résonance di Shumann**

- V. D. Rusov et al., Can resonant oscillations of the Earth ionosphere influence the uman brain byorithm?, arXiv:1208.4970v1[physics.gen-ph]23 Aug 2012
- M. F. Ciappina, M. Fabbo, Shumann's resonances: A particular example of a spherical resonant cavity, Am., J., Phys., 72, 5, 2004
- R. A. Miller, I. Miller The Shumann's Resonances,  
[http://www.bibliotecapleyades.net/esp\\_ondas\\_shumann\\_2htm#Implications%20And%20Directions](http://www.bibliotecapleyades.net/esp_ondas_shumann_2htm#Implications%20And%20Directions)

- **Nature des photons par rapport à la théorie évideonique**

- Q. Q. Ho, The spin-spin interaction and the new concept of photon, J. Electromag. Anal. And App., 447, 4, 2012
- G. W. Gibbons, C. M. Warnick, Aspherical photons and anti-photon surfaces, Physics Lett., B, 763(C), 2016
- L-C Tu J. Luo, G. T. Gillies, The mass of the Photon, Rep., 77, 68, 2005
- E. Megidish, A. Halevy, T. Shacham, T. Dvir, et al., Entanglement between photons that have never coexisted, Phys., Rev., Letters, 110, 21, 2010
- W. A. Perkins, On the matter\_antimatter asymmetry, mod., Phys., Lett., A, 30, 2015
- B. C. Sanctuary, Disentanglement as particles, separate, Proceedings of the Vaxio,Sweden Conference on the foundations of quantum Mechanics, June 2003
- A. Fedrizzi, Entangling photons with mismatched colors, Physics, 7, 25, 2014
- A. Mair, A. Vaziri, G. Weihs A. Zeilinger, Entanglement of orbital angular momentum states of photons, Nature, 313, 6, 2001

## **Zero point energy**

- T. Valone, Practical conversion of zero point energy, ISBN 0-9641070-8-2, Integrity Search Institute Ed, 2005
- U. W. Massie, Gravity and Zero Point Energy, Physics Procedia 280, 38, 2012
- <http://www.cogitamus.it/blog/index.php/?archives/173-Gravitomagnetismo-e-sorprese.html>
- <http://www.free-energy-info.tuks.nl/Italian/Chapter11I2.html>

- **Les constantes de l'Univers**

- R. L. Oldershaw, The hidden meaning of Planck's constant, Universal. J., Phys., and App., 88, I(2), 2013
- la pagina di Sheldrake,  
<http://www.transaction.net/science/seven/constant.html>



## Neutrino

- S. Antush, J. P. Baumann, E. Fernandez-Martinez, Non-standard neutrino interactions with matter. From physics beyond the standard model, Nuclear Physics, B,, 369, 10, 2009
- W. A. Perkins, The antiparticles of neutral bosons, J.of Modern Phys., 12, 4, 2013
- S. A. Alavi, T. Ebrahimi, Interaction of MeV and GeV sterile neutrinos with matter,  
[https://www.researchgate.net/publication/48174656 Interactions of MeV and GeV sterile neutrinos with matter](https://www.researchgate.net/publication/48174656_Interactions_of_MeV_and_GeV_sterile_neutrinos_with_matter) (20010)
- R. Mignani, E. Recami, How to interpret advanced solutions, Lettere al Nuovo Cimento, 5, 18, 1977
- <http://www.cs.unc.edu/~plaisted/ce/neutrino2.html>

## Mathématiques isoduales

- P. M. Phujbal, Santilli's isodual mathematics and physics of antimatter, American journal of modern physics online issn2326-8867
- R. Maria Santilli, Apparent detection via new telescopes with concave lenses of otherwise invisible terrestrial entities (ITE) ISSN 2326-8867 ibidem
- idem, Apparent detection of antimatter galaxies via a refractive telescope with concave lenses, CACAA, 1, 3, 2014
- R. Anderson, A. A. Bhalekar et al., An introduction to Santilli's isodual theory of antimatter and open problem of detecting antimatter asteroids, Numta Bulletin, 1, 6, 2012-13

## En plus

- Lavori precedenti dello stesso autore a cui l'autore stesso fa riferimento, possono essere trovati nel suo sito <http://www.corradomalangaexperience.com>